



# 康润生物产品目录

(2023-2024)

康润生物 伴您生命科学成功之路





### 尊敬的用户：

欢迎您查阅康润生物 (GenStar) 2023-2024年产品目录, 并选择我们的优质产品。GenStar自成立十余年以来, 一直深耕于分子生物学领域上游核心原料及配套体系的研发和工业化生产。伴随生命科学的不断拓展和深化, 我们也在持续努力推陈出新, 满足您更为广泛的应用需求。GenStar产品线贯穿生命研究的多个领域, 欢迎您登录我们的官网[www.gene-star.com](http://www.gene-star.com), 查询更多产品信息和技术资料。

### 订货须知

1. 所有GenStar产品均可通过康润生物总部、各地办事处、代理商进行订购。
2. 北京、上海、广州等地区通常在订货后1-2个工作日内免费送货上门。其他地区订货请联系当地代理商或致电我公司洽询。
3. 收到货后请尽快打开包装箱验收, 按照产品包装上标示的条件进行储存和运输。

### 客户服务与技术支持

服务热线: 400-666-3332	技术支持热线: 400-669-3332 拨 0
订购/咨询邮箱: <a href="mailto:tech.service@gene-star.com">tech.service@gene-star.com</a>	官网: <a href="http://www.gene-star.com">www.gene-star.com</a>
地址: 北京市昌平区中关村生命科学园生命园路8号院一区9号楼A座5层 102206	

### 投诉与售后

1. 如发现产品有缺漏或破损, 请于收到产品后的3个工作日内通知GenStar或代理商。
2. 如对产品质量有疑问, 请于收到产品90天内咨询我公司技术支持。
3. 产品赔偿只限于产品本身价值, 不涉及其它任何损失。
4. 以下情形, 我公司将不予承担责任:
  - (1) 因客户运输和储存不当引起的质量问题;
  - (2) 已改变包装或已丢失原产品标识;
  - (3) 非正规渠道购买的产品。



## 购买渠道

### 康润生物北京总部

北京康润诚业生物科技有限公司  
地址: 北京市昌平区中关村生命科学园生命园路 8 号院一区 9 号楼  
A 座 5 层  
电话: 400-666-3332  
邮箱: info@gene-star.com

### 康润生物各地办事处

#### 天津办事处

地址: 天津市和平区卫津路佳怡公寓 4 号楼 3 门 1304 室  
电话: 13821964571  
邮箱: li.cheng@gene-star.com

#### 上海办事处

地址: 上海市闵行区宜山路 1728 号 303 室  
电话: 18321668169  
邮箱: ping.li@gene-star.com

#### 南京办事处

地址: 南京市江北新区文景路 61 号创芯汇 2 号楼 322 室  
电话: 13405879187  
邮箱: zhongqiang.yang@gene-star.com

#### 广州办事处

地址: 广州市天河区五山路 244 号 401  
电话: 15899963305  
邮箱: haotian.chen@gene-star.com

#### 深圳办事处

地址: 深圳市南山区京基·御景峯二地块 2 栋 4001 房  
电话: 13535471573  
邮箱: guanming.li@gene-star.com

### 代理商

#### 华南地区代理商 (南昌、福州、南宁、长沙、海南)

江西冠茵生物科技有限公司  
地址: 江西省南昌市南昌经济技术开发区志敏大道 1101 号 9 区 3 栋 203 室  
电话: 15179121389  
邮箱: 489433060@qq.com

#### 福州普洛斯生物科技有限公司

地址: 福建省福州市闽侯县上街镇邱阳东路 6 号东南科学城科创中心 3 号楼 306 室  
电话: 18650330092  
邮箱: biolope@163.com

#### 广西南宁吉运生物科技有限公司

地址: 南宁市西乡塘区科园大道 27 号科技大厦 825 号  
电话: 18978983572  
邮箱: jiyunshengwu@qq.com

#### 长沙索沃生物科技有限公司

地址: 湖南省长沙市芙蓉区人民东路星城福邸 4 栋 1 单元 1502 室  
电话: 18684784963  
邮箱: 625731209@qq.com

#### 海南泓科生物科技有限公司

地址: 海口市龙华区建设三横路金马大厦 3 楼  
电话: 13398905346  
邮箱: 516799061@qq.com

#### 华东地区代理商 (南京、杭州、济南、泰安、青岛、郑州、安阳、武汉)

#### 南京远东希诚生物技术有限公司

地址: 南京市江宁区诚信大道 1800 号中电环保 7 号楼 7719  
电话: 15850786007  
邮箱: 2388849565@qq.com

#### 杭州奥谦生物科技有限公司

地址: 浙江省杭州市西湖区申花路剑桥公社 A1609-1615 室  
电话: 13795371647  
邮箱: zhouxiang@aoqianbio.com

#### 山东和业生物科技有限公司

济南: 山东省济南市历城区北园大街 26 号龙岱华夏 2-1903  
泰安: 山东省泰安市泰山区九州家园小区 1 期高楼 1 号楼 502 室  
青岛: 山东省青岛市城阳区春阳路 179 号古庙头东区 2 号楼 3 单元 102  
电话: 18668909891  
邮箱: hetuoshengwu@163.com

#### 河南宝格生物技术有限公司

郑州: 河南省郑州市金水区金水路 270 号院  
安阳: 河南省安阳市文峰区富泉街永兴家园 3 号楼 1 单元  
电话: 18539282581 / 0371-61770512  
邮箱: 2485622532@qq.com

---

#### 武汉绿日生物科技有限公司

地址: 武汉市洪山区书城路 28 号天辉医用生物材料产业园 2 号楼  
710 室  
电话: 18062114181  
邮箱: 14539724@qq.com

---

#### 华北地区代理商 (长春、哈尔滨、沈阳、山西)

##### 长春晶美生物工程有限公司

地址: 长春市朝阳区开运街欧风花园 14 栋 1 门 102  
电话: 13179103123 / 18626925987  
邮箱: 3021194103@qq.com

---

##### 哈尔滨市天峰科技开发有限公司

地址: 哈尔滨市南岗区闽江路 200-2 号龙悦大厦 1006 室  
电话: 13069868931  
邮箱: tfkxyq@126.com

---

##### 辽宁景炎生物科技有限公司

地址: 辽宁省沈阳市沈北新区沈北路 72 号中金泓府二期 13 号楼  
电话: 13644408268  
邮箱: liaoningjingyanbio@163.com

---

##### 沈阳市铁西区德诺生物科技技术经营部

地址: 辽宁省沈阳市铁西区沈辽东路 48 号  
电话: 13644026405  
邮箱: 116029050@qq.com

---

##### 山西锐博云创科技有限公司

地址: 山西转型综合改革示范区学府产业园发展路 2 号联合大厦 B  
座 1 单元 1602 室  
电话: 18903513886  
邮箱: 18903513886@163.com

---

#### 西北地区代理商 (西安、咸阳)

##### 西安安宜信生物科技有限公司

地址: 西安市未央区凤城十路 52 号城市星钻 2 号楼  
电话: 18691813022

---

##### 北京东方顺科生物科技有限公司西安办事处

地址: 陕西省咸阳市杨陵区农科院分院小区 11-5-2  
邮箱: dining\_bio@163.com

---

#### 西南地区代理商 (昆明、贵州)

##### 昆明美博科技有限公司

地址: 云南省昆明市呈贡区梁王路实力锦城 A07 栋 1-101 室  
电话: 13698779289  
邮箱: azhu9876@126.com

---

##### 贵州西宝商贸有限公司

地址: 贵州贵阳市花溪区党武街道碧桂园大学印象 6 栋 1 层  
电话: 18302638263 / 18302639276  
邮箱: 547027592@qq.com / 631073548@qq.com

---



# 目录

<b>Part 1. 分子生物学相关产品.....</b>	<b>05</b>
1. PCR系列 .....	06
2. 反转录系列.....	15
3. qPCR系列 .....	19
4. PCR & qPCR实验耗材 .....	27
5. 核酸电泳 .....	31
6. 核酸提取/纯化.....	36
7. 分子克隆 .....	42
8. 高通量测序建库 .....	47
9. 体外转录 .....	50
10. 修饰酶.....	52
11. 样本采集和保护 .....	56
12. 宿主残留检测.....	59
<b>Part 2. 蛋白相关产品 .....</b>	<b>63</b>
1. 蛋白电泳&分析.....	64
2. 蛋白质纯化.....	70
<b>Part3. 细胞类相关产品.....</b>	<b>71</b>
细胞转染.....	72
<b>Part 4. 常用生化试剂 .....</b>	<b>73</b>
常用生化试剂.....	74
<b>附录 代表性文献(近3年, IF≥8) .....</b>	<b>75</b>



# Part 1.

## 分子生物学相关产品



## 第一章 PCR系列

PCR (聚合酶链式反应) 是根据半保留复制原理, 在体外模拟生物体内DNA复制的过程, 使目标DNA以2的倍数呈指数增长。PCR技术是分子生物学的技术基石, 可被应用于基因的检测、克隆、定量、重组、突变、融合等。GenStar PCR系列产品种类丰富, 预混型、独立组分型等形式灵活多样, 极大地方便了客户的选择和使用。

### 目录

1.1 常规 <i>Taq</i> PCR.....	07
1.2 快速 <i>Taq</i> PCR.....	09
1.3 热启动PCR .....	10
1.4 超保真PCR .....	10
1.5 多重PCR.....	12
1.6 直扩PCR.....	13
1.7 高效PCR Mix .....	14
1.8 PCR配套试剂.....	14

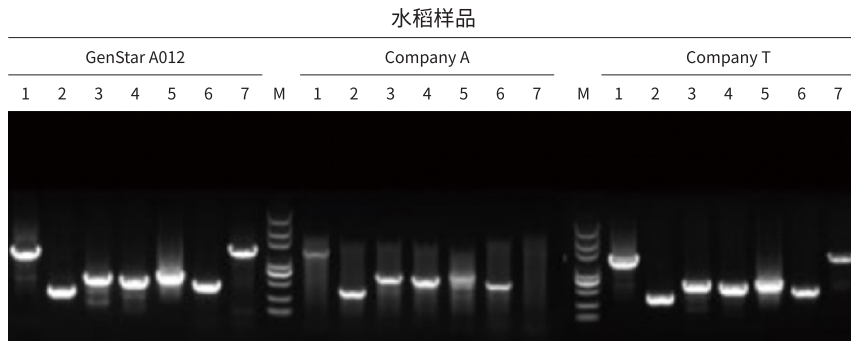


## 1.1 常规 Taq PCR

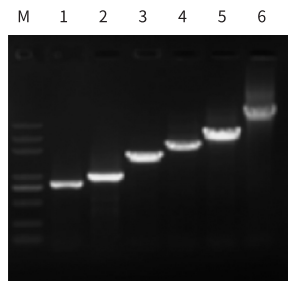
GenStar 常规 PCR 产品以即用型的 2×PCR 预混液为主，使用时只需加入 DNA 模板和引物。具有使用方便、灵敏度高、扩增性能强、稳定性好等优点。PCR 产物的 3' 端附有一个突出的“A”碱基，纯化后可直接用于 TA 克隆。

### ★ 星级推荐：2×Taq 预混液 (染料) (Cat#A012)

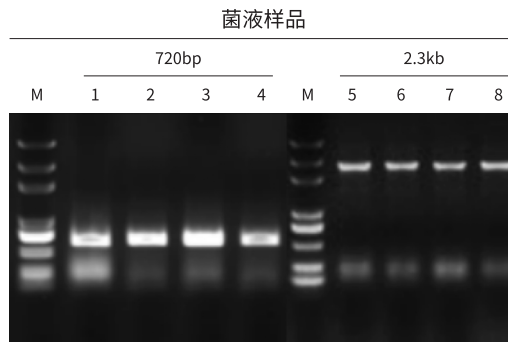
- ☆ **操作简便**：优化的一管化预混型试剂，可直接电泳上样
- ☆ **颜色鲜明**：红色染料，更加醒目
- ☆ **适用性广**：适用于植物、动物、菌液等各类样本
- ☆ **性能稳定**：4℃保存 3-6 个月，或反复冻融 50 次，扩增性能无变化



注：1-7 为不同长度的目的片段



M: StarMarker D2000  
 1. Human cDNA-810bp  
 2. 大鼠 cDNA-1kb  
 3. 水稻 gDNA-1.7kb  
 4. 玉米 gDNA-2.3kb  
 5. 大肠杆菌 gDNA-3kb  
 6. λDNA-6kb



GenStar A012 适用性广泛，不同来源、不同长度模板扩增效率均很高

▼ 产品目录

常规 *Taq* PCR Mix

产品名称	货号	规格	目录价(¥)
	A012-01	1 ml	28
2× <i>Taq</i> PCR StarMix (Dye)	A012-10	1 ml×10	268
2× <i>Taq</i> 预混液 (染料)	A012-100	1 ml×100	2398
	A012-505	5 ml×5	668
	A012-B01	1 ml	28
2× <i>Taq</i> PCR StarMix (Blue Dye)	A012-B10	1 ml×10	268
2× <i>Taq</i> 预混液 (蓝染料)	A012-B100	1 ml×100	2398
2× <i>Taq</i> PCR StarMix	A015-01	1 ml	28
2× <i>Taq</i> 预混液	A015-10	1 ml×10	268
	A006-01	1 ml	28
2× <i>Taq</i> PCR StarMix for PAGE (Dye)	A006-10	1 ml×10	268
2× <i>Taq</i> 预混液 (染料, PAGE 专用)	A006-100	1 ml×100	2398

常规 *Taq* DNA 聚合酶

产品名称	货号	规格	目录价(¥)
<i>Taq</i> DNA Polymerase (Mg <sup>2+</sup> -free Buffer)	A110-01	500 U	73
<i>Taq</i> DNA 聚合酶 (Mg <sup>2+</sup> -free Buffer)	A110-10	500 U×10	580
<i>Taq</i> DNA Polymerase (Mg <sup>2+</sup> -plus Buffer)	A111-01	500 U	73
<i>Taq</i> DNA 聚合酶 (Mg <sup>2+</sup> -plus Buffer)	A111-10	500 U×10	580



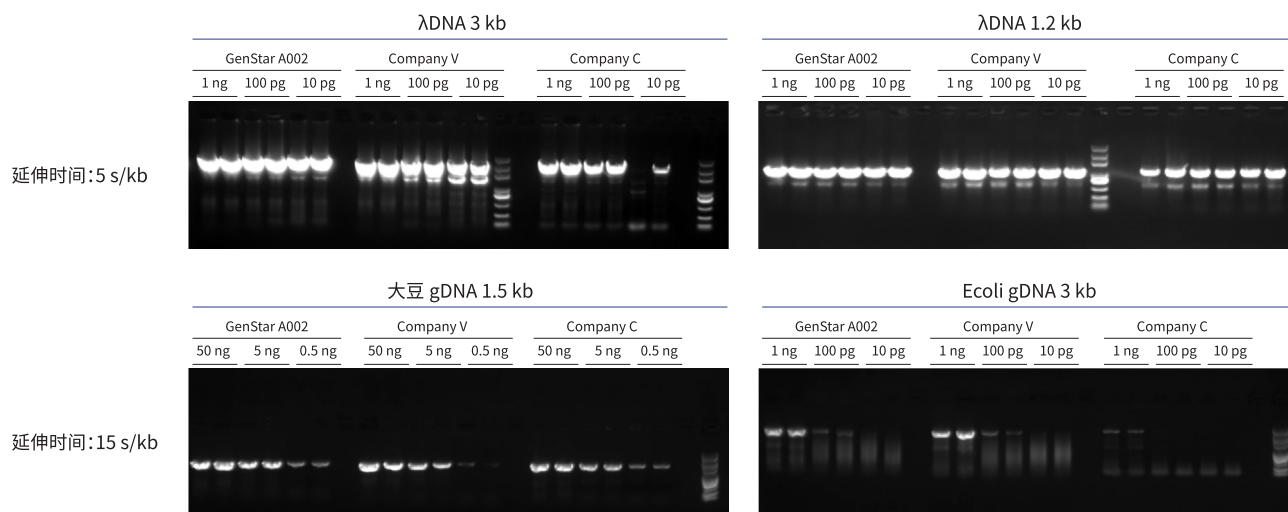
## 1.2 快速 Taq PCR

快速 Taq PCR Mix 产品均为含有优化浓度的 SuperTaq DNA 聚合酶、dNTPs、Mg<sup>2+</sup>、反应缓冲液以及稳定剂等成分的 2× 预混 PCR 溶液，扩增速度比常规 Taq mix 更快，适用于超快速 PCR 反应和大规模基因检测。PCR 反应产品 3' 端带 A 尾，纯化后可直接用于 TA 克隆。

### 【产品特点】

- ☆ **快速扩增**：短片段或简单模板延伸速度可达 5s/kb，长片段 (≥ 3kb) 或复杂模板延伸速度 15-30s/kb
- ☆ **操作简便**：预混型试剂，可最大限度减少人为误差、降低污染几率
- ☆ **适用广泛**：GC 含量高、二级结构复杂的模板皆可进行快速扩增

★ 星级推荐：2×SuperTaq 预混液 (染料) (Cat#A002)



GenStar A002 扩增速度快、效率高、产物量高

### ▼ 产品目录

产品名称	货号	规格	目录价(¥)
2×SuperTaq PCR StarMix (Dye) 2×SuperTaq 预混液 (染料)	A002-01	1 ml	28
	A002-10	1 ml×10	268
	A002-100	1 ml×100	2398
2×SuperTaq PCR StarMix 2×SuperTaq 预混液	A003-01	1 ml	28
	A003-10	1 ml×10	268
	A003-100	1 ml×100	2398
2×SuperTaq PCR StarMix for PAGE (Dye) 2×SuperTaq 预混液 (染料, PAGE 专用)	A008-01	1 ml	28
	A008-10	1 ml×10	268
	A008-100	1 ml×100	2398
2×PtTaq HS PCR StarMix (Blue Dye) 2×PtTaq 热启动预混液 (蓝染料)	A004-01	1 ml	98
	A004-10	1 ml×10	898
	A004-100	1 ml×100	7998

### 1.3 热启动 PCR

热启动 PCR Mix

产品名称	货号	规格	目录价(¥)
2×Fast HSTaq StarMix (Dye)	A032-01	1 ml	98
2×Fast 热启动 Taq 预混液 (染料)	A032-10	1 ml×10	898
2×Fast HSTaq StarMix	A033-01	1 ml	98
2×Fast 热启动 Taq 预混液	A033-10	1 ml×10	898
2×Power HSTaq StarMix (Dye)	A036-01	1 ml	98
2×Power 热启动 Taq 预混液 (染料)	A036-10	1 ml×10	898
2×Power HSTaq StarMix	A037-01	1 ml	98
2×Power 热启动 Taq 预混液	A037-10	1 ml×10	898

热启动 PCR 聚合酶

产品名称	货号	规格	目录价(¥)
Fast HSTaq DNA Polymerase	A131-01	250 U	338
Fast 热启动 Taq DNA 聚合酶	A131-10	250 U×10	2868
Power HSTaq DNA Polymerase	A135-01	250 U	338
Power 热启动 Taq DNA 聚合酶	A135-10	250 U×10	2868

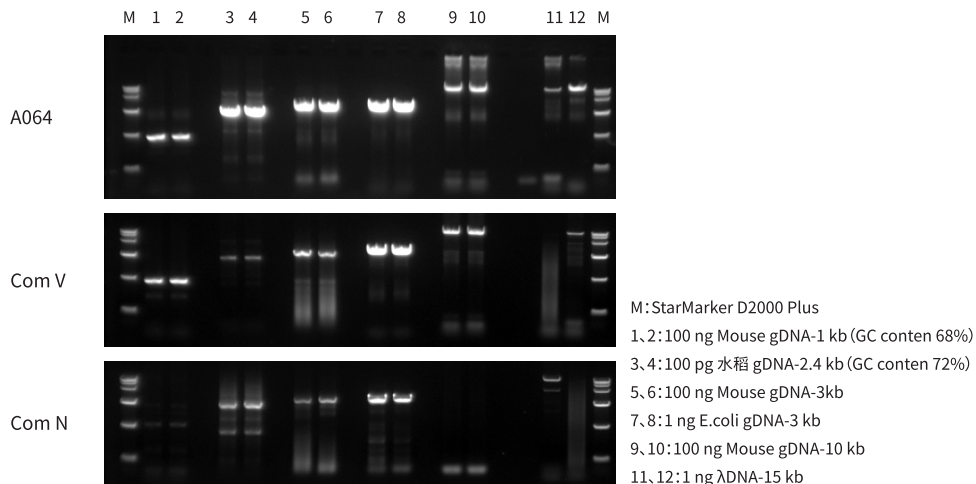
### 1.4 超保真 PCR

超保真 DNA 聚合酶具有 5' → 3' DNA 聚合酶活性和 3' → 5' 外切酶活性（即校对活性），能够纠正 DNA 扩增中产生的碱基错配，提高 PCR 扩增的保真度。GenStar 超保真 PCR 系列产品快速简便、保真度高，适用于对保真性要求高的 DNA 片段的快速扩增。PCR 产物经纯化后，可用于酶切、连接、荧光测序等后续操作。

#### 【产品特点】

- ☆ **保真度超高**：保真度是 Taq DNA 聚合酶的 80 倍
- ☆ **扩增效率高**：对高 GC 含量、具有复杂二级结构的模板、长片段均能高效扩增
- ☆ **应用范围广**：适用于基因克隆、高通量测序、定点突变、SNP 分析等
- ☆ **延伸速度快**：SuperNova 系列延伸速度约为 15-30s/kb

★ 星级推荐：2×SuperNova 超保真 PCR 预混液 (染料) (Cat#A064)



SuperNova 系列产品对不同物种来源的简单模板、高 GC 模板、长片段模板扩增效果均很好，且优于 Com V 和 Com N

## ▼ 产品目录

## 超保真 PCR Mix

产品名称	货号	规格	目录价(¥)
2×SuperNova PCR Mix (Dye)	A064-01	1 ml	368
2×SuperNova 超保真 PCR 预混液 (染料)	A064-05	1 ml×5	1598
	A064-10	1 ml×10	2798
	A065-01	1 ml	368
2×SuperNova PCR Mix	A065-05	1 ml×5	1598
2×SuperNova 超保真 PCR 预混液	A065-10	1 ml×10	2798

## 超保真 PCR 聚合酶

产品名称	货号	规格	目录价(¥)
SuperNova DNA Polymerase	A164-01	100 U	398
SuperNova 超保真 DNA 聚合酶	A164-05	100 U×5	1798

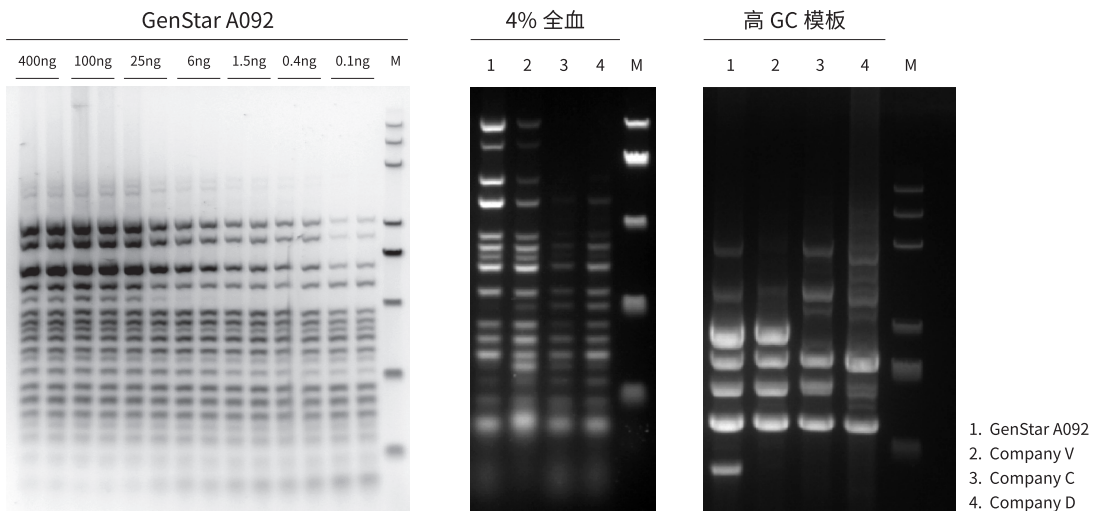
## 1.5 多重 PCR

多重 PCR 基本原理与普通 PCR 相同，其优势在于多重 PCR 可在同一 PCR 反应体系里加上 2 对以上引物，同时扩增多个目的片段，在同一管内一次性完成多个靶标检测。GenStar 多重 PCR 产品是基于新一代抗体型热启动 DNA 聚合酶，具有极高的扩增效率和检测灵敏度，扩增偏好性低，在获得极高产量的同时保持良好的扩增均一性。

### 【产品特点】

- ☆ **高效扩增**：可在同一反应中扩增 20 个以内目的片段
- ☆ **扩增范围广**：可同时扩增 50-3000bp 范围内的目的片段，可兼容 GC 含量在 25%-70% 的多重模板扩增
- ☆ **杂质耐受能力强**：高度耐受多种抑制剂和杂质类型，兼容全血直扩
- ☆ **防污染体系**：可选 UNG 防污染体系 (Cat#A092)

★ 星级推荐：2× 多重 PCR 预混液 (UNG) (Cat#A092)



### ▼ 产品目录

产品名称	货号	规格	目录价(¥)
2× Multiplex PCR StarMix (UNG)	A092-01	1 ml	238
2× 多重 PCR 预混液 (UNG)	A092-10	1 ml×10	1898
2× Multiplex PCR StarMix	A099-01	1 ml	168
2× 多重 PCR 预混液	A099-10	1 ml×10	1298



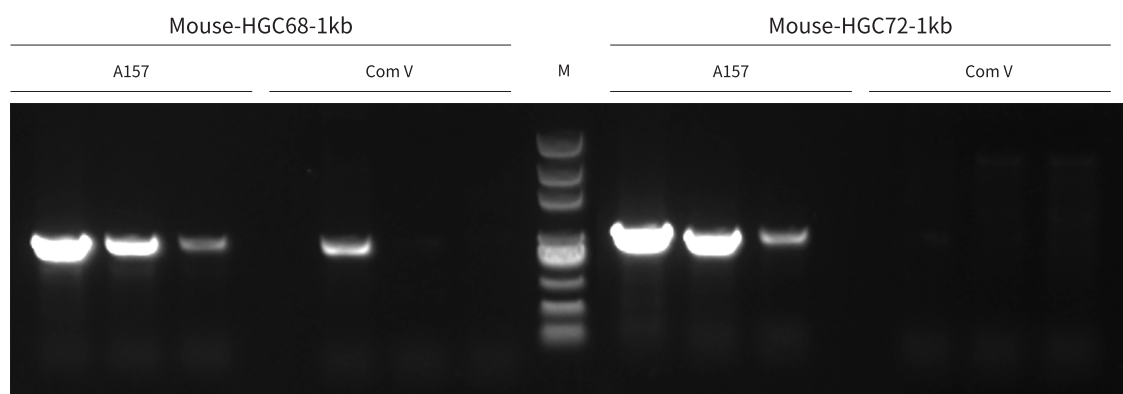
## 1.6 直扩 PCR

StarDirect 鼠尾直扩系列产品,包含快速制备小鼠基因组 DNA 和后续 PCR 扩增的整套试剂,可快速完成小鼠基因型鉴定,适用于从小鼠尾巴、耳朵、脚趾等组织中快速释放基因组 DNA,无需纯化,直接用于后续 PCR 扩增和鉴定。

### 【产品特点】

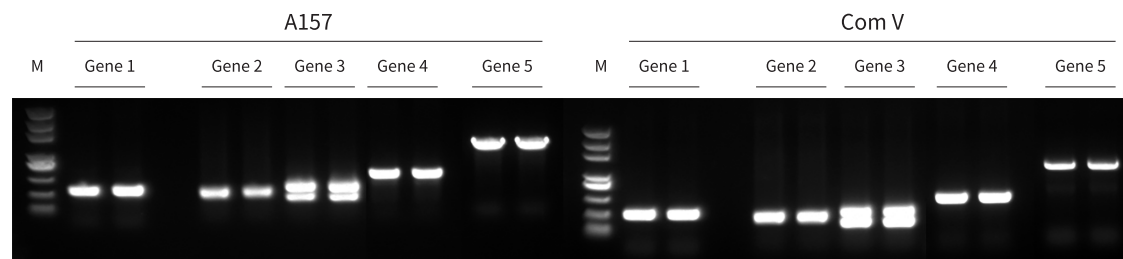
- ☆ **操作简便:** 裂解产物无需纯化,可直接作为模板进行 PCR 扩增
- ☆ **裂解速度快:** 55°C 水浴孵育 5-30min, 95°C 水浴孵育 5min 即可获得裂解上清
- ☆ **保真度高:** 使用高保真 DNA 聚合酶,保证 PCR 扩增的准确性
- ☆ **灵敏度高:** 只需 1-3mm 小鼠尾尖、2-5mm<sup>2</sup> 小鼠耳朵、1-2 个小鼠脚趾的裂解液上清 1-2μl,即可完成实验

### ★ 星级推荐: 鼠尾直扩试剂盒 (Cat#A157)



GenStar A157 扩增鼠尾高 GC DNA 片段

以小鼠鼠尾裂解液为模板,扩增小鼠高 GC DNA 片段, GenStar A157 较 Com V 扩增效率更高



A157 扩增小鼠 DNA 片段,与 Com V 扩增效率和扩增特异性相当

### ▼ 产品目录

产品名称	货号	规格	目录价(¥)
StarDirect Mouse HS PCR Kit 鼠尾直扩试剂盒	A157-02	200 rxn	398
StarDirect Mouse HS HiFi PCR Kit 鼠尾热启动高保真直扩试剂盒	A158-02	200 rxn	1368

## 1.7 高效 PCR Mix

产品名称	货号	规格	目录价(¥)
2×UltraTaq PCR StarMix (Dye)	A019-01	1 ml	48
2×UltraTaq 预混液 (红染料)	A019-10	1 ml×10	398
	A019-100	1 ml×100	3568
2×UltraTaq PCR StarMix	A014-01	1 ml	48
2×UltraTaq 预混液	A014-10	1 ml×10	398

## 1.8 PCR 配套试剂

产品名称	货号	规格	目录价(¥)
dNTPs Mix (10mM Each)	A113-01	500 µl	108
dNTPs 混合物 (各 10mM)	A113-10	500 µl×10	860
dNTPs Mix (2.5mM Each)	A114-01	1 ml	54
dNTPs 混合物 (各 2.5mM)	A114-10	1 ml×10	430
100mM dATP	A146-01	100 µl	89
100mM dATP	A146-10	1 ml	712
100mM dTTP	A147-01	100 µl	89
100mM dTTP	A147-10	1 ml	712
100mM dCTP	A148-01	100 µl	89
100mM dCTP	A148-10	1 ml	712
100mM dGTP	A149-01	100 µl	89
100mM dGTP	A149-10	1 ml	712
100mM dUTP	A150-01	100 µl	295
100mM dUTP	A150-10	1 ml	2360
	A129-02	500 ml	183
Sterile Water	A129-10	1 ml×10	32
灭菌水	A129-100	1 ml×100	299



## 第二章 反转录系列

反转录PCR (RT-PCR) 是将RNA的反转录和cDNA的聚合酶链式扩增 (PCR) 相结合的技术, 是检测基因转录水平差异的首选实验方法, 可广泛应用于细胞基因表达、RNA病毒含量测定、克隆特定基因的cDNA序列等方面。GenStar将M-MLv进行了基因工程改造, 开发了新一代反转录酶, 不仅有卓越的cDNA合成能力, 而且克服了低丰度、复杂模板的反转录难题。

### 目录

2.1 反转录酶 & cDNA第一链合成 .....	16
2.2 一步法RT-PCR.....	17
2.3 反转录配套系列.....	18



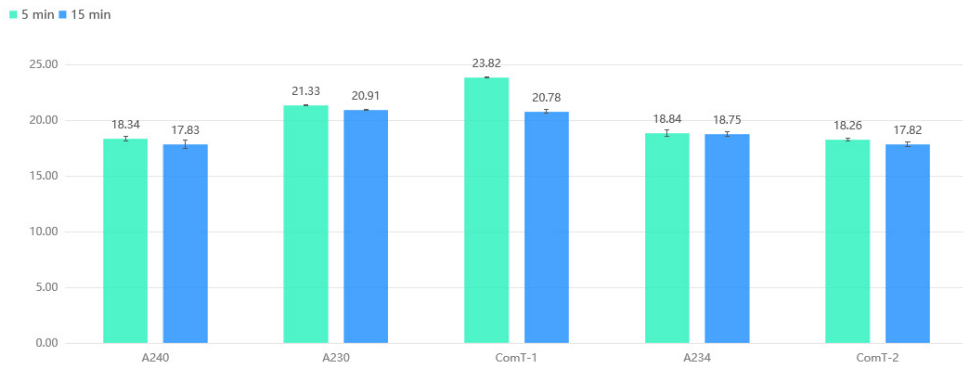
## 2.1 反转录酶 & cDNA 第一链合成

GenStar 反转录酶是利用基因工程技术，对 M-MLV 进行定点突变后得到的全新反转录酶，适用于常规反转录、普通 RT-PCR 及 real time RT-PCR 等实验的第一链 cDNA 合成。GenStar cDNA 第一链合成产品除了预混试剂、试剂盒，也升级开发了去基因组和反转录一管化预混液，只需一步操作，即可实现基因组 DNA 去除和 cDNA 合成同时完成，为您带来极简高效的反转录体验。

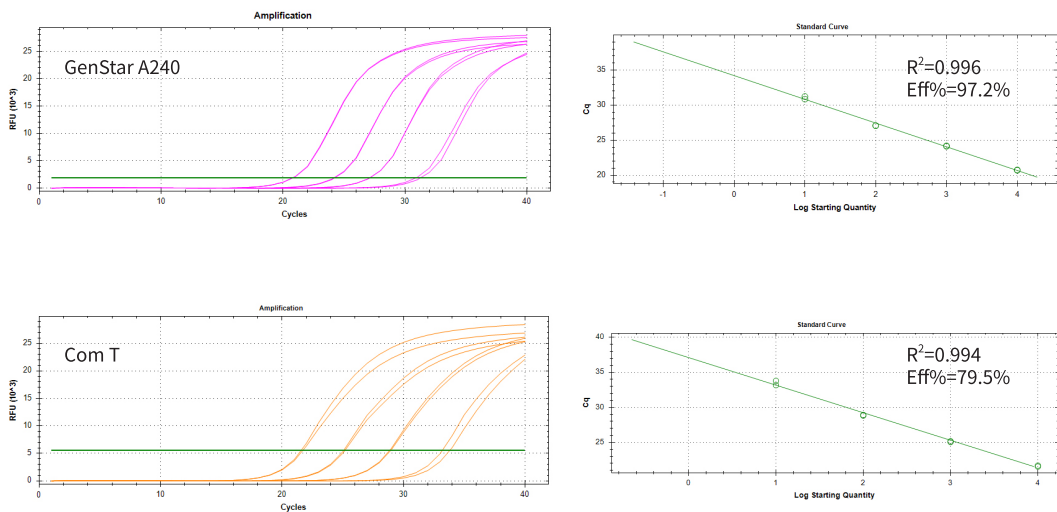
### 【产品特点】

- ☆ **热稳定性强**：可耐受 37-65°C 反应温度，适合高 GC 和复杂模板的反转录
- ☆ **反转录速度快**：只需 5-15min，即可合成高质量 cDNA
- ☆ **灵敏度高**：克服低丰度、复杂模板的反转录难题
- ☆ **兼容性强**：适合不同物种、各种类型的 RNA 模板
- ☆ **合成能力强**：合成产量大大提高，且最长可获得 15kb 的 cDNA
- ☆ **应用广泛**：可用于基因全长 cDNA 合成、qPCR 等实验

★ 星级推荐：StarScript Pro 一管化去基因组反转录预混液 (Cat#A240)



GenStar A240 反转录速度快，只需 5-15min，即可合成高质量 cDNA



GenStar A240 反转录效率高，低丰度和高丰度 RNA 无偏好的反转录，提升 RT-PCR 的灵敏度和准确性

以浓度梯度为 1  $\mu$ g、100 ng、10 ng、1 ng 水稻 RNA 为模板，使用 A240、Com T 进行反转录反应，获得的 cDNA 进行  $\beta$ -actin 基因的 qPCR 验证，GenStar A240 反转录效率优于 Com T。



## ▼ 产品目录

## 反转录酶

产品名称	货号	规格	目录价(¥)
StarScript III Reverse Transcriptase	A231-01	2000 U	180
StarScript III 反转录酶	A231-05	10000 U	780

## cDNA 第一链合成

产品名称	货号	规格	目录价(¥)
StarScript II RT Kit StarScript II 反转录试剂盒	A214-10	100 rxn	688
StarScript II RT MasterMix StarScript II 反转录预混液	A223-10	100 rxn	688
StarScript II RT Mix with gDNA Remover StarScript II 去基因组 DNA 反转录预混试剂	A224-10	100 rxn	838
StarScript III RT Kit StarScript III 反转录试剂盒	A232-02 A232-10	20 rxn 100 rxn	228 988
StarScript III RT MasterMix StarScript III 反转录预混液	A233-02 A233-10	20 rxn 100 rxn	228 988
StarScript III RT Mix with gDNA Remover StarScript III 去基因组 DNA 反转录预混试剂	A234-02 A234-10	20 rxn 100 rxn	288 1188
StarScript III All-in-one RT Mix with gDNA Remover StarScript III 一管化去基因组反转录预混液	A230-02 A230-10	20 rxn 100 rxn	288 1188
StarScript Pro All-in-one RT Mix with gDNA Remover StarScript Pro 一管化去基因组反转录预混液	A240-02 A240-10	20 rxn 100 rxn	338 1568
StarScript III miRNA RT Kit (by stem-loop) StarScript III miRNA 反转录试剂盒 (茎环法)	A237-02 A237-10	20 rxn 100 rxn	238 998
StarScript III miRNA RT Kit (by poly A) StarScript III miRNA 反转录试剂盒 (加尾法)	A238-02 A238-10	20 rxn 100 rxn	1538 6798

## 2.2 一步法 RT-PCR

产品名称	货号	规格	目录价(¥)
StarScript III One-Step RT-PCR Kit (Dye) StarScript III 一步法 RT-PCR 试剂盒 (染料)	A235-01 A235-04	50 rxn 200 rxn	338 1188
StarScript III One-Step RT-PCR Kit StarScript III 一步法 RT-PCR 试剂盒	A236-01 A236-04	50 rxn 200 rxn	338 1188



## 2.3 反转录配套试剂

产品名称	货号	规格	目录价(¥)
Nuclease-free Water (DEPC-treated) 无核酸酶水 (DEPC 处理)	A220-10	1 ml×10	50
	A220-50	50 ml	52
gDNA Remover Reagent 去基因组 DNA 试剂	A221-02	20 rxn	138
DNase I (RNase-free) 脱氧核糖核酸酶 I (无核糖核酸酶)	A216-01	250 U	340
Oligo18 (dT) Primer Oligo18 (dT) 引物	A212-105	50 µl	70
Random Primer 随机引物	A212-106	50 µl	70
RNase H 核糖核酸酶 H	A217-01	600 U	652
RNase Inhibitor (RNaseIn) 核糖核酸酶抑制剂	A218-01	2000 U	590
Thermolabile dsDNase 热敏型双链 DNA 酶	A219-01	100 U	320



## 第三章 qPCR系列

qPCR 又称荧光定量 PCR (Quantitation PCR), 其原理是在PCR反应体系中加入荧光基团, 利用荧光信号的变化实时监测PCR反应每个循环扩增产物量的变化, 通过Ct值和标准曲线对未知模板进行定量分析, 已被广泛应用于基因表达分析、拷贝数分析、SNP基因分型等。GenStar qPCR产品包括染料法和探针法两大类, 满足客户不同应用需求。

### 目录

3.1 染料法qPCR.....	21
3.2 探针法qPCR.....	23
3.3 一步法qRT-PCR.....	24
3.4 多重qPCR.....	25
3.5 qPCR配套.....	26



GenStar qPCR 系列产品仪器兼容性表格															
检测方法	产品名称	试剂类型	货号	参比荧光	Applied Biosystems		MJ Research	Stratagene	Qiagen		Bio-Rad	Roche	Eppendorf		
					7000, 7300, 7700, 7900, 7900HT, StepOne, StepOne Plus™	7500, 7500Fast, ViiA7, QuantStudio3, 5, 6, 7			Corbett Rotor-Gene3000	Corbett Rotor-Gene6000/g/Q					
染料法	2 x RealStar Fast SYBR qPCR Mix	抗体修饰型	A301	ROX Free				●		●	●	●	●		
			A303	High ROX	●										
			A304	Low ROX		●									
			A302	ROX Free					●		●	●	●	●	
	2 x RealStar Universal SYBR qPCR Mix	抗体修饰型	抗体修饰型 防污染	A309	通用	●	●	●	●	●	●	●	●	●	
				A311	ROX Free				●		●	●	●	●	
				A313	High ROX	●									
				A314	Low ROX		●					●			
				A312	ROX Free					●			●	●	●
				A333	ROX Free						●		●	●	●
探针法	2 x RealStar Power SYBR qPCR Mix (UNG)	化学修饰型	A336	ROX Free				●		●	●	●	●		
			A351	ROX Free					●		●	●	●		
			A352	ROX Free						●		●	●	●	
			A361	ROX Free						●		●	●	●	
	2 x RealStar Power Probe Mix (UNG)	化学修饰型	化学修饰型 防污染	A362	ROX Free				●		●	●	●	●	
				A392	ROX Free					●		●	●	●	
				A334	ROX Free						●		●	●	●
				A338	ROX Free						●		●	●	●
				A388	ROX Free						●		●	●	●

\*如果需要ROX请致电GenStar单独赠送

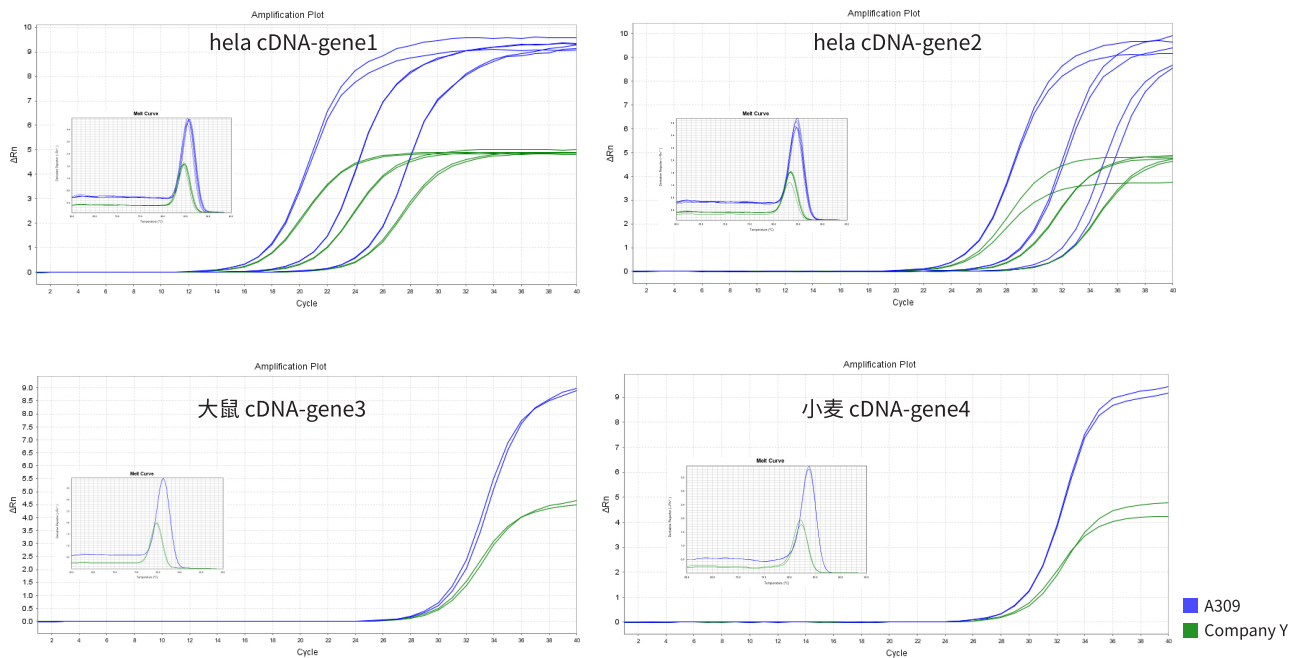
### 3.1 染料法 qPCR

染料法 qPCR 采用 DNA 染料 SYBR Green I，使用简单，成本相对较低。由于染料法检测的是体系中所有双链 DNA，因此非特异扩增或引物二聚体的出现会影响检测结果的准确性。

#### 【产品特点】

- ☆ **扩增性能高**：采用热启动 DNA 聚合酶，扩增效率更高、特异性好、灵敏度高
- ☆ **信号强度高**：荧光信号强度高，易检测
- ☆ **性能稳定**：重复性好，加速稳定性和反复冻融稳定性强
- ☆ **性价比高**：使用方便、性价比高，降低实验成本
- ☆ **产品全面**：不同 ROX 浓度 / 通用 ROX 产品，基本覆盖了所有 qPCR 仪器平台
- ☆ **易于示踪**：蓝色预混液，观察颜色即可直接判断是否加样 (Cat#A309)

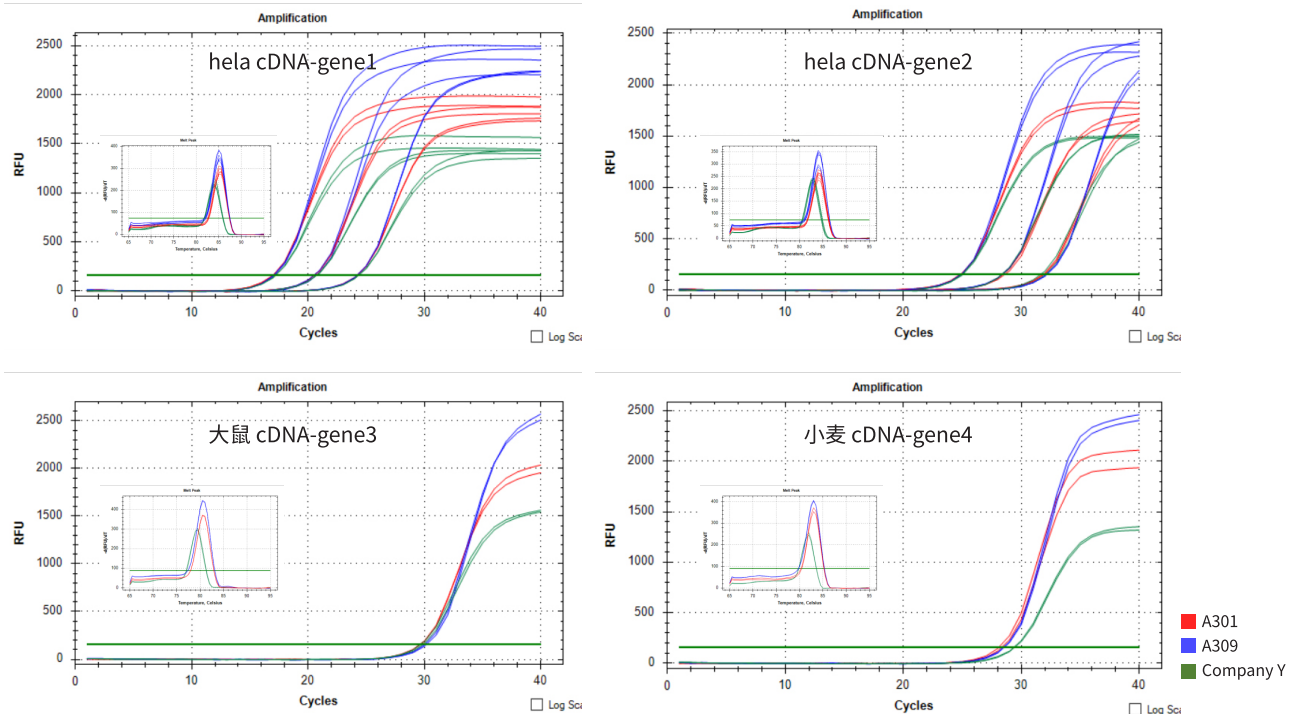
★ 星级推荐：2×RealStar 通用染料法 qPCR 预混液 (Cat#A309)



	heLa cDNA-gene1			heLa cDNA-gene2			大鼠 cDNA-gene3	小麦 cDNA-gene4
	100ng	10ng	1ng	100ng	10ng	1ng	1μg	1μg
A309	17.73	21.31	24.93	25.03	28.54	32.22	30.64	29.89
Company Y	18.45	21.93	25.53	25.70	29.09	32.24	31.16	30.91

GenStar A309 和同类产品 Company Y 在 ABI 7500 (Low Rox) 的 qPCR 对比，GenStar A309 扩增效率更高，荧光信号更强，易于检测





GenStar A309 与 GenStar A301 和同类产品 Company Y 在 Bio-Rad CFX Opus 96 (No ROX) 的 qPCR 对比，  
GenStar A309 较 GenStar A301 性能无差异，较 Company Y 扩增效率更高，荧光信号更强，易于检测

▼ 产品目录

Fast qPCR Mix (染料法)

产品名称	货号	规格	目录价(¥)
2×RealStar Fast SYBR qPCR Mix 2×RealStar Fast 染料法 qPCR 预混液	A301-01	1.1 ml	188
	A301-05	1.1 ml×5	799
	A301-10	1.1 ml×10	1508
2×RealStar Fast SYBR qPCR Mix (High ROX) 2×RealStar Fast 染料法 qPCR 预混液 (High ROX)	A303-01	1.1 ml	188
	A303-05	1.1 ml×5	799
	A303-10	1.1 ml×10	1508
2×RealStar Fast SYBR qPCR Mix (Low ROX) 2×RealStar Fast 染料法 qPCR 预混液 (Low ROX)	A304-01	1.1 ml	188
	A304-05	1.1 ml×5	799
	A304-10	1.1 ml×10	1508
2×RealStar Fast SYBR qPCR Mix (UNG) 2×RealStar Fast 染料法 qPCR 预混液 (UNG)	A302-01	1.1 ml	343
	A302-05	1.1 ml×5	1544
	A302-10	1.1 ml×10	2742
2×RealStar Universal SYBR qPCR Mix 2×RealStar 通用染料法 qPCR 预混液	A309-01	1.1 ml	198
	A309-05	1.1 ml×5	798
	A309-10	1.1 ml×10	1498



## Power qPCR Mix (染料法)

产品名称	货号	规格	目录价(¥)
2×RealStar Power SYBR qPCR Mix 2×RealStar Power 染料法 qPCR 预混液	A311-01	1.1 ml	188
	A311-05	1.1 ml×5	799
	A311-10	1.1 ml×10	1508
2×RealStar Power SYBR qPCR Mix (High ROX) 2×RealStar Power 染料法 qPCR 预混液 (High ROX)	A313-01	1.1 ml	188
	A313-05	1.1 ml×5	799
	A313-10	1.1 ml×10	1508
2×RealStar Power SYBR qPCR Mix (Low ROX) 2×RealStar Power 染料法 qPCR 预混液 (Low ROX)	A314-01	1.1 ml	188
	A314-05	1.1 ml×5	799
	A314-10	1.1 ml×10	1508
2×RealStar Power SYBR qPCR Mix (UNG) 2×RealStar Power 染料法 qPCR 预混液 (UNG)	A312-01	1.1 ml	343
	A312-05	1.1 ml×5	1544
	A312-10	1.1 ml×10	2742

## 3.2 探针法 qPCR

探针法 qPCR 在反应体系中加入特异性结合目标序列的荧光探针，实现了荧光信号累积与 PCR 产物形成完全同步，所以理论上探针法中的荧光信号只来源于目标序列，特异性和准确性更高。除此之外，还可以利用不同的探针，在同一个反应体系中使用不同的荧光标记同时检测多种指标。

## Fast qPCR Mix (探针法)

产品名称	货号	规格	目录价(¥)
2×RealStar Fast Probe Mix 2×RealStar Fast 探针法 qPCR 预混液	A351-01	1.1 ml	188
	A351-05	1.1 ml×5	799
	A351-10	1.1 ml×10	1508
2×RealStar Fast Probe Mix (UNG) 2×RealStar Fast 探针法 qPCR 预混液 (UNG)	A352-01	1.1 ml	343
	A352-05	1.1 ml×5	1544
	A352-10	1.1 ml×10	2742

## Power qPCR Mix (探针法)

产品名称	货号	规格	目录价(¥)
2×RealStar Power Probe Mix 2×RealStar Power 探针法 qPCR 预混液	A361-01	1.1 ml	188
	A361-05	1.1 ml×5	799
	A361-10	1.1 ml×10	1508
2×RealStar Power Probe Mix (UNG) 2×RealStar Power 探针法 qPCR 预混液 (UNG)	A362-01	1.1 ml	343
	A362-05	1.1 ml×5	1544
	A362-10	1.1 ml×10	2742



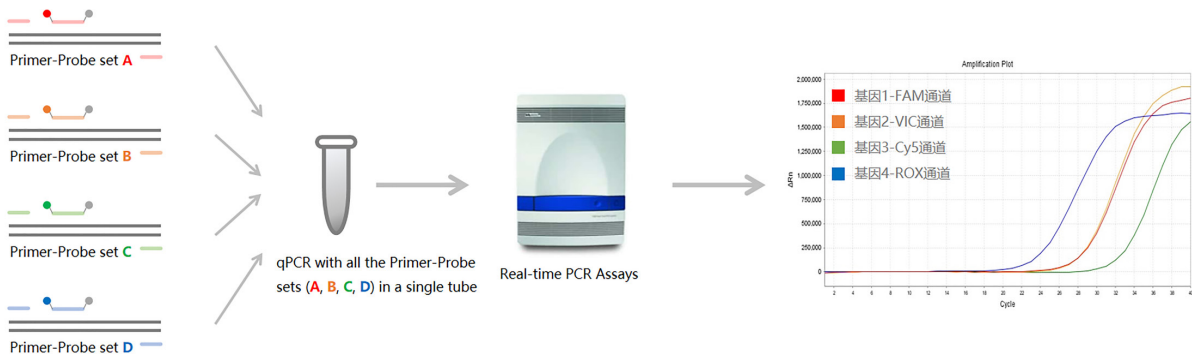
### 3.3 一步法 qRT-PCR

产品名称	货号	规格	目录价(¥)
StarScript III One-Step qRT-PCR SYBR Kit	A333-01	100 rxn	579
StarScript III 一步法 qRT-PCR 试剂盒 - 染料法	A333-10	1000 rxn	4626
StarScript III One-Step qRT-PCR SYBR Kit (UNG)	A336-01	100 rxn	693
StarScript III 一步法 qRT-PCR 试剂盒 - 染料法 (UNG)	A336-10	1000 rxn	5550
StarScript III One-Step qRT-PCR Probe Kit	A334-01	100 rxn	579
StarScript III 一步法 qRT-PCR 试剂盒 - 探针法	A334-10	1000 rxn	4626
StarScript III One-Step qRT-PCR Probe Kit (UNG)	A338-01	100 rxn	693
StarScript III 一步法 qRT-PCR 试剂盒 - 探针法 (UNG)	A338-10	1000 rxn	5550



### 3.4 多重 qPCR

GenStar 多重 qPCR 采用 TaqMan 水解探针法，在同一反应体系里，对多个靶标进行定量检测。其原理是针对每一个靶标，设计不同荧光基团标记的特异性探针，通过检测不同荧光基团的信号强度对多种靶标进行定量，不仅简便高效，而且灵敏度高、特异性强。

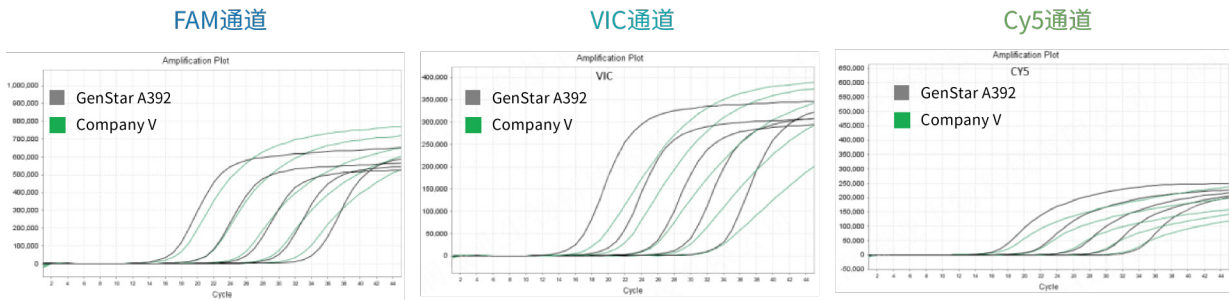


探针法多重 qPCR 原理示意图

#### 【产品特点】

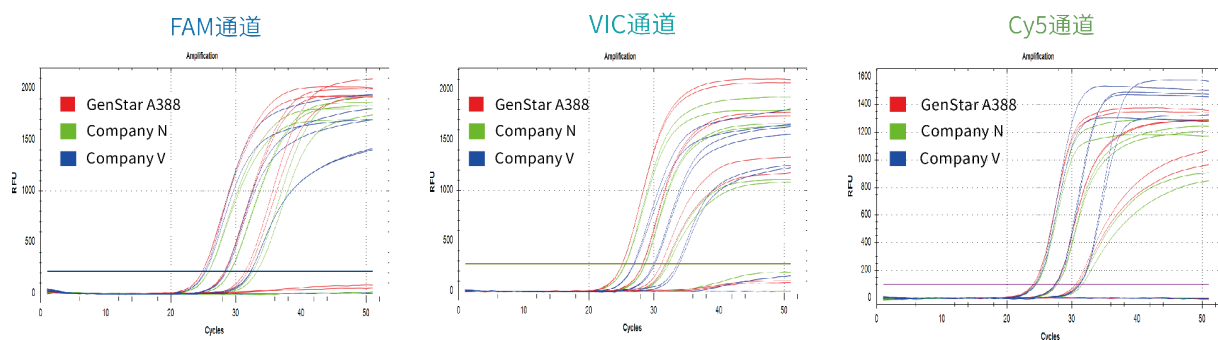
- ☆ **多重检测**：单个反应体系中，可检测多个靶标
- ☆ **扩增性能好**：扩增效率高、灵敏度高、结果重复性好
- ☆ **特异性好**：探针特异性结合在靶标序列上，检测结果更准确
- ☆ **防污染系统**：试剂中加入 dUTP/UDG 防污染系统，可消除气溶胶等污染对 qPCR 的影响

★ 星级推荐：2×Multiplex Fast 探针法 qPCR 预混液 (UNG) (Cat#A392)



GenStar A392 较 Company V 灵敏度更高，扩增效率更高

★ 星级推荐: Multiplex 一步法 qRT-PCR 试剂盒 - 探针法 (UNG) (Cat#A388)



	FAM 通道			VIC 通道			Cy5 通道		
模板浓度	A388	Com N	Com V	A388	Com N	Com V	A388	Com N	Com V
10 <sup>4</sup> cp/ul	24.85	25.83	25.21	24.91	25.04	25.18	25.17	25.66	26.98
10 <sup>3</sup> cp/ul	28.25	29.14	28.44	28.34	28.46	28.80	28.32	28.67	30.11
10 <sup>2</sup> cp/ul	31.60	32.89	32.28	31.71	32.11	32.26	31.49	32.12	33.77

GenStar A388 较 Company N 和 Company V, 在 FAM 和 VIC 通道灵敏度更高, 扩增效率更高; 在 Cy5 通道, 性能相当

▼ 产品目录

产品名称	货号	规格	目录价(¥)
2× Multiplex Fast Probe Mix (UNG) 2× Multiplex Fast 探针法 qPCR 预混液 (UNG)	A392-01	1.1 ml	368
	A392-10	1.1 ml×10	2998
	A392-100	1.1 ml×100	26998
Multiplex One-Step qRT-PCR Probe Kit (UNG) Multiplex 一步法 qRT-PCR 试剂盒 - 探针法 (UNG)	A388-01	100 rxn	998
	A388-10	1000 rxn	8968
	A388-100	10000 rxn	80738

3.5 qPCR 配套

产品名称	货号	规格	目录价(¥)
High ROX Reference Dye 高浓度 ROX 参比染料	A320-01	44 µl	38
	A320-05	220 µl	68
	A320-10	440 µl	98
Low ROX Reference Dye 低浓度 ROX 参比染料	A321-01	44 µl	38
	A321-05	220 µl	68
	A321-10	440 µl	98
High & Low ROX Reference Dye 高 & 低浓度 ROX 参比染料	A322-01	44 µl×2	68
	A322-05	220 µl×2	98
	A322-10	440 µl×2	168



## 第四章 PCR & qPCR实验耗材

### 目录

4.1 96孔PCR板.....	29
4.2 384孔PCR板.....	29
4.3 PCR板配套封板膜.....	30
4.4 八联排管.....	30



96 孔 PCR 板 &amp; 八联排管适配表

仪器		96 孔 PCR 板						8 联排管系列			
品牌	型号	无裙边		半裙边				PL08100	PL08101	PL08200	PL08201
		PL96101	PL96200	PL96112	PL96111	PL96212	PL96210				
		低位白色	高位透明	低位磨砂	低位白色	高位磨砂	高位透明				
ABI	ViiA 7		○			★	○			★	○
	ViiA 7 Fast	○		★				★	○		
	7000		○			★	○			★	○
	7300/7500		○			★	○			★	○
	7500 Fast	○		★				★	○		
	7900HT					★	○			★	○
	7900HT Fast	○		★				★	○		
	StepOne Plus	○		★				★	○		
	QuantStudio 系列 Q3/Q5/Q6/Q7/Q12		○			★	○			★	○
	QuantStudio Fast 系列	○		★				★	○		
	Bio-Rad	IQ 系列		○			★	○			○
Opticon 2 系列		★		○	○			○	★		
Mini Opticon 系列		★	○					○	★	○	★
Chromo4		★	○	○	○	○	○	○	★	○	★
CFX96 系列		★		○	★			○	★		
Agilent	MX3000P		○			★	○			○	★
	MX3005P		○			★	○			○	★
Roche	LightCycler 96	○			★			○	★		
	LightCycler 480	○			★			○	★		

★：推荐使用 ○：可以使用



## 4.1 96 孔 PCR 板

产品名称	货号	规格	目录价(¥)
0.1ml 96-well qPCR Plate, Non-skirted, White 0.1ml 96 孔 qPCR 板, 无裙边, 白色双切角	PL96101-01	10 块 / 盒	298
	PL96101-05	10 块 / 盒, 5 盒 / 箱	1398
0.1ml 96-well qPCR Plate, Semi-skirted, White 0.1ml 96 孔 qPCR 板, 半裙边, 白色单切角	PL96111-01	10 块 / 盒	298
	PL96111-05	10 块 / 盒, 5 盒 / 箱	1398
0.2ml 96-well qPCR Plate, Non-skirted, Clear 0.2ml 96 孔 qPCR 板, 无裙边, 透明双切角	PL96200-01	10 块 / 盒	298
	PL96200-05	10 块 / 盒, 5 盒 / 箱	1398
0.2ml 96-well qPCR Plate, Semi-skirted, Clear 0.2ml 96 孔 qPCR 板, 半裙边, 透明单切角	PL96210-01	10 块 / 盒	298
	PL96210-05	10 块 / 盒, 5 盒 / 箱	1398
0.1ml 96-well qPCR Plate, Non-skirted, Clear 0.1ml 96 孔 qPCR 板, 无裙边, 透明双切角	PL96100-01	10 块 / 盒	298
	PL96100-05	10 块 / 盒, 5 盒 / 箱	1398
0.1ml 96-well qPCR Plate, Semi-skirted, Clear 0.1ml 96 孔 qPCR 板, 半裙边, 透明单切角	PL96110-01	10 块 / 盒	298
	PL96110-05	10 块 / 盒, 5 盒 / 箱	1398
0.1ml 96-well qPCR Plate, Semi-skirted, Frosted Clear 0.1ml 96 孔 qPCR 板, 半裙边, 磨砂透明单切角	PL96112-01	10 块 / 盒	298
	PL96112-05	10 块 / 盒, 5 盒 / 箱	1398
0.2ml 96-well qPCR Plate, Semi-skirted, Frosted Clear 0.2ml 96 孔 qPCR 板, 半裙边, 磨砂透明单切角	PL96212-01	10 块 / 盒	298
	PL96212-05	10 块 / 盒, 5 盒 / 箱	1398
0.1ml 96-well PCR Plate, Non-skirted, White 0.1ml 96 孔 PCR 板, 无裙边, 白色双切角	HC96101-01	10 块 / 盒	317
	HC96101-05	10 块 / 盒, 5 盒 / 箱	1425
0.1ml 96-well PCR Plate, Semi-skirted, White 0.1ml 96 孔 PCR 板, 半裙边, 白色单切角	HC96111-01	10 块 / 盒	317
	HC96111-05	10 块 / 盒, 5 盒 / 箱	1425
0.1ml 96-well PCR Plate, Semi-skirted, Frosted Clear 0.1ml 96 孔 PCR 板, 半裙边, 磨砂透明单切角	HC96112-01	10 块 / 盒	317
	HC96112-05	10 块 / 盒, 5 盒 / 箱	1425
0.1ml 96-well PCR Plate, Full-skirted, Clear 0.1ml 96 孔 PCR 板, 全裙边, 透明单切角	HC96120-01	10 块 / 盒	317
	HC96120-05	10 块 / 盒, 5 盒 / 箱	1425
0.2ml 96-well PCR Plate, Non-skirted, Clear 0.2ml 96 孔 PCR 板, 无裙边, 透明单切角	HC96200-01	10 块 / 盒	317
	HC96200-05	10 块 / 盒, 5 盒 / 箱	1425
0.2ml 96-well PCR Plate, Semi-skirted, Frosted Clear 0.2ml 96 孔 PCR 板, 半裙边, 磨砂透明单切角	HC96212-01	10 块 / 盒	317
	HC96212-05	10 块 / 盒, 5 盒 / 箱	1425
0.2ml 96-well PCR Plate, Semi-skirted, Clear 0.2ml 96 孔 PCR 板, 半裙边, 透明单切角	HC96210-01	10 块 / 盒	317
	HC96210-05	10 块 / 盒, 5 盒 / 箱	1425
0.1ml 96-well PCR Plate, Non-skirted, Clear 0.1ml 96 孔 PCR 板, 无裙边, 透明双切角	HC96100-01	15 块 / 盒	476
	HC96100-05	15 块 / 盒, 5 盒 / 箱	2138
0.1ml 96-well PCR Plate, Semi-skirted, Clear 0.1ml 96 孔 PCR 板, 半裙边, 透明单切角	HC96110-01	15 块 / 盒	476
	HC96110-05	15 块 / 盒, 5 盒 / 箱	2138

## 4.2 384 孔 PCR 板

产品名称	货号	规格	目录价(¥)
40µl 384-well qPCR Plate, White Full-skirted, White 40µl 384 孔 qPCR 板, 白色全裙边, 白色双切角	PL38121-01	10 块 / 盒	638
	PL38121-05	10 块 / 盒, 5 盒 / 箱	2898
40µl 384-well qPCR Plate, White Full-skirted, Clear 40µl 384 孔 qPCR 板, 白色全裙边, 透明单切角	PL38120-01	10 块 / 盒	638
	PL38120-05	10 块 / 盒, 5 盒 / 箱	2898
40µl 384-well PCR Plate, White Full-skirted, White 40µl 384 孔 PCR 板, 白色全裙边, 白色双切角	HC38121-01	10 块 / 盒	660
	HC38121-05	10 块 / 盒, 5 盒 / 箱	3200
40µl 384-well PCR Plate, White Full-skirted, Clear 40µl 384 孔 PCR 板, 白色全裙边, 透明单切角	HC38120-01	10 块 / 盒	660
	HC38120-05	10 块 / 盒, 5 盒 / 箱	3200



### 4.3 PCR 板配套封板膜

产品名称	货号	规格	目录价(¥)
PCR Sealing Film, Clear	HC96550-01	10 片 / 盒	99
PCR 封板膜, 透明, 盒装	HC96550-05	50 片 / 盒	446
qPCR Sealing Film (Adhesive), Clear	HC96551-01	10 片 / 盒	190
qPCR 封板膜 (粘性), 透明, 盒装	HC96551-05	50 片 / 盒	857
qPCR Sealing Film (Pressure-sensitive), Clear	HC96552-01	10 片 / 盒	200
qPCR 封板膜 (压敏), 透明, 盒装	HC96552-05	50 片 / 盒	900

### 4.4 八联排管

产品名称	货号	规格	目录价(¥)
0.1ml qPCR 8-Tube Strip, Optical Caps, Clear	PL08100-01	125 套 / 盒	938
0.1ml qPCR 8 联排管, 平盖, 透明	PL08100-05	125 套 / 盒, 5 盒 / 箱	4198
0.1ml qPCR 8-Tube Strip, Optical Caps, White	PL08101-01	125 套 / 盒	938
0.1ml qPCR 8 联排管, 平盖, 白色	PL08101-05	125 套 / 盒, 5 盒 / 箱	4198
0.2ml qPCR 8-Tube Strip, Optical Caps, Clear	PL08200-01	125 套 / 盒	938
0.2ml qPCR 8 联排管, 平盖, 透明	PL08200-05	125 套 / 盒, 5 盒 / 箱	4198
0.2ml qPCR 8-Tube Strip, Optical Caps, White	PL08201-01	125 套 / 盒	938
0.2ml qPCR 8 联排管, 平盖, 白色	PL08201-05	125 套 / 盒, 5 盒 / 箱	4198
0.1ml 8-Tube Strip, Optical Caps, Clear	HC08100-01	125 套 / 盒	1033
0.1ml PCR 8 联排管, 平盖, 透明	HC08100-05	125 套 / 盒, 5 盒 / 箱	4200
0.1ml 8-Tube Strip, Optical Caps, White	HC08101-01	125 套 / 盒	1033
0.1ml PCR 8 联排管, 平盖, 白色	HC08101-05	125 套 / 盒, 5 盒 / 箱	4650
0.2ml 8-Tube Strip, Optical Caps, Clear	HC08200-01	125 套 / 盒	1033
0.2ml PCR 8 联排管, 平盖, 透明	HC08200-05	125 套 / 盒, 5 盒 / 箱	4200
0.2ml 8-Tube Strip, Optical Caps, White	HC08201-01	125 套 / 盒	1225
0.2ml PCR 8 联排管, 平盖, 白色	HC08201-05	125 套 / 盒, 5 盒 / 箱	5880



## 第五章 核酸电泳

核酸电泳是进行核酸研究的重要手段,可鉴定、定量和纯化核酸片段,是一种不可或缺的实验技术。GenStar提供一系列高品质试剂,可用于核酸凝胶电泳,包括DNA Marker、核酸染料及电泳缓冲液等。

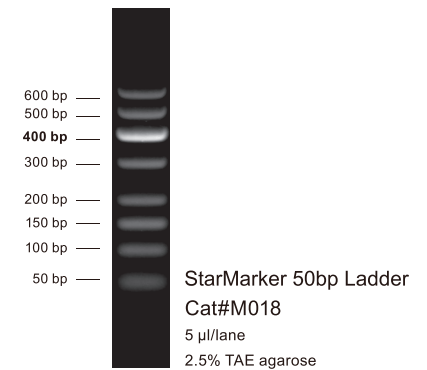
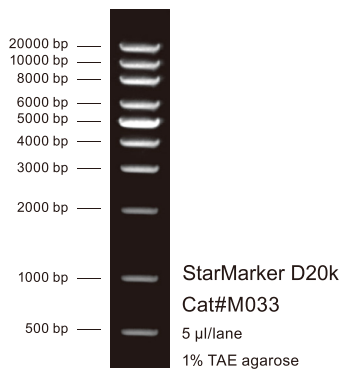
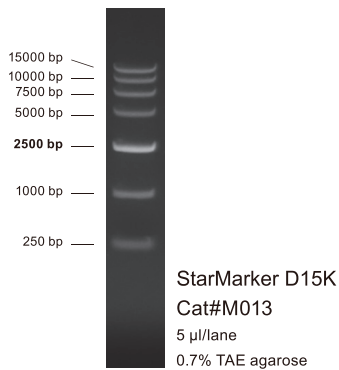
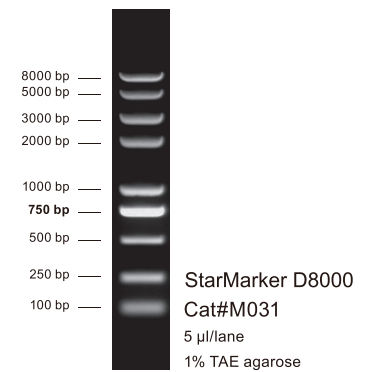
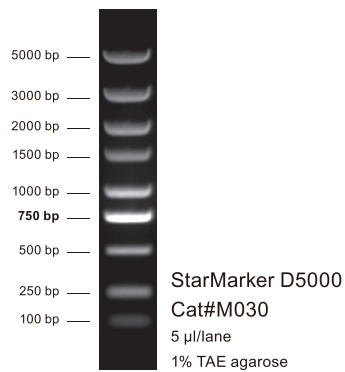
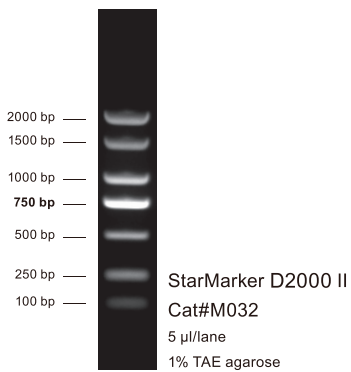
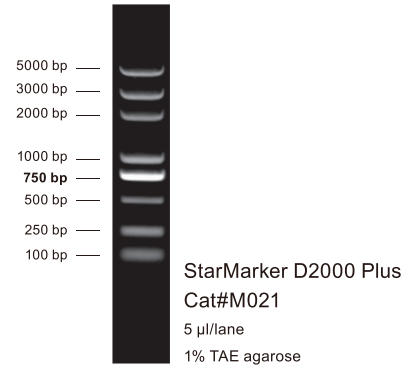
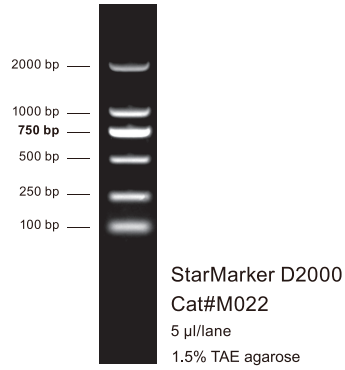
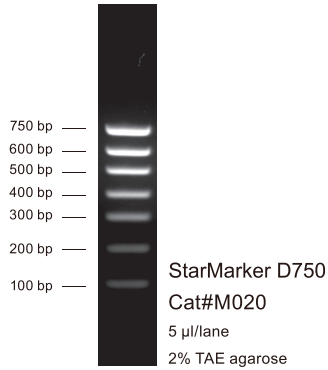
### 目录

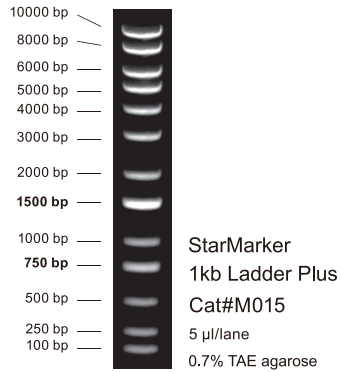
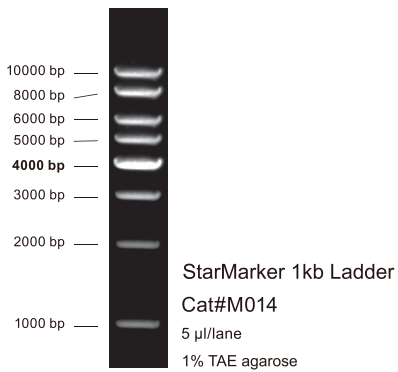
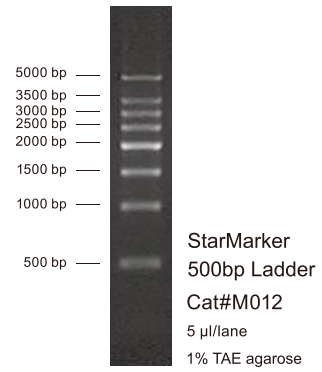
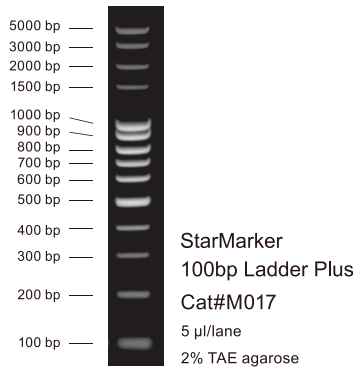
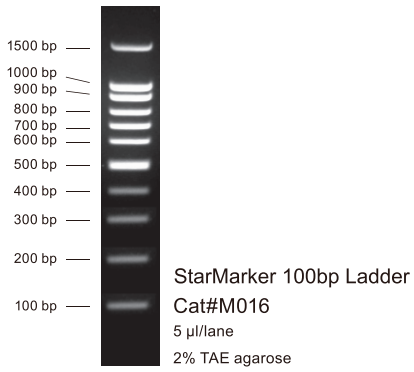
5.1 DNA Markers.....	32
5.2 核酸染料.....	35
5.3 电泳缓冲液.....	35



## 5.1 DNA Markers

DNA Marker 家族成员包括: StarMarker D2000、StarMarker D2000 Plus、StarMarker D5000、StarMarker D15k、StarMarker D20k 和 StarMarker DNA Ladder 系列等。条带大小精准、清晰锐利; 含有加强带, 条带浓度确定, 便于定位和半定量分析; 使用时无需稀释, 直接上样, 方便快捷。





DNA Marker 家族成员条带图



▼ 产品目录

产品名称	货号	规格	目录价(¥)
StarMarker D750 StarMarker D750	M020-01	500 $\mu$ l	120
	M020-05	500 $\mu$ l $\times$ 5	520
	M020-10	500 $\mu$ l $\times$ 10	920
StarMarker D2000 StarMarker D2000	M022-01	500 $\mu$ l	120
	M022-05	500 $\mu$ l $\times$ 5	520
	M022-10	500 $\mu$ l $\times$ 10	920
	M022-100	500 $\mu$ l $\times$ 100	9020
StarMarker D2000 Plus StarMarker D2000 Plus	M021-01	500 $\mu$ l	120
	M021-05	500 $\mu$ l $\times$ 5	520
	M021-10	500 $\mu$ l $\times$ 10	920
	M021-100	500 $\mu$ l $\times$ 100	9020
StarMarker D2000 II StarMarker D2000 II	M032-01	500 $\mu$ l	120
	M032-05	500 $\mu$ l $\times$ 5	520
	M032-10	500 $\mu$ l $\times$ 10	920
StarMarker D5000 StarMarker D5000	M030-01	500 $\mu$ l	120
	M030-05	500 $\mu$ l $\times$ 5	520
	M030-10	500 $\mu$ l $\times$ 10	920
StarMarker D8000 StarMarker D8000	M031-01	500 $\mu$ l	120
	M031-05	500 $\mu$ l $\times$ 5	520
	M031-10	500 $\mu$ l $\times$ 10	920
StarMarker D15k StarMarker D15k	M013-01	500 $\mu$ l	150
	M013-05	500 $\mu$ l $\times$ 5	650
	M013-10	500 $\mu$ l $\times$ 10	1050
StarMarker D20k StarMarker D20k	M033-01	500 $\mu$ l	200
	M033-05	500 $\mu$ l $\times$ 5	900
	M033-10	500 $\mu$ l $\times$ 10	1600
StarMarker 50bp Ladder StarMarker 50bp Ladder	M018-01	500 $\mu$ l	280
	M018-05	500 $\mu$ l $\times$ 5	1180
	M018-10	500 $\mu$ l $\times$ 10	2080
StarMarker 100bp Ladder StarMarker 100bp Ladder	M016-01	500 $\mu$ l	150
	M016-05	500 $\mu$ l $\times$ 5	650
	M016-10	500 $\mu$ l $\times$ 10	1050
StarMarker 100bp Ladder Plus StarMarker 100bp Ladder Plus	M017-01	500 $\mu$ l	150
	M017-05	500 $\mu$ l $\times$ 5	650
	M017-10	500 $\mu$ l $\times$ 10	1050
StarMarker 500bp Ladder StarMarker 500bp Ladder	M012-01	500 $\mu$ l	150
	M012-05	500 $\mu$ l $\times$ 5	650
	M012-10	500 $\mu$ l $\times$ 10	1050
StarMarker 1kb Ladder StarMarker 1kb Ladder	M014-01	500 $\mu$ l	120
	M014-05	500 $\mu$ l $\times$ 5	520
	M014-10	500 $\mu$ l $\times$ 10	920
StarMarker 1kb Ladder Plus StarMarker 1kb Ladder Plus	M015-01	500 $\mu$ l	150
	M015-05	500 $\mu$ l $\times$ 5	650
	M015-10	500 $\mu$ l $\times$ 10	1050

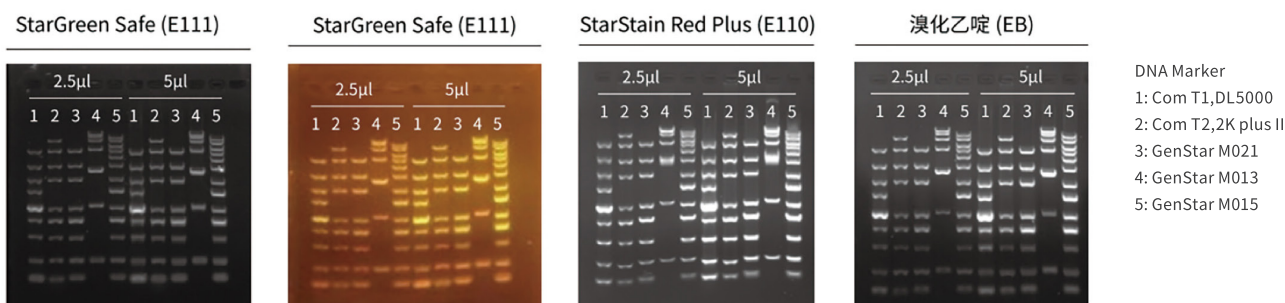


## 5.2 核酸染料

### 【产品特点】

- ☆ **安全无毒**: 无毒、无诱变性, 使用安全
- ☆ **兼容性好**: 适用于不同大小片段的核酸电泳染色, 对核酸迁移率影响很小
- ☆ **灵敏度高**: 其检测灵敏度高于 EB
- ☆ **稳定性高**: 适用于使用微波或其它加热方式制备琼脂糖凝胶
- ☆ **适用范围广**: 适用于琼脂糖凝胶 (E110/E111) 或聚丙烯酰胺凝胶电泳 (E111)

★ 星级推荐: StarStain Red Plus 核酸染料 10,000 × (Cat#E110)  
StarGreen safe 核酸染料 10,000 × (Cat#E111)



不同核酸染料对比图

### ▼ 产品目录

产品名称	货号	规格	目录价(¥)
StarStain Red Plus Nucleic Acid Dye 10,000 ×	E110-01	500 ul	564
StarStain Red Plus 核酸染料 10,000 ×	E110-10	500 ul ×10	5076
StarGreen safe Nucleic Acid Dye 10,000 ×	E111-01	500 ul	395
StarGreen safe 核酸染料 10,000 ×	E111-10	500 ul ×10	3555

## 5.3 电泳缓冲液

产品名称	货号	规格	目录价(¥)
50× Swift DNA Electrophoresis Buffer 50× 快速 DNA 电泳缓冲液	E101-50	500 ml	270
50× TAE DNA Electrophoresis Buffer 50× TAE 电泳缓冲液	E102-50	500 ml	166
10× TBE DNA Electrophoresis Buffer 10× TBE 电泳缓冲液	E103-50	500 ml	166
6× DNA Loading Buffer 6× DNA 电泳上样缓冲液	E106-10	1 ml ×10	160

## 第六章 核酸提取/纯化

GenStar 核酸提取纯化系列产品, 涵盖不同样本DNA/RNA提取试剂盒及配套产品, 充分满足客户多种样本类型、不同应用场景核酸提取需求, 操作简便快速、核酸得率和纯度高、完整性好, 让您轻松获得高质量的核酸分子。

### 目录

6.1 胶回收&片段纯化 .....	37
6.2 质粒DNA提取 .....	38
6.3 基因组DNA提取.....	39
6.4 RNA提取纯化 .....	39
6.5 病毒RNA/DNA共提取 .....	40
6.6 DNA & RNA提取配套产品.....	41



## 6.1 胶回收 & 片段纯化

本试剂盒采用独特的离心吸附柱，既能从 TAE 或 TBE 琼脂糖凝胶中回收 DNA 片段，又能用于直接纯化 PCR 产物，满足多种实验需要。其离心吸附柱可最大吸附 20 $\mu$ g DNA 片段量。整个操作可在 10-15 min 内完成，快速、简便。

StarPrep DNA 纯化 / 胶回收试剂盒回收效率

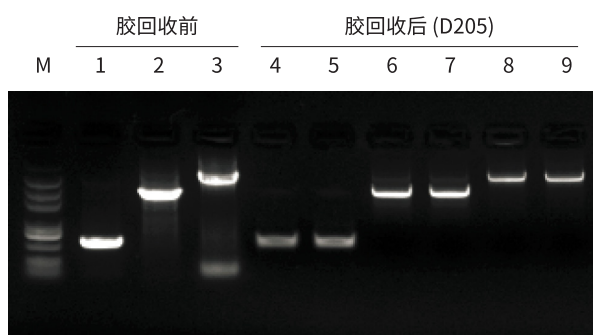
线性 DNA 片段大小	50 bp	100-200 bp	0.2-5 kb	5-10 kb
回收效率	30-50%	50-70%	70-90%	50-70%

注：实际回收率可能因 DNA 片段的大小、初始浓度不同而有差异。

### 【产品特点】

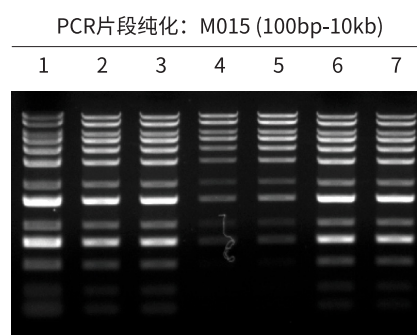
- ☆ **回收效率高**：100bp-10kb 线性双链 DNA 片段回收效率高达 50-90%
- ☆ **回收纯度高**：对引物二聚体的清除率达 70% 以上
- ☆ **适用性广泛**：可从 TAE 或 TBE 琼脂糖凝胶中回收 DNA 片段，又能直接用于 PCR 产物纯化
- ☆ **应用范围广**：回收后的 DNA 可用于酶切、连接、测序、标记、杂交和体外转录等多种分子生物学实验

### ★ 星级推荐：StarPrep DNA 纯化 / 胶回收试剂盒 (Cat#D205)



M: StarMarker D2000 Plus  
1、4、5: 600bp  
2、6、7: 3kb  
3、8、9: 6kb

DNA 片段胶回收前后琼脂糖凝胶电泳图



1: 纯化前片段  
2、3: 对照  
4、5: 纯化后（未加柱平衡液）  
6、7: 纯化后（加柱平衡液）

PCR 产物纯化前后琼脂糖凝胶电泳图

### ▼ 产品目录

产品名称	货号	规格	目录价(¥)
StarPrep DNA Gel Extraction Kit	D205-01	50 rxn	178
StarPrep DNA 纯化 / 胶回收试剂盒	D205-04	200 rxn	640



## 6.3 基因组 DNA 提取

GenStar 基因组 DNA 提取系列产品可从各类新鲜 / 冷冻的动植物组织、血液样本或培养细胞中提取基因组 DNA，只需简单操作，即可提取到纯度高、稳定性好的基因组 DNA。

### 【产品特点】

- ☆ **通用性强**：广泛适用于新鲜或冷冻的动植物组织、细胞、全血及部分多糖多酚植物组织等
- ☆ **安全无毒**：无需酚 / 氯仿等有机溶剂，使用安全方便（Cat#D101 除外）
- ☆ **简便快捷**：操作简单，可在 1 h 内获得高纯度的基因组 DNA
- ☆ **稳定可靠**：提取的 DNA 纯度高，质量稳定可靠，可用于酶切，PCR、文库构建、qPCR 和分子标记等下游实验

### ▼ 产品目录

产品名称	货号	规格	目录价(¥)
StarSpin Universal DNA Kit StarSpin 柱式通用 DNA 提取试剂盒	D133-01	50 rxn	398
StarSpin Plant DNA Kit StarSpin 柱式植物 DNA 提取试剂盒	D135-01	50 rxn	398
StarSpin Blood DNA Kit (0.1-1 ml) StarSpin 柱式血液 DNA 提取试剂盒 (0.1-1 ml)	D136-01	50 rxn	398
StarPrep Solution-based Plant DNA Kit StarPrep 溶液法植物 DNA 提取试剂盒	D101-01	200 rxn	260
StarPrep Fast Solution-based Plant DNA Kit StarPrep 溶液法快速植物 DNA 提取试剂盒	D102-01	50 rxn	260
	D102-04	200 rxn	850

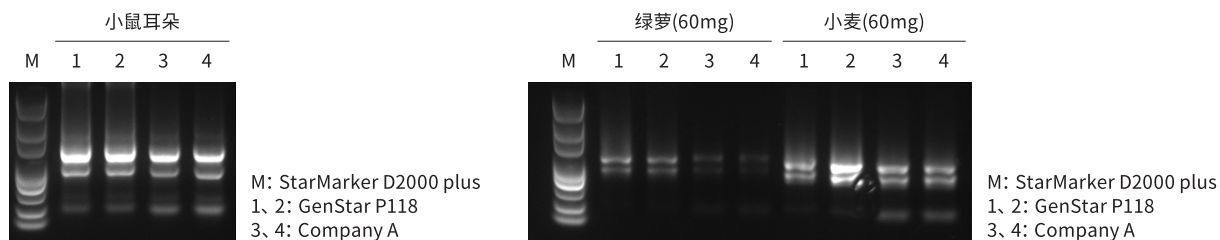
## 6.4 RNA 提取纯化

GenStar RNA 提取纯化系列产品采用了优化的裂解系统和缓冲体系，配合产品中独特的硅胶吸附柱，增强对 RNA 吸附能力，同时可有效去除蛋白质、基因组 DNA、无机盐离子和其它杂质，提取的总 RNA 得率高，纯度高。

### 【产品特点】

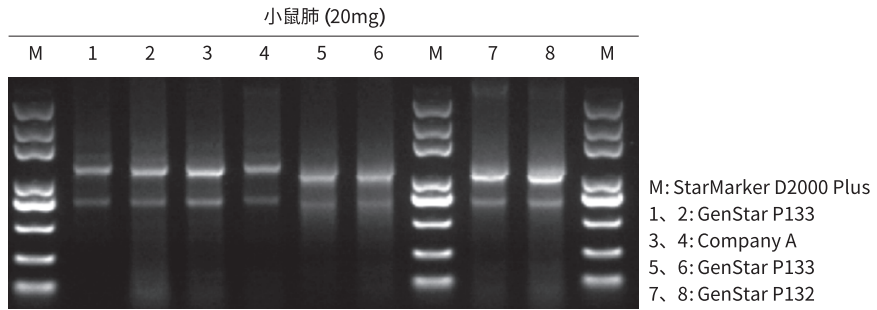
- ☆ **样本广泛**：多款产品满足不同样本类型及多糖多酚等难提植物样本处理需求
- ☆ **简便快捷**：操作简单，一般可在 1h 内获得高纯度 RNA
- ☆ **安全无毒**：无需使用苯酚 / 氯仿等有机溶剂（Cat#P118 除外）
- ☆ **稳定可靠**：提取的 RNA 纯度高，可直接用于 RT-PCR、Northern blot、Dot blot、polyA 筛选、体外翻译、RNase 保护、分子克隆、构建 cDNA 文库等实验

### ★ 星级推荐：总 RNA 提取试剂 (Cat#P118)



GenStar P118 提取动植物组织样本 RNA

★ 星级推荐: StarSpin 柱式动物 RNA 提取试剂盒 (Cat#P133)



GenStar P133 提取小鼠肺 RNA

▼ 产品目录

产品名称	货号	规格	目录价 (¥)
TRIGene Reagent 总 RNA 提取试剂	P118-05	100 ml	298
TRIGene Link RNA Extraction Kit TRIGene RNA 提取伴侣	P119-01	50 rxn	398
StarPure RNA Kit StarPure RNA 提取试剂盒	P120-05	100 rxn	1068
StarSpin Animal RNA Kit StarSpin 柱式动物 RNA 提取试剂盒	P133-01	50 rxn	898
StarSpin Plant RNA Kit (Polysaccharides & Polyphenols-rich) StarSpin 柱式多糖多酚植物 RNA 提取试剂盒	P134-01	50 rxn	998
StarSpin Plant RNA Kit StarSpin 柱式植物 RNA 提取试剂盒	P135-01	50 rxn	898

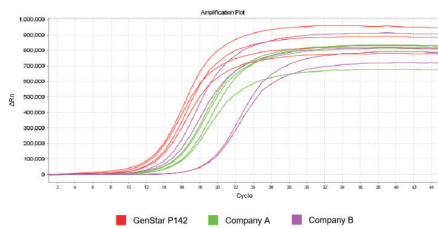
6.5 病毒 RNA/DNA 共提取

本试剂盒采用可以特异性结合病毒 DNA/RNA 的离心吸附柱和专门研制的缓冲液系统, 适用于从 200 µl 体液样本或 20-100 mg 组织样本中快速提取病毒的 DNA/RNA。

【产品特点】

- ☆ **简单快速:** 整个操作过程在 30-45 min 内完成
- ☆ **安全无毒:** 无需酚 / 氯仿等有机试剂
- ☆ **纯度高:** 提取获得的病毒 DNA/RNA 可用于 PCR、RT-PCR、qPCR 和 qRT-PCR 等
- ☆ **适用样本广泛:** 适用于血浆、血清、全血、腹水、脑脊髓液、尿液等体液样本、组织样本、培养细胞上清液、脱落细胞悬浮液等样本类型

★ 星级推荐: StarSpin 柱式病毒 DNA/RNA 提取试剂盒 (Cat#P142)



	噬菌体 -RNA 病毒			
	Sample 1		Sample 2	
GenStar P142	7.54	8.96	10.13	10.02
Company A	11.44	11.2	16.48	16.57
Company B	11.91	12.21	12.87	13.11

GenStar P142 噬菌体 (RNA 病毒, 样品量 2µl) 提取结果, P142 提取效率较同类品牌高

## ▼ 产品目录

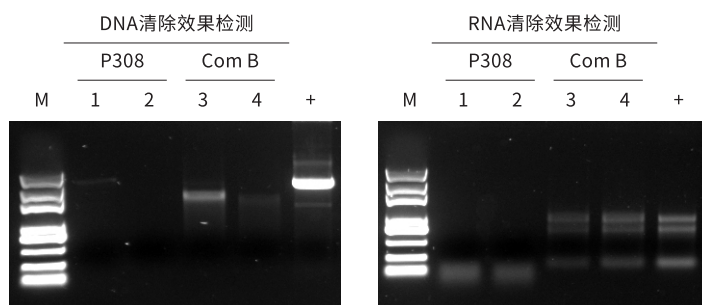
产品名称	货号	规格	目录价(¥)
StarSpin Virus DNA/RNA Kit StarSpin 柱式病毒 DNA/RNA 提取试剂盒	P142-01	50 rxn	698

## 6.6 DNA &amp; RNA 提取配套产品

## ★ 星级推荐：核酸清除剂 (Cat#P308)

## 【产品特点】

- ☆ **快速高效**：5min 即可清除核酸污染，效果显著
- ☆ **使用安全**：无毒无刺激，对仪器设备无腐蚀
- ☆ **适用广泛**：工作台及实验室仪器表面、塑料与玻璃器皿表面、移液器表面以及环境中 DNA 和 RNA 污染等
- ☆ **包装贴心**：配套瓶盖及喷头，可自由组装，适用各种情况，方便运输及使用



GenStar P308 核酸清除效果测试

GenStar P308 在 5min 内可彻底清除 1 $\mu$ g DNA/RNA 核酸，效果明显优于 Com B

## ▼ 产品目录

产品名称	货号	规格	目录价(¥)
RNase A (10mg/ml) RNase A (10mg/ml)	B115-01	1 ml	142
20mg/ml Proteinase K Solution 20mg/ml 蛋白酶 K 溶液	B108-01	1 ml	249
10 $\times$ TE Solution 10 $\times$ TE 溶液	B105-01	10 ml	51
DNA/RNA Cleaner 核酸清除剂	P308-01	300 ml $\times$ 2	298
	P308-03	1 L $\times$ 2	898

## 第七章 分子克隆

分子克隆是分子生物学领域进行体外DNA复制和表达的关键技术。GenStar分子克隆系列产品丰富的种类、匠心的品质、卓越的性能,全方位满足客户分子克隆实验所需,帮助客户轻松解决分子克隆中的各类难题。

### 目录

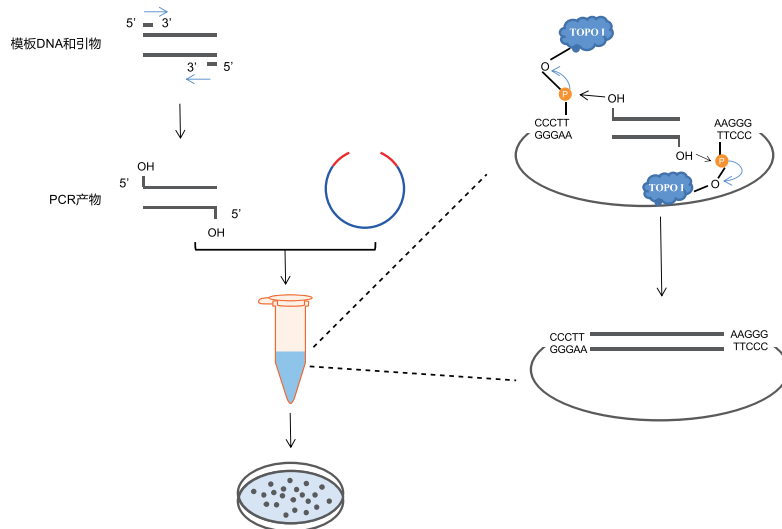
7.1 TOPO克隆 .....	43
7.2 无缝克隆 .....	44
7.3 突变试剂盒 .....	45
7.4 感受态细胞 .....	46
7.5 克隆配套产品 .....	46



## 7.1 TOPO 克隆

TOPO 克隆是通过载体上偶联的拓扑异构酶 I (Topoisomerase I, TOPO I) 实现插入片段的快速克隆, 不同于传统酶切 / 酶连克隆, TOPO 克隆连接效率极高, 克隆阳性率接近 100%。

GenStar TOPO 克隆载体带有自杀基因, 无自连、零背景, 无需蓝白斑筛选, 阳性克隆比例高, 可兼容 T/A 克隆与平末端克隆, 有效连接片段长度可达 10 kb。载体上具有氨苄青霉素 (Amp<sup>r</sup>) 和卡那青霉素 (Kan<sup>r</sup>) 双抗性, 有助于减少卫星菌落, 便于后续挑取阳性克隆。

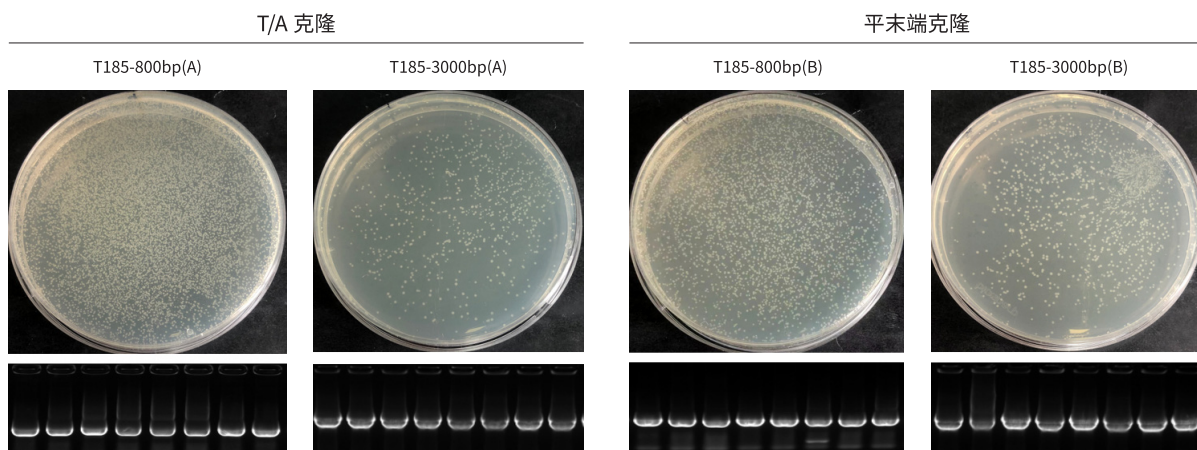


TOPO 克隆原理示意图

### 【产品特点】

- ☆ **兼容范围:** 适用于连接平末端和带 3'-A 的 PCR 产物
- ☆ **反应快速:** 室温 5min 快速连接 DNA 片段
- ☆ **阳性率高:** 载体带有自杀基因, Amp<sup>r</sup>+ Kan<sup>r</sup> 双抗性, 保障克隆阳性率高
- ☆ **简单高效:** 无自连、零背景, 无需蓝白斑筛选

★ 星级推荐: EZ-TA/Blunt 零背景 pTOPO II 克隆试剂盒 (Cat#T185)



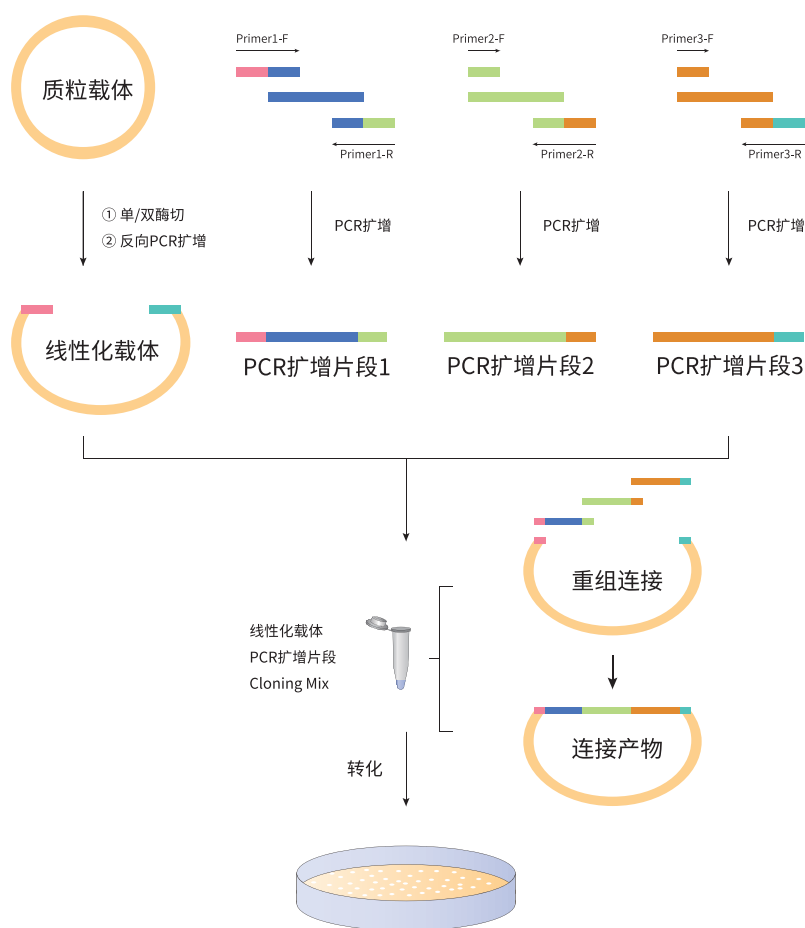
GenStar T185 TOPO 克隆效果

各随机挑取 8 个单克隆, 采用试剂盒自带的 M13 通用引物验证, 克隆阳性率均为 100%

产品名称	货号	规格	目录价(¥)
EZ-TA/Blunt Zero pTOPO II Cloning Kit	T185-20	20 rxn	638
EZ-TA/Blunt 零背景 pTOPO II 克隆试剂盒	T185-100	100 rxn	2798

## 7.2 无缝克隆

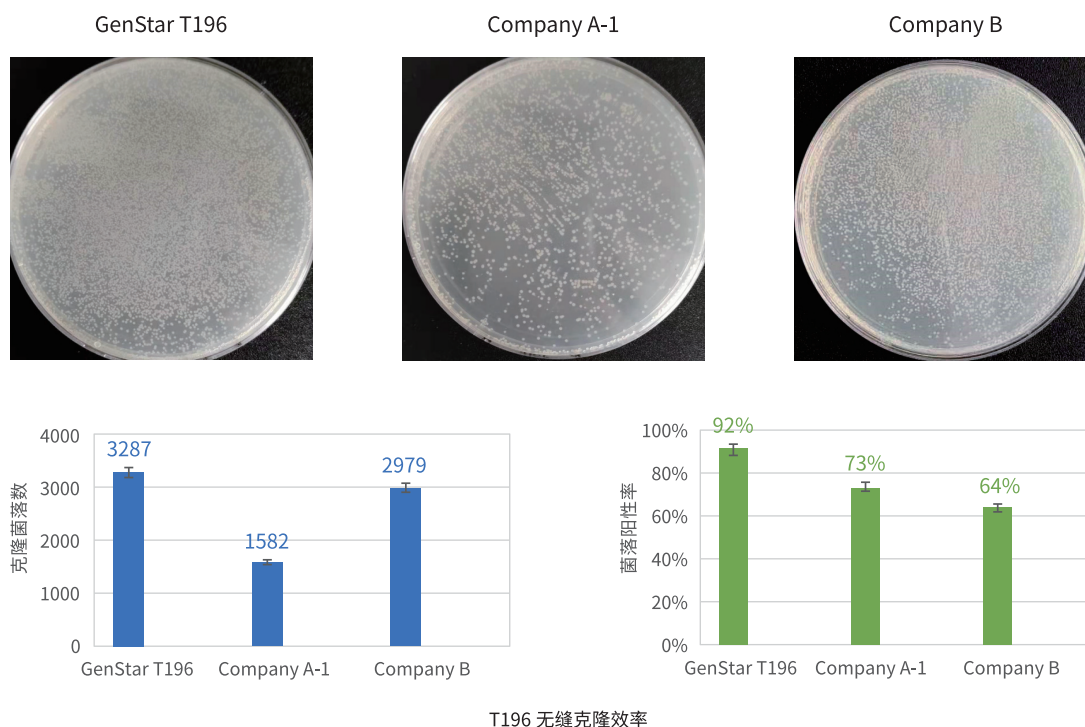
无缝克隆是一种简便、快速、高效的定向克隆技术，不受酶切位点限制，可以在任意载体的任意位置一次插入多个 DNA 片段。仅需在 DNA 片段两端引入与载体克隆位点两端一致的同源序列（16-25bp），即可通过粘性末端的互补配对实现 DNA 片段的定向重组，克隆阳性率可达 95% 以上。



无缝克隆原理示意图

### 【产品特点】

- ☆ **简便**：一管化设计，操作简便
- ☆ **快速**：EZ-HiFi 无缝克隆试剂盒 (Cat#T196) 5-15min 即可完成连接反应，EZ-Flex 无缝克隆试剂盒 (Cat#T197) 30min 即可完成连接反应
- ☆ **高效**：连接效率高，克隆阳性率可达 95% 以上
- ☆ **灵活**：不受载体末端和酶切位点限制，单片段克隆和多片段克隆均适用



#### ▼ 产品目录

产品名称	货号	规格	目录价(¥)
EZ-HiFi Seamless Cloning Kit EZ-HiFi 无缝克隆试剂盒	T196-20	20 rxn	660
	T196-100	100 rxn	2805
EZ-Flex Seamless Cloning Kit EZ-Flex 无缝克隆试剂盒	T197-20	20 rxn	660
	T197-100	100 rxn	2805

### 7.3 突变试剂盒

GenStar StarMut 随机突变试剂盒 (Cat#T115) 基于易错 PCR (error-prone PCR) 技术, 向目的基因中引入随机突变密码子, 操作简便快速, 优化的产品组分确保突变谱均衡, 不产生突变热点。带有随机突变的 PCR 产物连接到表达载体中, 构建随机突变文库, 然后转化入表达宿主中, 进行突变文库的筛选。随机突变文库的构建和筛选被广泛应用于 DNA 序列、基因功能、蛋白质结构和功能的优化和分析。

#### 【产品特点】

- ☆ **简便快速:** 操作简便, 大大减少了由于多次加样可能造成的污染
- ☆ **均衡突变:** 优化的产品组分克服了 Taq DNA polymerase 偏爱以 GC 突变为主的缺点, 使突变谱相对均衡
- ☆ **频率可控:** 调整 StarMut Enhancer 的用量轻松改变突变频率, 可实现 1-18 个碱基/kb 的有效突变
- ☆ **适用范围:** 适用于扩增低于 4kb、GC 含量在 70% 以下的 DNA 片段

#### ▼ 产品目录

产品名称	货号	规格	目录价(¥)
StarMut Random Mutagenesis Kit StarMut 随机突变试剂盒	T115-01	20 rxn	1469

## 7.4 感受态细胞

产品名称	货号	规格	目录价(¥)
DH5 $\alpha$ Chemically Competent Cells DH5 $\alpha$ 化学感受态细胞	S101-02	100 $\mu$ l $\times$ 10	143
TOP10 Chemically Competent Cells TOP10 化学感受态细胞	S102-02	100 $\mu$ l $\times$ 10	143
BL21 (DE3) Chemically Competent Cells BL21 (DE3) 化学感受态细胞	S106-02	100 $\mu$ l $\times$ 10	320

## 7.5 克隆配套产品

产品名称	货号	规格	目录价(¥)
20mg/ml X-Gal Solution 20mg/ml X-Gal 溶液	B118-01 B118-10	1 ml 1 ml $\times$ 10	72 720
100mM IPTG Solution 100mM IPTG 溶液	B117-10	1 ml $\times$ 10	180
100mg/ml Ampicillin Solution (Amp) 100mg/ml 氨苄青霉素溶液	B116-10	1 ml $\times$ 10	180
34mg/ml Chloramphenicol Solution (Cm) 34mg/ml 氯霉素溶液	B119-10	1 ml $\times$ 10	180
100mg/ml Kanamycin Solution (Kan) 100mg/ml 卡那霉素溶液	B120-10	1 ml $\times$ 10	180

## 第八章 高通量测序建库

适中的文库浓度决定了高通量测序实验的成败，因此文库定量是高通量测序上机前非常重要的一步。Qubit定量是文库量的主流方法之一，其优点是快速、直观。GenStar StarQuant系列产品，包含两款Qubit双链DNA高敏检测试剂盒，轻松快速实现NGS文库的精准定量。

### 目录

8.1 核酸定量.....	48
---------------	----



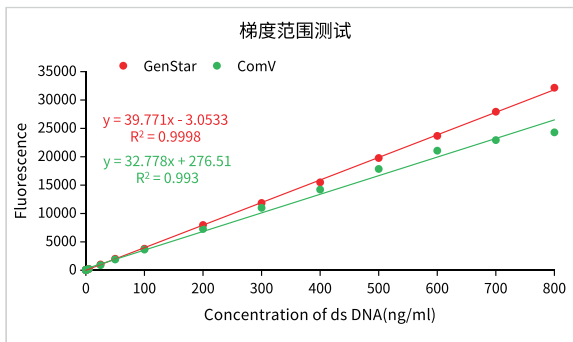
## 8.1 核酸定量

GenStar Qubit dsDNA 定量试剂盒，是利用荧光染料特异性结合在 dsDNA 分子上发出的荧光信号强度与 dsDNA 浓度呈正比的原理，通过测定荧光强度得到 dsDNA 的浓度。具有操作简便、灵敏度高、精确度高等特点，测定结果准确可靠。

### 【产品特点】

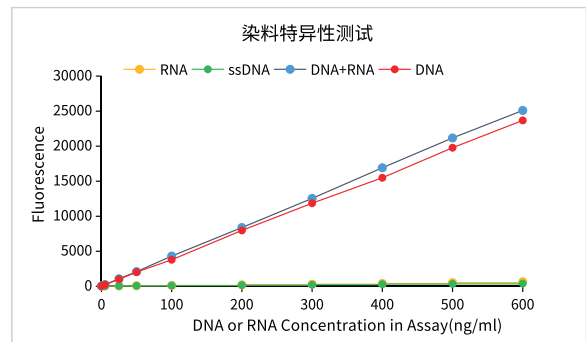
- ☆ **简便快速**：待测样品与工作液混匀，室温避光孵育 2min 即可
- ☆ **灵敏度高且检测范围宽**：可对浓度为 10 pg/μl 到 100 ng/μl 的 dsDNA 样本进行精确定量
- ☆ **特异性好**：特异性检测 dsDNA，不受样本中 RNA、ssDNA、蛋白质等分子影响
- ☆ **抗干扰能力强**：对游离的核苷酸、盐、蛋白质、溶剂、去污剂等常见污染有很好的抗干扰能力
- ☆ **稳定性好**：精选优异的染料，可在室温维持稳定的荧光强度，定量准确

### ★ 星级推荐：StarQuant 1×dsDNA 高敏检测试剂盒 (Cat#Q101)



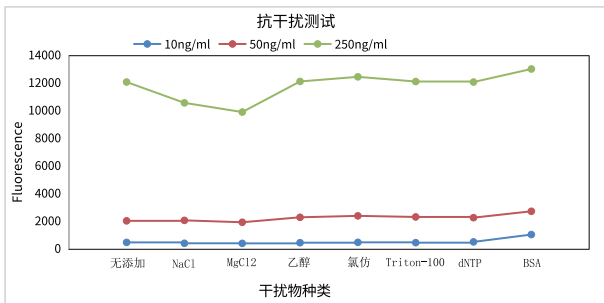
GenStar Q101 检测范围宽且灵敏度高

将标准品稀释为不同浓度梯度 (1pg/μl 到 160ng/μl) 进行定量检测，GenStar Q101 较 Com V 荧光信号值和 dsDNA 浓度线性关系更好，且荧光信号更强



染料特异性好

ssDNA、RNA 检测不到荧光信号，dsDNA+RNA(1:1) 与 dsDNA 荧光信号值无显著差异，说明染料特异性结合 dsDNA

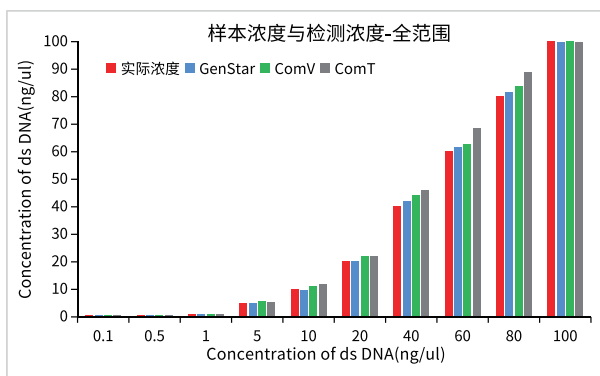
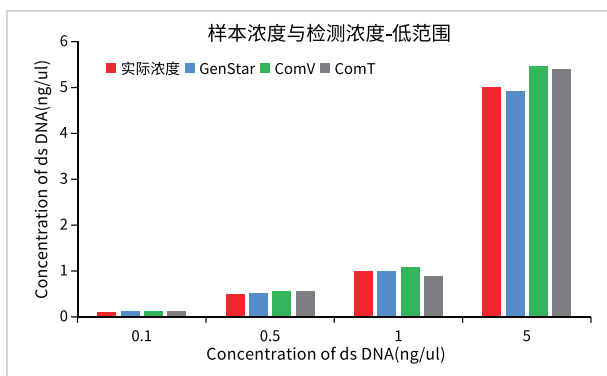


抗干扰能力强

在 10ng/ml、50ng/ml、250ng/ml 的 dsDNA 样本中分别加入不同的干扰素，与对照相比，检测结果无显著差异

种类	名称	终浓度	结果
Sodium chloride	NaCl	50 mM	正常
Magnesium chloride	MgCl <sub>2</sub>	5 mM	正常
Ethanol	乙醇	1%	正常
Chloroform	氯仿	1%	正常
Triton™ X-100		0.01%	正常
dNTPs		100 μM	正常
BSA		10 mg/mL	正常
RNA		1x	正常
ssDNA		1x	正常





检测准确性高

将检测浓度与标准品实际浓度对比，GenStar Q101 较 Company V 和 Company T 准确性更高

#### ▼ 产品目录

产品名称	货号	规格	目录价(¥)
StarQuant 1×dsDNA HS Assay Kit	Q101-01	100 T	498
StarQuant 1×dsDNA 高敏检测试剂盒	Q101-05	500 T	2298

## 第九章 体外转录

基因体外转录是以DNA为模板,在无细胞体系中一系列转录因子的作用下经RNA聚合酶合成RNA的过程。T7 RNA聚合酶是一种高度特异性识别 T7 启动子序列的 DNA 依赖的 5'→3' RNA 聚合酶。该酶以含有 T7 启动子序列的单链或双链 DNA 为模板, NTP 为底物,合成与启动子下游的单链 DNA 或双链 DNA 模板链互补的 RNA。

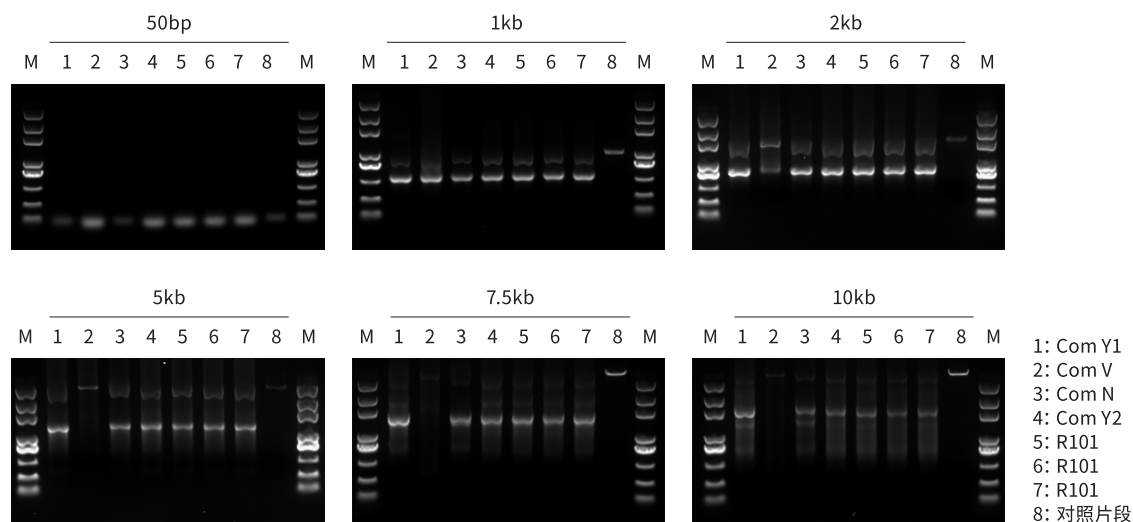
### 目录

9.1 T7 RNA聚合酶 .....	51
---------------------	----



## 9.1 T7 RNA 聚合酶

GenStar T7 RNA 聚合酶是大肠杆菌重组表达来源的噬菌体 T7 RNA 聚合酶，双链线性平末端或 5' 突出末端 DNA 均可作为 T7 RNA 聚合酶的底物模板，因此线性质粒、PCR 产物均可用作体外合成 RNA 的模板。GenStar T7 RNA 聚合酶可用于合成加帽的 mRNA、RT-qPCR 的 RNA 标准模板和单链 RNA，包括 mRNA、lncRNA、siRNA、gRNA 等各类 RNA 的前体，及标记或未标记 RNA 探针。



GenStar R101 合成 RNA 能力测试

R101 长片段、短片段合成能力均很强，Com Y1 短片段合成能力较差，Com V 长片段合成能力较差，可见 R101 较 Com Y1、Com V 适用性更广泛。

### ▼ 产品目录

产品名称	货号	规格	目录价(¥)
T7 RNA polymerase(50 U/μl)	R101-01	5,000 U	468
T7 RNA 聚合酶 (50 U/μl)	R101-05	25,000 U	2098

## 第十章 修饰酶

GenStar有多种类型、多种规格的修饰酶、试剂盒可供选择,具有活性高、效率高、性能稳定等特点。

### 目录

10.1 UDG .....	53
10.2 全能核酸酶 .....	54
10.3 DNA连接酶 .....	55



## 10.1 UDG

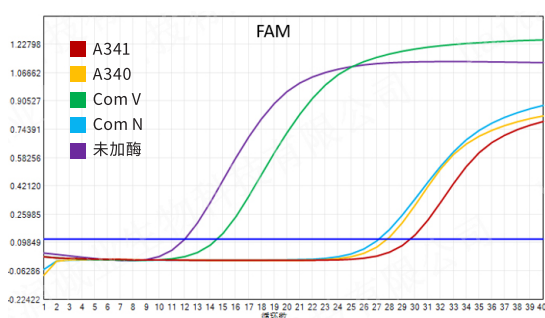
大肠杆菌来源的重组尿嘧啶 DNA 糖基化酶 (UDG)，可催化水解含有尿嘧啶的 DNA 链和糖磷酸骨架的 N-糖苷键，释放游离尿嘧啶。可用于消除 PCR 或 qPCR 反应中的残余污染物，去除单链或双链 DNA 尿嘧啶碱基。

### ★ 星级推荐：热敏型尿嘧啶 DNA 糖基化酶 (UDG) (Cat#A341)

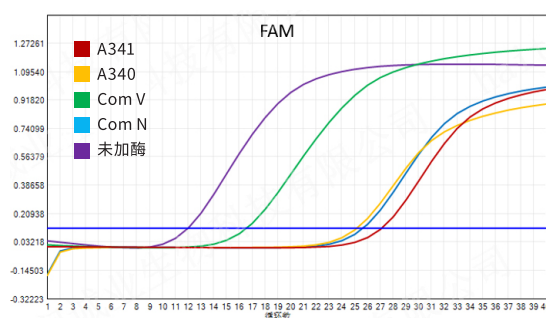
☆ **简便快速**：室温反应 5-10min 即可降解含 dU PCR 产物，50°C 失活

☆ **防污染**：适合反转录一步法防污染扩增

UDG处理条件: 25°C, 30s



UDG处理条件: 25°C, 2min



GenStar A341 消化能力测试

以含 UTP mix 扩增猪瘟产物为底物，用热敏型 UDG 酶消化后进行 qPCR 扩增检测。A341 较 Com V 消化效果好，与 Com N 消化效果相当。

### ▼ 产品目录

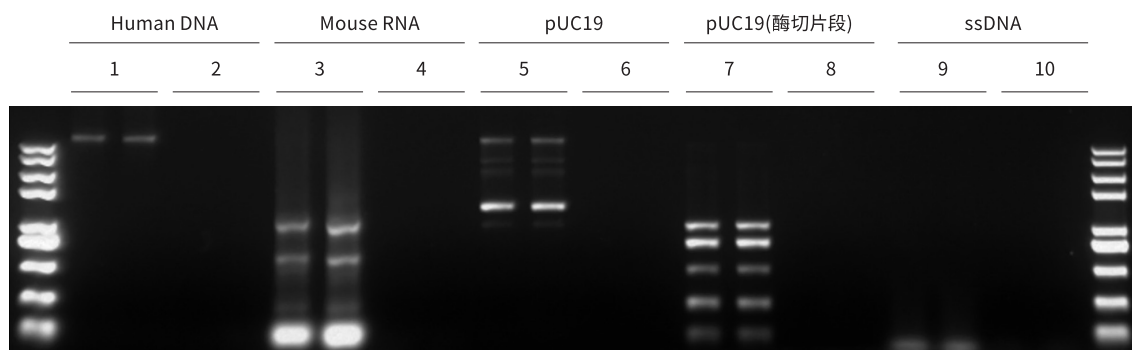
产品名称	货号	规格	目录价(¥)
Uracil DNA Glycosylase (UDG)	A340-01	500 U	198
尿嘧啶 DNA 糖基化酶 (UDG)	A340-10	5,000 U	1868
Uracil DNA Glycosylase (UDG), heat-labile	A341-01	100 U	438
热敏型尿嘧啶 DNA 糖基化酶 (UDG)	A341-05	500 U	1968

## 10.2 全能核酸酶

全能核酸酶是来自粘质沙雷氏菌，经基因工程改造的核酸内切酶，能降解所有的 DNA（包括双链、单链、线性和环状）和 RNA，而不会降解蛋白质，具有很高的特异性。

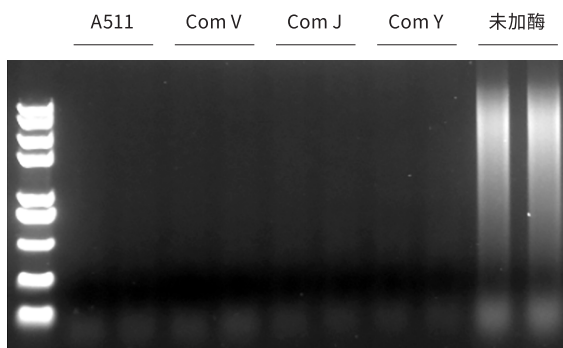
### 【产品特点】

- ☆ **降解核酸彻底**：将核酸消化成 3-5 个碱基长度的核苷酸片段
- ☆ **适用性广**：可降解 DNA 和 RNA，以及单链、双链、环化的 DNA
- ☆ **活性高**：是 DNase I 活性的 34 倍
- ☆ **耐受多种实验条件**：少量 SDS、盐酸胍、尿素等干扰试剂都不影响其稳定性和消化活性



1、3、5、7、9: 未加全能核酸酶      2、4、6、8、10: 加入2.5U全能核酸酶

GenStar A511 对不同类型核酸消化效果均较好



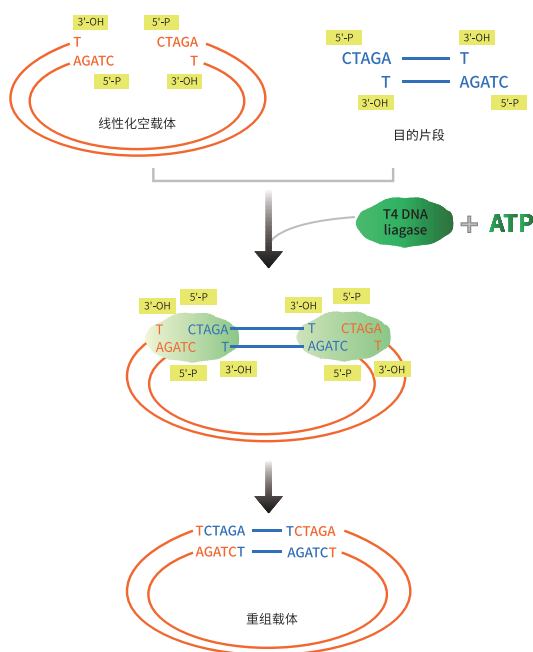
GenStar A511 去除细菌裂解液核酸能力鉴定，加入全能核酸酶样品的基因组 DNA 被降解为小片段

### ▼ 产品目录

产品名称	货号	规格	目录价(¥)
Benzo Nuclease	A511-01	25,000 U	368
全能核酸酶	A511-04	100,000 U	1338

## 10.3 DNA 连接酶

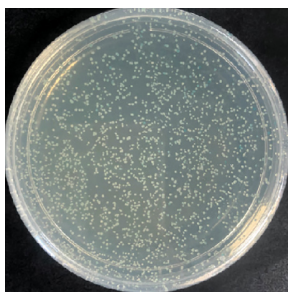
T4 DNA 连接酶可催化双链 DNA/RNA 的 5'-P 末端和 3'-OH 末端之间形成磷酸二酯键，使两个相邻的核苷酸连接起来，在 DNA 重组和修复中起着重要作用。



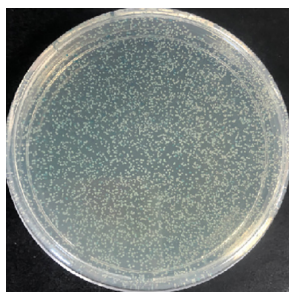
T4 DNA 连接酶工作原理示意图 (以单酶切粘性末端连接为例)

### 【产品特点】

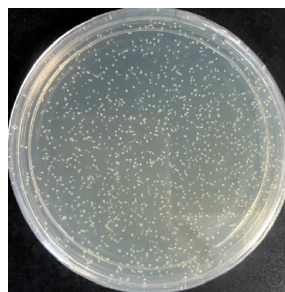
- ☆ **简便快速**: 室温孵育 5-10min 即可完成粘性末端的连接，平末端或单碱基突出末端 15min (Cat#A502) / 2h (Cat#A501) 即可连接
- ☆ **连接效率高**: 粘性末端、平末端、单碱基突出末端连接效率都非常高
- ☆ **应用场景广泛**: 常规克隆、NGS 文库构建、Adaptor 连接、复杂结构 DNA 片段与载体快速高效连接



GenStar A501



GenStar A502



Company N

T/A 克隆连接效率对比，室温 (25°C) 连接 5min  
GenStar A502 较 Company N 连接效率高

### ▼ 产品目录

产品名称	货号	规格	目录价(¥)
T4 DNA Ligase	A501-01	20,000 U	138
T4 DNA 连接酶	A501-05	20,000 U×5	568
Rapid DNA Ligation Kit	A502-01	50 rxn	568
DNA 快速连接试剂盒	A502-04	200 rxn	2038

## 第十一章 样本采集和保护

样本采集与保护是得到有用的数据、正确可靠的结论的重要前提。一方面防止样本被污染并确保样本的特征性和稳定性,另一方面针对不同的样本、不同分析项目及分析方法,要采用适当的样本采集与保护方式,为获得高质量样本提供保障。

### 目录

11.1 样本RNA保护 .....	57
11.2 病毒DNA/RNA保护 .....	57



## 11.1 样本 RNA 保护

StarRNA 组织 RNA 稳定剂是一种在较高温度下保存组织 RNA 样本的无毒溶液，高效抑制 RNase 的活性，保持 RNA 的完整性。可代替液氮、干冰适用于野外和临床样品的大规模采集，操作简便、方便运输，且适用于任何 RNA 提取试剂盒。

保存温度	最长存放时间	
	组织	病毒样品
37°C	一天	一月
18-25°C	一周	一月
2-8°C	一月	一月
-20°C或 -80°C	长期	长期

常见组织 / 病毒在 P301 中存放时间与存放温度关系表

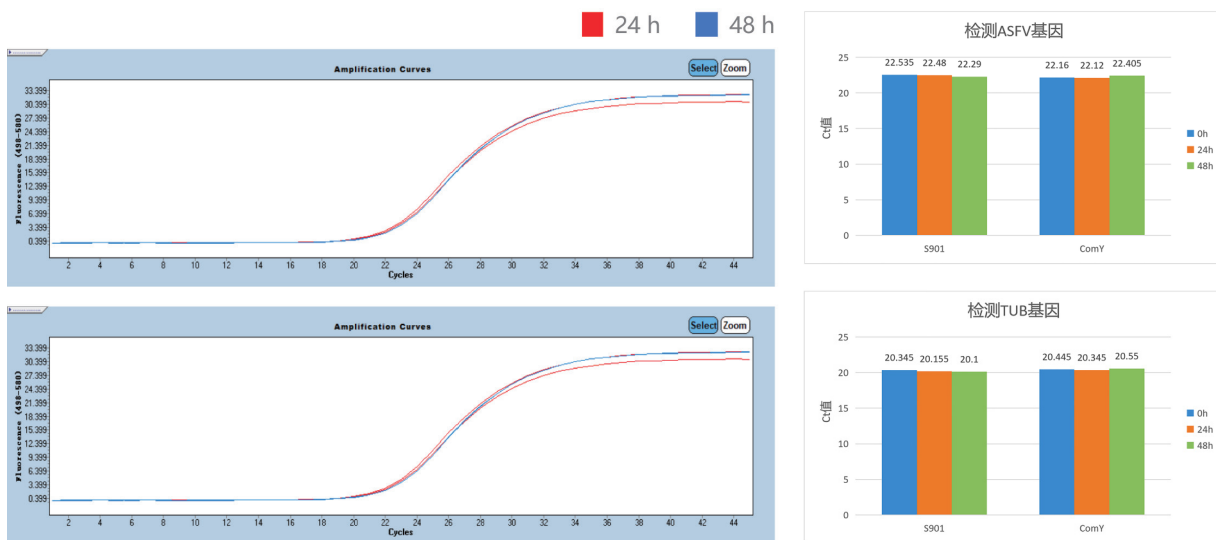
产品名称	货号	规格	目录价(¥)
StarRNA Tissue Stabilizer StarRNA 组织 RNA 稳定剂	P301-10	100 ml	476

## 11.2 病毒 DNA/RNA 保护

GenStar 病毒样本 DNA/RNA 保存液适用于各种常见病毒拭子、液体样品的采集和常温运输，保证病毒核酸在 -20°C 长期稳定保存或在室温一周内不降解，为获得下游实验所需的高质量核酸提供可靠保障。

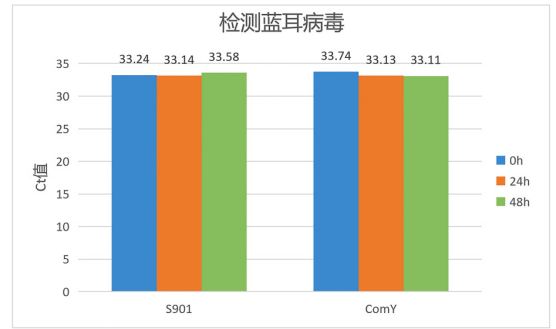
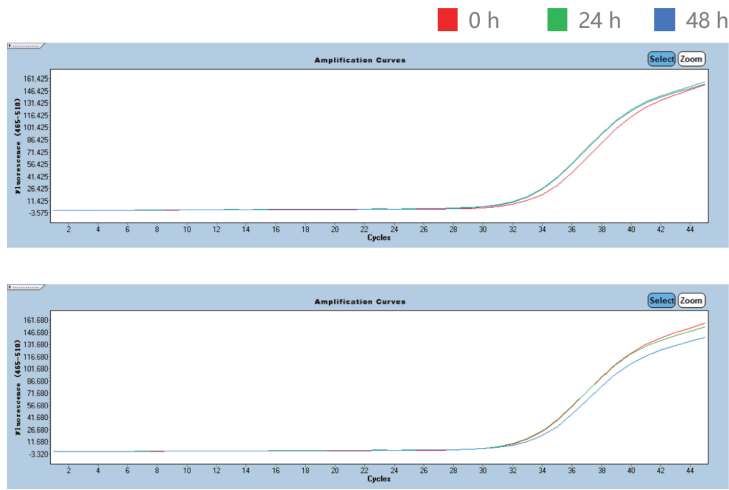
### 【产品特点】

- ☆ **使用安全**：保存液中的胍盐成分可以快速灭活呼吸道病原体，使病毒失去感染性
- ☆ **稳定性好**：病毒样本核酸可在 -20°C 长期稳定保存或在室温保存一周内不降解
- ☆ **结果可靠**：保存液中含有 DNase/RNase 抑制性成分，以保证核酸的完整，杜绝假阴性结果
- ☆ **适用性广**：适用于 DNA/RNA 病毒各类拭子、液体样品的采集、保存及运输



GenStar S901 可稳定保存 DNA 病毒（非洲猪瘟）样本

S901 保存的非洲猪瘟组织于 37°C 下分别保存 24h、48h，与对照（37°C 保存 0h）相比，稳定性无差异



GenStar S901 可稳定保存 RNA 病毒（猪蓝耳）样本

S901 保存的猪蓝耳组织与 37°C 下分别保存 24h、48h，与对照（37°C 保存 0h）相比，稳定性无差异

产品名称	货号	规格	目录价(¥)
Inactivated Virus Sample Stabilizer 病毒样本 DNA/RNA 保存液 (灭活型)	S901-10	100 ml	198



## 第十二章 宿主残留检测

宿主残留DNA是指可能存在于生物制品中的来自宿主细胞的DNA片段。宿主残留DNA由于可能存在免疫原性、感染性以及致瘤性等安全问题,成为生物制品关键质控指标。

GenStar自主研发了宿主残留DNA检测试剂盒,能专一快速的检测重组蛋白药物、病毒类疫苗、细胞治疗和基因治疗等生物制品的中间品、半成品和成品中宿主细胞DNA残留量,最低检测限可达fg水平,具有灵敏、特异、准确、快速等优点。

### 目录

12.1 E.coli 残留检测.....	60
12.2 CHO 残留检测.....	61

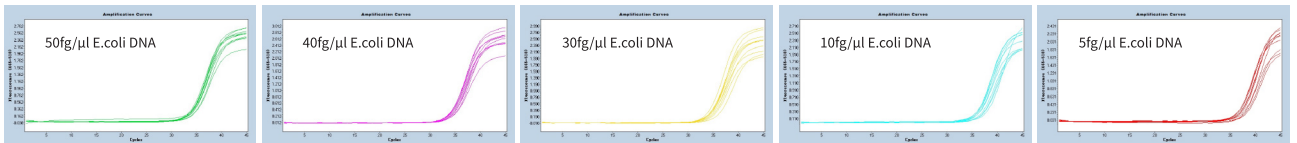


## 12.1 E.coli 残留检测

E.coli 残留 DNA 检测试剂盒 (Cat#A801) 利用 TaqMan 荧光探针 qPCR 检测原理, 1 小时内即可对重组蛋白、抗体、疫苗等生物制品中 E.coli 残留 DNA 快速定量。可兼容 LC480、ABI7500、CFX96 等多款 qPCR 仪器。

### 【产品特点】

- ☆ **灵敏度高:** 最低检测限为 30fg/μl
- ☆ **准确性高:** DNA 参考品与国家标准物质标曲基本无偏差, 检测值 CV < 5%
- ☆ **重复性好:** 重复性 CV 值 < 5%, 实验结果重复性好
- ☆ **特异性强:** 特异性检测 E.coli DNA, 与其它细胞系无交叉反应
- ☆ **稳定性好:** 冻融稳定性、加速稳定性良好

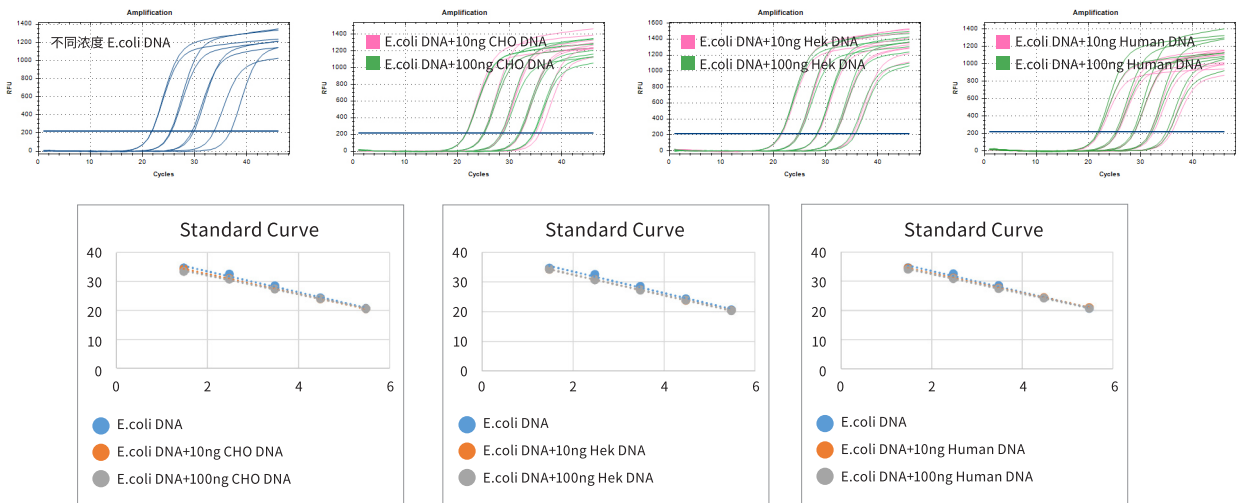


重复次数	1	2	3	4	5	6	7	8	9	10	均值	标准差	CV%
50fg/ul	34.31	34.14	33.81	34.58	33.74	33.83	34.28	33.8	33.92	33.52	33.99	0.32	0.95%
40fg/ul	34.53	33.9	33.95	34.5	33.78	34.09	34.81	34.33	33.97	33.82	34.17	0.35	1.03%
30fg/ul	35.67	34.3	34.02	34.19	34.28	34.64	34.84	34.77	33.73	34.5	34.49	0.54	1.55%
10fg/ul	35.85	35.66	35.67	35.73	37.74	36.14	36.66	36.27	35.85	36.75	36.23	0.66	1.82%
5fg/ul	37.47	36.18	36.26	36.62	37.12	36.78	37.61	36.94	36.86	37.66	36.95	0.52	1.41%

### A801 最低检测限

检测浓度梯度为 50fg/μl、40fg/μl、30fg/μl、10fg/μl、5fg/μl E.coli DNA, 每个浓度梯度设置 10 个重复。

30fg/μl 及以上浓度 10 个重复 Ct 值 CV < 5%, 即 A801 最低检测限可达 30fg/μl



### A801 抗干扰能力测试

在浓度为 300pg/μl、30pg/μl、3pg/μl、300fg/μl、30fg/μl 的 E.coli DNA 中分别加入 10ng/100ng CHO、Hek 和 Human DNA 作为干扰 DNA, 结果显示干扰组与对照组基本重合, 可见 A801 特异性很强, 不同细胞系间无交叉反应, 结果更准确



## ▼ 产品目录

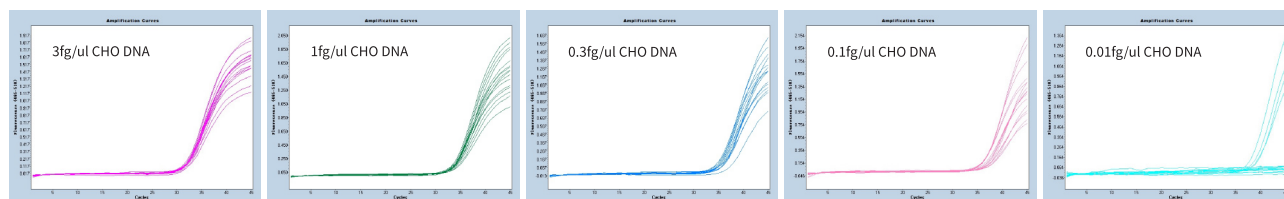
产品名称	货号	规格	目录价(¥)
E.coli Residue DNA Detection Kit (qPCR) E.coli 残留 DNA 检测试剂盒 (荧光 PCR 法)	A801-10	100 T	13698

## 12.1 CHO 残留检测

CHO 残留 DNA 检测试剂盒 (Cat#A802) 利用 TaqMan 荧光探针 qPCR 检测原理, 1.5 小时内即可对生物制品中 CHO 残留 DNA 快速定量, DNA 降解程度不影响检测结果。该试剂盒可兼容 LC480、ABI7500、CFX96 等多款 qPCR 仪器。

## 【产品特点】

- ☆ **灵敏度高**: 最低检测限为 0.3fg/μL
- ☆ **准确性高**: DNA 参考品与国家标准物质标曲基本无偏差, 检测值 CV < 5%
- ☆ **重复性好**: 重复性 CV 值 < 10%, 实验结果重复性好
- ☆ **特异性强**: 特异性检测 CHO DNA, 与其它细胞系无交叉反应
- ☆ **稳定性好**: 冻融稳定性、加速稳定性很好

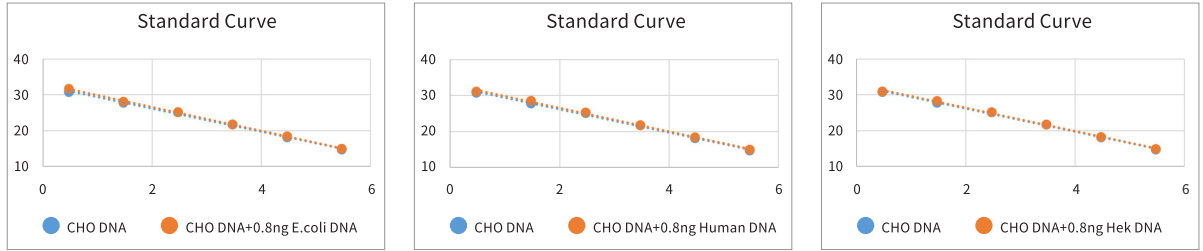
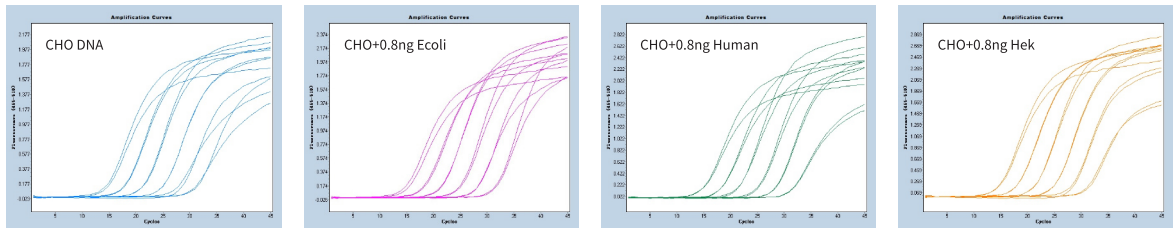


重复次数	1	2	3	4	5	6	7	8	9	10	11	12	13	14	15	16	均值	标准差	CV%	
3fg/μl	31.92	32.16	32.13	32.06	31.98	32.14	31.87	32.48	32	32.02	32.15	32.24	32.32	32.16	32.19	32.31	32.13	0.1585	0.49	
1fg/μl	34.02	33.72	34.07	33.88	33.96	33.86	33.78	34.29	34.23	33.98	33.75	33.99	34.28	33.98	33.73	34.25	33.99	0.1964	0.58	
0.3fg/μl	36.26	35.5	35.58	35.55	36.19	34.95	35.86	36.8	35.27	35.36	35.15	35.52	35.06	34.82	35.87	35.94	35.61	0.5285	1.48	
0.1fg/μl	36.65	36.63	36.68	36.97	37.71	37.14	36.93	37.76	37.16	36.95	37.5	36.8	36.03	36.18	36.05	36.27	36.84	0.5426	1.47	
0.01fg/μl	40	/	/	/	/	/	/	/	/	40	39.26	35.03	38.22	/	/	/	/	38.5	2.0735	5.39

A802 最低检测限

检测浓度为 3fg/μl、1fg/μl、0.3fg/μl、0.1fg/μl、0.01fg/μl CHO DNA, 每个浓度梯度设置 16 个重复。

0.3fg/μl 及以上浓度 16 个重复 Ct 值 CV < 5%, 即 A802 最低检测限可达 0.3fg/μl



A802 抗干扰能力测试

在不同浓度 CHO DNA 中分别加入 0.8ng E.coli、Human、Hek 干扰 DNA，干扰组与对照组基本重合，未见干扰。

可见 A802 特异性很强，不同细胞系间无交叉反应，结果更准确

▼ 产品目录

产品名称	货号	规格	目录价(¥)
CHO Residue DNA Dection Kit (qPCR) CHO 残留 DNA 检测试剂盒 (荧光 PCR 法)	A802-10	100 T	9998



## Part 2. 蛋白相关产品



## 第一章 蛋白电泳&分析

蛋白电泳是蛋白质分子在以聚丙烯酰胺凝胶 (PAGE) 作为支持介质的电场中迁移的现象。蛋白电泳有两种形式:非变性聚丙烯酰胺凝胶电泳 (Native-PAGE) 和 SDS-聚丙烯酰胺凝胶电泳 (SDS-PAGE)。Native-PAGE 是根据蛋白质分子的电荷、形状和大小来分离的。蛋白质结合 SDS 后可以屏蔽蛋白质本身电荷的影响,形成棒状结构,因此 SDS-PAGE 蛋白质分子迁移率仅取决于蛋白质的分子质量大小,与已知分子质量的标准品 (蛋白 Marker) 比较,即可测定蛋白质的表观分子量。

### 目录

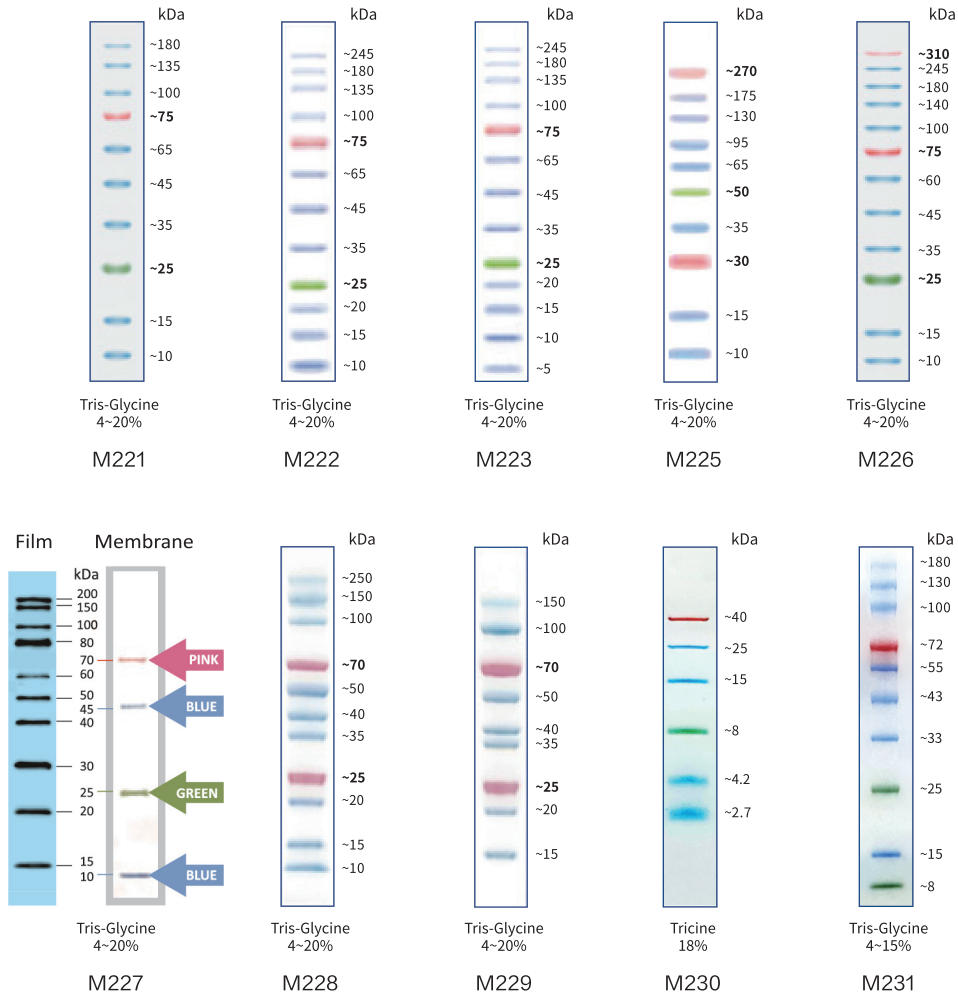
1.1 蛋白Markers .....	65
1.2 蛋白凝胶制备 .....	67
1.3 蛋白电泳配套产品 .....	67
1.4 蛋白样品制备 .....	68
1.5 蛋白定量试剂 .....	68
1.6 Western blot相关产品 .....	69
1.7 糖生物学 .....	69



## 1.1 蛋白 Markers

GenStar 预染彩色蛋白 Marker，具有宽泛的分子量范围、精准的指示位置、清晰的条带示踪，人性化的色彩设计，带您体验蛋白 Marker 缤纷色彩。

- ☆ **宽分子量范围：**高、中、低分子量范围 Marker 可供选择，适用性广泛
- ☆ **条带分明：**条带清晰、锐利，便于指示蛋白位置和大小
- ☆ **便于示踪：**多色预染且 Western 转膜效果好，利于监测电泳进程及转膜效率
- ☆ **使用方便：**即用型，无需煮沸、稀释或添加还原剂



GenStar 蛋白 Marker 家族

产品名称	货号	规格	目录价(¥)
StarRuler Color Prestained Protein Marker (10-180kDa) StarRuler 彩色预染蛋白 Marker (10-180kDa)	M221-01	250 µl	393
	M221-05	250 µl×5	1768
	M221-10	250 µl×10	3143
StarRuler Color Prestained Protein Marker (10-245kDa) StarRuler 彩色预染蛋白 Marker (10-245kDa)	M222-01	250 µl	560
	M222-05	250 µl×5	2520
	M222-10	250 µl×10	4480
StarRuler Color Prestained Protein Marker (5-245kDa) StarRuler 彩色预染蛋白 Marker (5-245kDa)	M223-01	250 µl	580
	M223-05	250 µl×5	2610
	M223-10	250 µl×10	4640
StarRuler Color Prestained Protein Marker (10-270kDa) StarRuler 彩色预染蛋白 Marker (10-270kDa)	M225-01	250 µl	510
	M225-05	250 µl×5	2298
	M225-10	250 µl×10	4086
StarRuler Color Prestained Protein Marker (10-310kDa) StarRuler 彩色预染蛋白 Marker (10-310kDa)	M226-01	250 µl	650
	M226-05	250 µl×5	2925
	M226-10	250 µl×10	5200
StarSignal Western Protein Marker (10-200kDa) StarSignal Western 蛋白 Marker (10-200kDa)	M227-01	250 µl	1698
StarRuler Color Prestained Protein Marker (10-250kDa) StarRuler 彩色预染蛋白 Marker (10-250kDa)	M228-01	250 µl	338
	M228-05	250 µl×5	1368
	M228-10	250 µl×10	2468
StarRuler Color Prestained Protein Marker (15-150kDa) StarRuler 彩色预染蛋白 Marker (15-150kDa)	M229-01	250 µl	238
	M229-05	250 µl×5	1068
	M229-10	250 µl×10	1898
StarRuler Color Low Range Protein Marker (2.7-40kDa) StarRuler 彩色低分子量预染蛋白 Marker (2.7-40kDa)	M230-01	250µl	638
	M230-05	250 µl×5	2998
	M230-10	250 µl×10	5598
StarRuler Color Prestained Protein Marker (8-180kDa) StarRuler 彩色预染蛋白 Marker (8-180kDa)	M231-01	250µl	298
	M231-05	250 µl×5	1538
	M231-10	250 µl×10	2798



## 1.2 蛋白凝胶制备

SDS-聚丙烯酰胺凝胶电泳 (SDS-PAGE) 是目前电泳法变性分离蛋白质的主要方法。GenStar SDS-PAGE 凝胶快速制备试剂盒极大程度上简化了凝胶制备的操作流程, 降低了实验人员接触剧毒试剂的机率, 具有快速、方便、安全、稳定等特点。E158-10、E158-12 包含上、下层凝胶预混试剂, 使用前仅需加入适量促凝成分和 TEMED 即可在 1h 内完成下层胶和上层胶的配制; E158-00 包含配制 SDS-PAGE 凝胶所需的各种试剂, 可配制不同浓度的 SDS-PAGE 凝胶。

产品名称	货号	规格	目录价(¥)
SDS-PAGE Gel Rapid Preparation Kit SDS-PAGE 凝胶快速制备试剂盒	E158-00	50 rxn	198
SDS-PAGE Gel Rapid Preparation Kit (10%) SDS-PAGE 凝胶快速制备试剂盒 (10%)	E158-10	50 rxn	198
SDS-PAGE Gel Rapid Preparation Kit (12%) SDS-PAGE 凝胶快速制备试剂盒 (12%)	E158-12	50 rxn	198

## 1.3 蛋白电泳配套产品

产品名称	货号	规格	目录价(¥)
1M TrisCl (pH6.8) 1M Tris 盐酸 (pH6.8)	B101-05	500 ml	234
1.5M TrisCl (pH8.8) 1.5M Tris 盐酸 (pH8.8)	B102-05	500 ml	315
10% SDS 10% SDS	B121-01	100 ml	89
10×Tris-Glycine Electrophoresis Buffer 10×Tris- 甘氨酸电泳缓冲液	E152-01	500 ml	92
5×SDS-PAGE Plus Sample Buffer 5×SDS-PAGE Plus 上样缓冲液	E151-05	1 ml×5	85
	E151-10	1 ml×10	151
5×SDS-PAGE Sample Buffer 5×SDS-PAGE 上样缓冲液	E153-05	1 ml×5	85
	E153-10	1 ml×10	151
Coomassie Blue G-250 Staining Buffer 考马斯亮蓝 G-250 染色液	E154-01	500 ml	120
Coomassie Blue Destaining Buffer 考马斯亮蓝脱色液	E155-01	500 ml	98
20×MOPS Electrophoresis Buffer 20×MOPS 电泳缓冲液	E156-01	500 ml	490



## 1.4 蛋白样品制备

产品名称	货号	规格	目录价(¥)
RIPA Lysis Buffer (Strong) RIPA 裂解液 (强)	E121-01	100 ml	232
RIPA Lysis Buffer (Medium) RIPA 裂解液 (中)	E122-01	100 ml	232
RIPA Lysis Buffer (Mild) RIPA 裂解液 (弱)	E123-01	100 ml	232
NP-40 Lysis Buffer NP-40 裂解液	E124-01	100 ml	232
Cell Lysis Buffer for Western & IP Western 及免疫沉淀用细胞裂解液	E125-01	100 ml	232
100mM PMSF Solution 100mM PMSF 溶液	B111-01	10 ml	178

细胞裂解液的性能比较

产品名称		RIPA 裂解液 (强)	RIPA 裂解液 (中)	RIPA 裂解液 (弱)	NP-40 裂解液	Western 及免疫沉淀 用细胞裂解液
货号		E121	E122	E123	E124	E125
裂解强度		★★★★	★★	★	★	★
有效成分	Triton-X-100	★	○	○	○	★
	NP-40	○	★	★	★	○
	SDS	★	★	○	○	○
	蛋白酶抑制剂	○	○	○	○	○
	磷酸酯酶抑制剂	★	★	★	★	★
用途	Western Blot	★	★	★	★	★
	免疫沉淀 (IP)	★	★	★	★	★
	免疫共沉淀 (Co-IP)	○	○	★	★	★
	膜蛋白	★★★★	★★	★	★	★
	胞浆蛋白	★★★★	★★★★	★★★★	★★★★	★★★★
	核蛋白	★★★★	★★	★★	★★	★★
	磷酸化蛋白	★★★★	★★★★	★★★★	★★★★	★★★★
兼容性	Bradford 法蛋白定量	○	○	○	○	○
	BCA 法蛋白定量	★	★	★	★	★

“★”表示适合、含有；“○”表示不适合、不含有；“★”越多表示越适合

## 1.5 蛋白定量试剂

GenStar 提供两种蛋白定量试剂，均可用于 96 孔板、比色杯或试管法测定吸光值。Bradford 蛋白定量试剂 (Cat#E161) 具有灵敏度高、简便快速的特点；BCA 蛋白定量试剂 (Cat#E162) 灵敏度和准确性更高，不受去垢剂影响，更适合微量蛋白的测定。

产品名称	货号	规格	目录价(¥)
Bradford Protein Assay Kit Bradford 蛋白质定量试剂盒	E161-01	100 ml	184
BCA Protein Assay Kit BCA 蛋白质定量试剂盒	E162-01	100 ml	285
	E162-05	500 ml	1300



## 1.6 Western blot 相关产品

★ 星级推荐：StarSignal 超敏化学发光检测试剂盒 (Cat#E170)

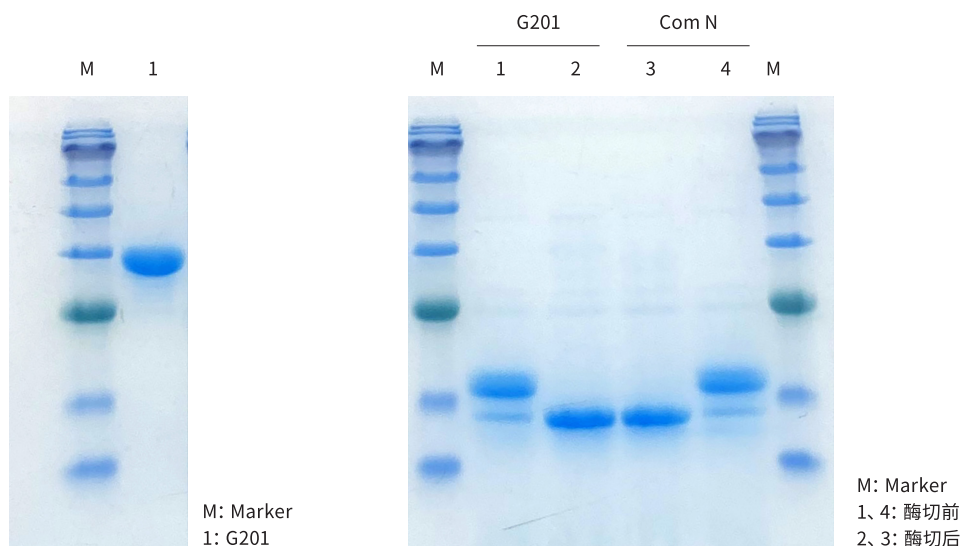
- ☆ **灵敏度高**：采用新型的发光底物增强剂，检测水平可达飞克级别
- ☆ **稳定性好**：A/B 液混合后，可 4°C 保存 1 周
- ☆ **发光稳定**：显色时间长，不易淬灭

### ▼ 产品目录

产品名称	货号	规格	目录价(¥)
StarSignal Chemiluminescent Assay Kit StarSignal 高敏化学发光检测试剂盒	E171-01	25 ml×2	286
	E171-04	100 ml×2	1030
StarSignal Plus Chemiluminescent Assay Kit StarSignal 超敏化学发光检测试剂盒	E170-01	25 ml×2	500
	E170-04	100 ml×2	1799
10×Membrane Blocking/Washing Buffer (TBS) 10× 蛋白印迹膜封闭 / 漂洗液 (TBS)	E178-01	500 ml	107
10×Wet Transfer Buffer for Western Blot 10×Western Blot 转膜缓冲液 (湿转法)	E173-01	500 ml	85
10×Membrane Blocking/Washing Buffer (TBST) 10× 蛋白印迹膜封闭 / 漂洗液 (TBST)	E175-01	500 ml	95
Membrane Stripping Buffer for Western Blot 蛋白印迹膜再生液	E177-01	500 ml	234

## 1.7 糖生物学

PNGase F 是一种酰胺酶，切割糖蛋白上的 N-连接糖，可以切割高甘露糖、杂合和复杂寡糖，其切割位点在最内侧的 N-乙酰葡萄糖胺 (GlcNAc) 和天冬酰胺之间，同时将酶解后蛋白上的天冬氨酰转化为天冬氨酸，常应用于抗体及其相关蛋白完全去糖基化。



G201纯度高

经SDS-PAGE电泳检测，除PNGase F  
外，无其它杂带，纯度>95%

G201酶活性强

在pH7.5的磷酸缓冲液条件下切割1h，底物被完全酶切

产品名称	货号	规格	目录价(¥)
PNGase F 肽 N- 糖苷酶 F	G201-01	15,000 U	738
	G201-05	75,000 U	3368

## 第二章 蛋白质纯化

### 2.1 蛋白质亲和纯化介质

蛋白质亲和纯化是研究蛋白质结构、功能以及相互作用的重要手段。亲和层析法是利用生物大分子与一些特定分子之间的特异性识别和可逆结合的特点，分离生物大分子的一种方法，是制备工业用酶、抗体、疫苗、基因重组药物等的唯一途径。琼脂糖凝胶亲和层析是通过琼脂糖凝胶的过滤作用进行蛋白质分离和纯化，从而获得具有一定纯度的目的蛋白。

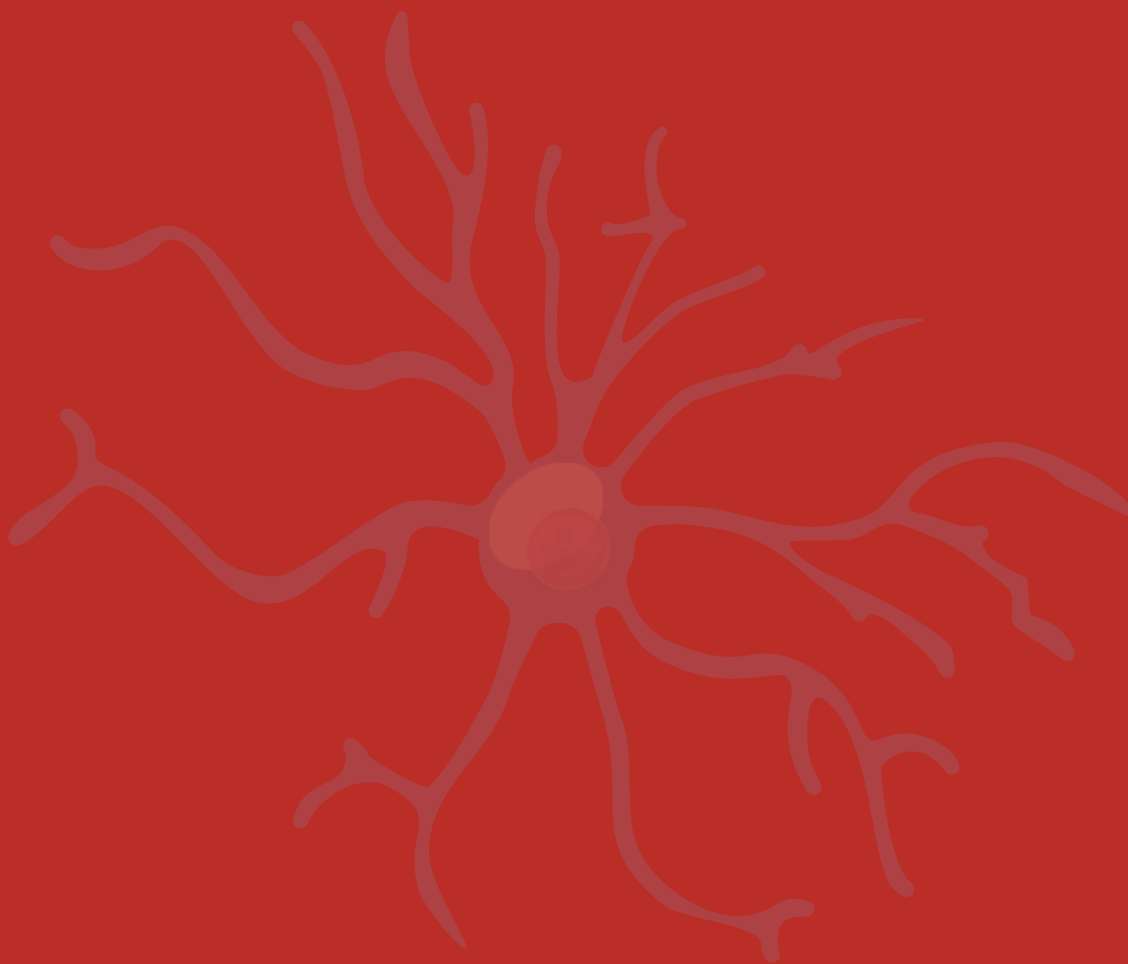
GenStar 提供两类琼脂糖亲和吸附介质，用于亲和层析柱的制备。一类为用于纯化带有 His 或 GST 标签的融合蛋白的金属镍介质或 GSH 介质；另一类为用于纯化多种来源的抗体以及免疫复合物的蛋白 A 和蛋白 G 交联琼脂糖亲和吸附介质。

产品名称	货号	规格	目录价(¥)
Protein A Agarose Beads Protein A 琼脂糖亲和介质	G101-01	1 ml	600
Protein G Agarose Beads Protein G 琼脂糖亲和介质	G102-01	1 ml	1405
Protein A/G Agarose Beads Protein A/G 琼脂糖亲和介质	G103-01	1 ml	1405
Nickle-IDA Agarose Beads 6FF 金属镍高流速琼脂糖亲和介质 (IDA)	G104-01	10 ml	864
GSH-coupled Agarose Beads 谷胱甘肽琼脂糖亲和介质	G105-01	10 ml	1354
Nickle-NTA Agarose Beads 6FF 金属镍高流速琼脂糖亲和介质 (NTA)	G106-01	10 ml	1098
Nickle-NTA Magarose Beads 金属镍琼脂糖磁珠 (NTA)	G107-01	10 ml	4930



# Part 3.

## 细胞类相关产品



## 细胞转染

转染是将外源性基因 (DNA/RNA) 导入真核细胞的技术, 已成为研究和控制真核细胞基因功能的常规工具。在研究基因功能、调控基因表达、突变分析和蛋白质生产等生物学实验中应用越来越广泛。GenStar 细胞转染产品可对多种类型的真核细胞进行瞬时和稳定转染, 对多数常用的培养细胞系有较高的转染效率, 也可转染一些特定的原代细胞, 操作方便。

产品名称	货号	规格	目录价(¥)
StarFect Transfection Reagent StarFect 高效转染试剂	C101-01	0.5 ml	1010
	C101-05	0.5 ml×5	4545
	C101-10	0.5 ml×10	8080
StarFect II Transfection Reagent StarFect II 高效转染试剂	C102-01	0.5 ml	1178
	C102-05	0.5 ml×5	5302
	C102-10	0.5 ml×10	9428
5×Lentivirus Concentration Reagent 5× 慢病毒浓缩液	C103-01	100 ml	1699
	C103-05	500 ml	6796
StarFect 293 Transient Transfection Medium StarFect 293 瞬转培养基	C104-1L	1 L	800



## Part 4. 常用生化试剂



## 常用生化试剂

产品名称	货号	规格	目录价(¥)
Regular Agarose 琼脂糖	VA10252-100g	100 g	300
Glycine 甘氨酸	VA13110-500g	500 g	167
	VA13110-1kg	1 kg	250
Tryptone 胰蛋白胨	VA13182-500g	500 g	660
Tris Base 三羟甲基氨基甲烷 Tris- 碱	VA15832-500g	500 g	335
	VA15832-1kg	1 kg	600
	VA15832-5kg	5 kg	2800
Yeast Extract 酵母提取物	VA13657-500g	500 g	267
Agar Powder 琼脂粉	VA15092-500g	500 g	333
Proteinase K 蛋白酶 K	VA40010-100mg	100 mg	400
	VA40010-200mg	200 mg	780
	VA40010-1g	1 g	2167
	VA10411-25g	25 g	300
Bovine Serum Albumin 牛血清白蛋白	VA10411-50g	50 g	850
	VA10411-100g	100 g	992
	VA10411-500g	500 g	4667
	VA27033-500g	500 g	300
SDS 十二烷基硫酸钠	VA27033-500g	500 g	300
	VA27033-1kg	1 kg	500



# 附录 代表性文献



## 附录 代表性文献 (近 3 年, IF>8)

### PCR 系列

1. Ming Zhang, Hao Zhang, Zhihui Li. Functional, structural and molecular characterizations of leukemogenic driver MEF2D-HNRNPUL1 fusion. **BLOOD**. 2022 May. **IF=23.629**
2. Yan Wang, Zunyun Fu, Xutong Li, et al. Cytoplasmic DNA sensing by KU complex in aged CD4+ T cell potentiates T cell activation and aging-related autoimmune inflammation. **Immunity**. 2021 Apr;54:632. **IF=22.553**
3. Liu Jianheng, Huang Tao, Chen Wanying. Developmental mRNA m5C landscape and regulatory innovations of massive m5C modification of maternal mRNAs in animals. **Nature Communications**. 2022 May;13(1):1-13. **IF=14.919**
4. Zhouqing Luo, Shuangying Jiang, Junbiao Dai, et al. Chromosomal Rearrangements of Synthetic Yeast by SCRaMbLE. **METHOD CELL BIOL**. 2021;2196:153-165. **IF=13.9**
5. Longfei Deng, Pengbo Yao, Le Li, et al. p53-mediated control of aspartate-asparagine homeostasis dictates LKB1 activity and modulates cell survival. **NAT COMMUN**. 2020;11,1755. **IF=12.121**
6. Yulong Song, Wenbing Yang, Qiang Fu, et al. irCLASH reveals RNA substrates recognized by human ADARs. **Nat Struct Mol Biol**. 2020 Mar;27(4):351-362. **IF=11.98**
7. Y Song, L Li, W Yang, et al. Sense-antisense miRNA pairs constitute an elaborate reciprocal regulatory circuit. **Genome Research**. 2020; 30:661-672. **IF=11.093**
8. Yongjiu Chen, Liting Ren, Lingxiao Sun, et al. Amphiphilic silver nanoclusters show active nano-bio interaction with compelling antibacterial activity against multidrug-resistant bacteria. **Npg Asia Mater**. 2020 Sep;12(1):1-15. **IF=10.481**
9. AA Chahel, Z Yousaf, S Zeng, et al. Growth and physiological alterations related to root-spec IF ic gene function of LrERF061-OE in *Glycyrrhiza uralensis* Fisch. **Plant Cell**. 2020;140(1):115-127. **IF=9.618**
10. Yulong Song, Lishi Li, Wenbing Yang, et al. Sense-antisense miRNA pairs constitute an elaborate reciprocal regulatory circuit. **Genome Res**. 2020 May;30(5):661-672. **IF=9.043**
11. Zhang, Meng, Peng, et al. Nanog mediated by FAO/ACLY signaling induces cellular dormancy in colorectal cancer cells. **Cell Death Dis**. 2022 Feb;13(2):1-11. **IF=8.469**
12. Weihong Xie, Shouheng Jin, Yaoxing Wu, et al. Auto-ubiquitination of NEDD4-1 Recruits USP13 to Facilitate Autophagy through Deubiquitinating VPS34. **Cell Rep**. 2020 Feb;30:2807. **IF=8.109**

### RT-PCR 系列

1. Fanqi Hu, Zian Pan, Chao Liu, et al. Ident IF ication of inflammatory regulation roles of thalidomide/ruxolitinib in nucleus pulposus and construction of polyelectrolyte nanocomplexes-impregnated injectable hydrogels for synergistic intervertebral disk degeneration treatment. **Nano Today**. 2022 Jun;44:101462. **IF=20.722**
2. Hanqing He, Panglian Xu, Xiaofei Zhang, et al. Aging-induced IL27Ra signaling impairs hematopoietic stem cells. **Blood**. 2020;136 (2):183-198. **IF=17.543**
3. Kong N, Yang H, Tian R, et al. An injectable self-adaptive polymer as a drug carrier for the treatment of nontraumatic early-stage osteonecrosis of the femoral head. **Bone Res**.

2022 Mar;10(1):1-12. **IF=13.567**

4. Chenglei Wu, Weixin Chen, Jincan He, et al. Interplay of m6A and H3K27 trimethylation restrains inflammation during bacterial infection. **Sci Adv**. 2020 Aug;6(34):eaba0647. **IF=13.116**
5. Zhe Zhang, Yingying Wang, Qian Ma, et al. Biomimetic carrier-free nanoparticle delivers digoxin and doxorubicin to exhibit synergetic antitumor activity in vitro and in vivo. **Chem Eng J**. 2021 Feb;406:126801. **IF=10.652**
6. Liu Chao, Hu Fanqi, Jiao Genlong, et al. Dental pulp stem cell-derived exosomes suppress M1 macrophage polarization through the ROS-MAPK-NFkB P65 signaling pathway after spinal cord injury. **J Nanobiotechnol**. 2022 Dec;20(1):1-19. **IF=10.435**
7. Jun Li, Yuhang Zhang, Ruirui Ma, et al. Ident IF ication of ST1 reveals a selection involving hitchhiking of seed morphology and oil content during soybean domestication. **Plant Biotechnol J**. 2022 Mar 05. **IF=9.803**
8. Zhu S, Rao X, Qian Y, et al. Liver endothelial Heg regulates vascular/biliary network patterning and metabolic zonation via Wnt signaling. **Cellular and Molecular Gastroenterology and Hepatology(CMGH)**. 2022, 13(6): 1757-1783. **IF=9.2**
9. Mengyu Shi, Ziyang Chen, Meiqi Chen, et al. Continuous activation of polymorphonuclear myeloid-derived suppressor cells during pregnancy is critical for fetal development. **Cell Mol Immunol**. 2021 Jun;18(7):1692-1707. **IF=8.484**

### qPCR 系列

1. Jiang S, Jardinaud M F, Gao J, et al. NIN-like protein transcription factors regulate leghemoglobin genes in legume nodules. **Science**. 2021, 374(6567): 625-628. **IF=47.7**
2. Jincai Shi, Boyu Zhao, Shuang Zheng, et al. A phosphate starvation response-centered network regulates mycorrhizal symbiosis. **Cell**. 2021 Oct;184:5527. **IF=41.582**
3. Yuan Li, Linjian Xia, Ka IF en Tan, et al. N6-Methyladenosine co-transcriptionally directs the demethylation of histone H3K9me2. **NAT GENET**. 2020;52,870-877. **IF=27.603**
4. Qing Wu, Xianyi Liang, Kai Wang, et al. Intestinal hypoxia-inducible factor 2 $\alpha$  regulates lactate levels to shape the gut microbiome and alter thermogenesis. **Cell Metab**. 2021 Jul. **IF=27.287**
5. Zhi Minglei, Zhang Jinying, Tang Qianzi, et al. Generation and characterization of stable pig pregastrulation epiblast stem cell lines. **Cell Res**. 2021 Nov;:1-18. **IF=25.617**
6. Fanqi Hu, Zian Pan, Chao Liu, et al. Ident IF ication of inflammatory regulation roles of thalidomide/ruxolitinib in nucleus pulposus and construction of polyelectrolyte nanocomplexes-impregnated injectable hydrogels for synergistic intervertebral disk degeneration treatment. **Nano Today**. 2022 Jun;44:101462. **IF=20.722**
7. Jun Wu, Gen Li, Le Li, et al. Asparagine enhances LCK signalling to potentiate CD8 + T-cell activation and anti-tumour responses. **Nat Cell Biol**. 2021 Jan;23(1):75-86. **IF=20.042**
8. Jiang Yang, Tai Wang, Lina Zhao, et al. Gold/alpha-lactalbumin nanoprobe for the imaging and treatment of breast cancer. **Nat Biomed Eng**. 2020 Jul;4(7):686-703. **IF=18.952**



9. Wu Meng-Li, Liu Feng-Liang, Sun Jing, et al. SARS-CoV-2-triggered mast cell rapid degranulation induces alveolar epithelial inflammation and lung injury. **Signal Transduct Tar.** 2021 Dec;6(1):1-15. **IF=18.187**
10. Mao Y, Shi D, Li G, et al. Citrulline depletion by ASS1 is required for proinflammatory macrophage activation and immune responses. **Molecular Cell.** 2022 **IF=17.97**
11. Peng Cao, Changmao Chen, An Liu, et al. Early-IF e inflammation promotes depressive symptoms in adolescence via microglial engulfment of dendritic spines. **Neuron.** 2021 Aug;109:2573. **IF=17.173**
12. Hu Gongcheng, Dong Xiaotao, Gong Shixin, et al. Systematic screening of CTCF binding partners identifies that BHLHE40 regulates CTCF genome-wide distribution and long-range chromatin interactions. **Nucleic Acids Res.** 2020 Sep;48(17):9606-9620. **IF=16.971**
13. Chen Juan-nan, He Yi-de, Liang Hui-ting, et al. Regulation of PDGFR- $\beta$  gene expression by targeting the G-vacancy bearing G-quadruplex in promoter. **Nucleic Acids Res.** 2021 Dec;49(22):12634-12643. **IF=16.971**
14. Wu Shu, Ge Yuanlong, Lin Kaixuan, et al. Telomerase RNA TERC and the PI3K-AKT pathway form a positive feedback loop to regulate cell proliferation independent of telomerase activity. **Nucleic Acids Res.** 2022 Mar. **IF=16.971**
15. Dong Xiaotao, Guo Rong, Ji Tianrong, et al. YY1 safeguard multidimensional epigenetic landscape associated with extended pluripotency. **NUCLEIC ACIDS RESEARCH** 2022 Apr; **IF=16.971**
16. Zhang F, Fang H, Wang M, et al. API5 functions as a transcription factor and an RNA-binding protein to modulate cell death and immunity in rice. **Nucleic Acids Research.** 2022, 50(9): 5064-5079. **IF=16.971**
17. Chen J, He Y, Liang H, et al. Regulation of PDGFR- $\beta$  gene expression by targeting the G-vacancy bearing G-quadruplex in promoter. **Nucleic Acids Research.** 2021, 49(22): 12634-12643. **IF=16.9**
18. Kunpeng Liu, Dongbo Qiu, Xue Liang, et al. Lipotoxicity-induced STING1 activation stimulates MTORC1 and restricts hepatic lipophagy. **Autophagy.** 2021 Aug 12. **IF=16.016**
19. Weihong Xie, Shuo Tian, Jiahui Yang, et al. OTUD7B deubiquitinates SQSTM1/p62 and promotes IRF3 degradation to regulate antiviral immunity. **Autophagy.** 2022 Jan 31. **IF=16.016**
20. Wang Yuting, Zou Qin, Li Fajin, et al. Identification of the cross-strand chimeric RNAs generated by fusions of bidirectional transcripts. **Nat Commun.** 2021 Jul;12(1):1-14. **IF=14.919**
21. Wang Li-Qiu, Liu Tao, Yang Shuai, et al. Perfluoroalkyl substance pollutants activate the innate immune system through the AIM2 inflammasome. **Nat Commun.** 2021 May;12(1):1-17. **IF=14.919**
22. Zhao Jiexiang, Lu Ping, Wan Cong, et al. Cell-fate transition and determination analysis of mouse male germ cells throughout development. **Nat Commun.** 2021 Nov;12(1):1-20. **IF=14.919**
23. Liwei Fu, Pinxue Li, Junyao Zhu, et al. Tetrahedral framework nucleic acids promote the biological functions and related mechanism of synovium-derived mesenchymal stem cells and show improved articular cartilage regeneration activity in situ. **Bioact Mater.** 2021 Jul. **IF=14.593**
24. Meixin Chen, Zhiyao Zhao, Qingcai Meng, et al. TRIM14 Promotes Noncanonical NF- $\kappa$ B Activation by Modulating p100/p52 Stability via Selective Autophagy. **Adv Sci.** 2020;7:1901261. **IF=13.6**
25. Yaoxing Wu, Ling Ma, Sihui Cai, et al. RNA-induced liquid phase separation of SARS-CoV-2 nucleocapsid protein facilitates NF- $\kappa$ B hyper-activation and inflammation. **Signal Transduct Tar.** 2021 Apr;6(1):1-13. **IF=13.493**
26. Mumei Wang, Xiaopei Zhu, Guoqing Peng, et al. Methylesterification of cell wall pectin controls the diurnal flower opening times in rice. **Molecular Plant** 2022 Apr; **IF=13.164**
27. Chenglei Wu, Weixin Chen, Jincan He, et al. Interplay of m6A and H3K27 trimethylation restrains inflammation during bacterial infection. **Sci Adv.** 2020 Aug;6(34):eaba0647. **IF=13.116**
28. Xiao-Ran Jiang, Xu Yan, Lin-Ping Yu, et al. Hyperproduction of 3-hydroxypropionate by *Halomonas bluephagenesis*. **NAT COMMUN.** 2021,12(1). **IF=12.298**
29. Lihui Lu, Yuqi Ren, Tao Yu, et al. Control of locomotor speed, arousal, and hippocampal theta rhythms by the nucleus incertus. **Nat Commun.** 2020;11,262. **IF=12.121**
30. Xiao-Ran Jiang, Xu Yan, Lin-Ping Yu, et al. Hyperproduction of 3-hydroxypropionate by *Halomonas bluephagenesis*. **Nat Commun.** 2021 Mar;12(1):1-13. **IF=12.121**
31. Bo Liu, Jiancheng Huang, Amina Ashraf, et al. The RNase MCPIP3 promotes skin inflammation by orchestrating myeloid cytokine response. **Nat Commun.** 2021 Jul;12(1):1-18. **IF=12.121**
32. Zhihui Cai, Yutian Zhang, Weijie Zhang, et al. Arsenic retention in erythrocytes and excessive erythrophagocytosis is related to low selenium status by impaired redox homeostasis. **Redox Biology** 2022 Jun;52:102321 **IF=11.799**
33. Hong Fang, Shuangqian Shen, Dan Wang, et al. A monocot-specific hydroxycinnamoylputrescine gene cluster contributes to immunity and cell death in rice. **Sci Bull.** 2021 Jun. **IF=11.78**
34. Qiyang Xiao, Yi Chen, Cheng-Wu Liu, et al. MtNPF6.5 mediates chloride uptake and nitrate preference in Medicago roots. **Embo J.** 2021 Nov;40(21):e106847. **IF=11.598**
35. Mei Wang, Yanwen Xu, Yuncong Zhang, et al. Deciphering the autophagy regulatory network via single-cell transcriptome analysis reveals a requirement for autophagy homeostasis in spermatogenesis. **Theranostics.** 2021; 11(10): 5010–5027. **IF=11.556**
36. Yan Xu, Liu Xin-Yi, Zhang Dian, et al. Construction of a sustainable 3-hydroxybutyrate-producing probiotic *Escherichia coli* for treatment of colitis. **Cell Mol Immunol.** 2021 Sep;:1-14. **IF=11.53**
37. Wu Bo, Qiang Lihua, Zhang Yong, et al. The deubiquitinase OTUD1 inhibits colonic inflammation by suppressing RIPK1-mediated NF- $\kappa$ B signaling. **Cell Mol Immunol.** 2021 Dec;:1-14. **IF=11.53**
38. Chenglei Wu, Weixin Chen, Jincan He, et al. Interplay of m6A and H3K27 trimethylation restrains inflammation during bacterial infection. **SCI ADV.** 2020;6(34):eaba0647. **IF=11.511**
39. Gongcheng Hu, Xiaotao Dong, Shixin Gong, et al. Systematic screening of CTCF binding partners identifies that BHLHE40 regulates CTCF genome-wide distribution and long-range chromatin interactions. **NUCLEIC ACIDS RES.** 2020;48(17):9606-9620. **IF=11.501**
40. Huang Luojiang, Hua Kai, Xu Ran, et al. The LARGE2-APO1/APO2 regulatory module controls panicle size and grain number in rice. **Plant Cell.** 2021 May;33(4):1212-1228. **IF=11.277**
41. Jiang Shan, Wei Jinwei, Li Na, et al. The UBP14-CDKB1;1-



- CDKG2 cascade controls endoreduplication and cell growth in Arabidopsis. **Plant Cell**. 2022 Jan. **IF=11.277**
42. Wang Rui, Liu Jian, Li Kai, et al. An SETD1A/Wnt/ $\beta$ -catenin feedback loop promotes NSCLC development. **J Exp Clin Canc Res**. 2021 Dec;40(1):1-17. **IF=11.161**
43. Feng Yuanqing, Xu Hongzhan, Liu Jinghao, et al. Functional and Adaptive Significance of Promoter Mutations That Affect Divergent Myocardial Expressions of TRIM72 in Primates. **Mol Biol Evol**. 2021 Jun;38(7):2930-2945. **IF=11.062**
44. Yuanqing Feng, Hongzhan Xu, Jinghao Liu, et al. Functional and Adaptive Significance of Promoter Mutations That Affect Divergent Myocardial Expressions of TRIM72 in Primates. **MOL BIOL EVOL**.2021. **IF=10.745**
45. Tian Zheng, Haoxian Zhou, Xiaocui Li, et al. RBMX is required for activation of ATR on repetitive DNAs to maintain genome stability. **Cell Death Differ**. 2020 Jun;27(11):3162-3176. **IF=10.717**
46. Xin Nie, Danqing Xiao, Yuanlong Ge, et al. TRF2 recruits nucleolar protein TCOF1 to coordinate telomere transcription and replication. **Cell Death Differ**. 2020 Oct;28(3):1062-1075. **IF=10.717**
47. T Zheng, H Zhou, X Li, D Peng, et al. RBMX is required for activation of ATR on repetitive DNAs to maintain genome stability. **Cell Death & Differentiation**. 2020. **IF=10.717**
48. Liu Chao, Hu Fanqi, Jiao Genlong, et al. Dental pulp stem cell-derived exosomes suppress M1 macrophage polarization through the ROS-MAPK-NF $\kappa$ B P65 signaling pathway after spinal cord injury. **J Nanobiotechnol**. 2022 Dec;20(1):1-19. **IF=10.435**
49. Dan Tong, Li Zhang, Fei Ning, et al. Contact-dependent delivery of IL-2 by dendritic cells to CD4 T cells in the contraction phase promotes their long-term survival. **Protein Cell**. 2020 Feb;11(2):108-123. **IF=10.164**
50. Zheng S, Dong J, Lu J, et al. A cytosolic pentatricopeptide repeat protein is essential for tapetal plastid development by regulating OsGLK1 transcript levels in rice. **New Phytologist**. 2022, 234(5): 1678-1695. **IF=10.15**
51. Gang Du, Lishou Xiong, Xiaorong Li, et al. Peroxisome Elevation Induces Stem Cell Differentiation and Intestinal Epithelial Repair. **DEV CELL**. 2020;53(2):169-184. **IF=10.092**
52. Chengjun Hu, Zhenfeng Wu, Zihao Huang, et al. Nox2 impairs VEGF-A-induced angiogenesis in placenta via mitochondrial ROS-STAT3 pathway. **Redox Biol**. 2021 Sep;45:102051. **IF=9.986**
53. Zining Wang, Feifei Xu, Jie Hu, et al. Original research: Modulation of lactate-lysosome axis in dendritic cells by clotrimazole potentiates antitumor immunity. **J Immunother Cancer**. 2021; 9(5): e002155. **IF=9.913**
54. Shuo Tian, Shouheng Jin, Yaoxing Wu, et al. High-throughput screening of functional deubiquitinating enzymes in autophagy. **Autophagy**. 2021;17(6):1367-1378. **IF=9.77**
55. Yaoxing Wu, Shouheng Jin, Qingxiang Liu, et al. Selective autophagy controls the stability of transcription factor IRF3 to balance type I interferon production and immune suppression. **Autophagy**. 2021;17(6):1379-1392. **IF=9.77**
56. Huifang Xian, Shuai Yang, Shouheng Jin, et al. LRRC59 modulates type I interferon signaling by restraining the SQSTM1/p62-mediated autophagic degradation of pattern recognition receptor DDX58/RIG-I. **Autophagy**. 2020;16(3):408-418. **IF=9.77**
57. Luojiang Huang, Kai Hua, Ran Xu, et al. The LARGE2-APO1/APO2 regulatory module controls panicle size and grain number in rice. **PLANT CELL**.2021. **IF=9.638**
58. Y Li, T Xia, F Gao, et al. Control of Plant Branching by the CUC2/CUC3-DA1-UBP15 Regulatory Module. **Plant Cell**. 2020; Jun;32(6):1919-1932. **IF=9.618**
59. Jin-Peng Gao, Peng Xu, Mingxing Wang, et al. Nod factor receptor complex phosphorylates GmGEF2 to stimulate ROP signaling during nodulation. **Curr Biol**. 2021 Jul. **IF=9.601**
60. Hongxia Zhang, Xinru You, Xiaojuan Wang, et al. Delivery of mRNA vaccine with a lipid-like material potentiates antitumor efficacy through Toll-like receptor 4 signaling. **PNAS**. 2021 Feb;118(6). **IF=9.58**
61. Chi Zhang, Jiangman He, Huiling Dai, et al. Discriminating symbiosis and immunity signals by receptor competition in rice. **PNAS**. 2021 Apr;118(16). **IF=9.58**
62. Gen Li, Jun Wu, Le Li, et al. p53 deficiency induces MTHFD2 transcription to promote cell proliferation and restrain DNA damage. **PNAS**. 2021 Jul;118(28). **IF=9.58**
63. Di Liu, Zhiyao Zhao, Yuanchu She, et al. TRIM14 inhibits OPTN-mediated autophagic degradation of KDM4D to epigenetically regulate inflammation. **PNAS**. 2022 Feb;119(7). **IF=9.58**
64. Huifang Xian, Wanming Huang, Tingzhe Sun, et al. Unanchored ubiquitin chain sustains RIG-I-induced interferon- $\beta$  activation and controls selective gene expression. **Sci Bull**. 2021 Apr;66:794. **IF=9.511**
65. Xiaopeng Li, Xiujuan Zhang, Jialin Xia, et al. Macrophage HIF-1 $\alpha$  suppresses NLRP3 inflammasome activation and alleviates insulin resistance. **Cell Rep**. 2021 Aug;36:109607. **IF=9.423**
66. Yawei Song, Zhengyu Liang, Jie Zhang, et al. CTCF functions as an insulator for somatic genes and a chromatin remodeler for pluripotency genes during reprogramming. **Cell Reports**. 2022 Apr;39:110626 **IF=9.423**
67. Hongxia Zhang, Xinru You, Xiaojuan Wang, et al. Delivery of mRNA vaccine with a lipid-like material potentiates antitumor efficacy through Toll-like receptor 4 signaling. **Proceedings of the National Academy of Sciences**. 2021, 118 (6) e2005191118. **IF=9.412**
68. Hai-Yun Li, Zhao-Ming Tang, Zhe Wang, et al. C-reactive protein protects against acetaminophen-induced liver injury by preventing complement overactivation. **Cell Mol Gastroenterol**. 2021 Sep. **IF=9.225**
69. Hou Qihang, Huang Jingxi, Xiong Xia, et al. Role of Nutrient-sensing Receptor GPRC6A in Regulating Colonic Group 3 Innate Lymphoid Cells and Inflamed Mucosal Healing. **J Crohns Colitis**. 2022 Feb. **IF=9.071**
70. Chengchuang Song, Zhaoxin Yang, Rui Jiang, et al. lncRNA IGF2 AS Regulates Bovine Myogenesis through Different Pathways. **Mol Ther-Nucl Acids**. 2020 Sep;21:874. **IF=8.886**
71. Yong Ge, Tao Ling, Yao Wang, et al. Degradation of WTAP blocks antiviral responses by reducing the mRNA levels of IRF3 and IFNAR1 mRNA. **EMBO Rep**. 2021 Nov;22(11):e52101. **IF=8.807**
72. Gang Du, Yicheng Qiao, Zhangpeng Zhuo, et al. Lipoic acid rejuvenates aged intestinal stem cells by preventing age-associated endosome reduction. **EMBO Reports**. 2020;21:e49583. **IF=8.749**
73. Yajin Liao, Jinbo Cheng, Xiangxi Kong, et al. HDAC3 inhibition ameliorates ischemia/reperfusion-induced brain injury by regulating the microglial cGAS-STING pathway. **Theranostics**. 2020; 10(21): 9644–9662. **IF=8.579**

74. Huiqiong Chen, Zhiguo Zhang, Erdong Ni, et al. HMS1 interacts with HMS1I to regulate very-long-chain fatty acid biosynthesis and the humidity-sensitive genic male sterility in rice (*Oryza sativa*). **New Phytol.** 2020 Mar;225(5):2077-2093. **IF=8.512**
75. Ming Xu, Yan Guo, Runze Tian, et al. Adaptive regulation of virulence genes by microRNA-like RNAs in *Valsa mali*. **New Phytol.** 2020 Aug;227(3):899-913. **IF=8.512**
76. Jiajun Nie, Wenjing Zhou, Jianying Liu, et al. A receptor-like protein from *Nicotiana benthamiana* mediates VmE02 PAMP-triggered immunity. **New Phytol.** 2021 Feb;229(4):2260-2272. **IF=8.512**
77. H Chen, Z Zhang, E Ni, et al. HMS1 interacts with HMS1I to regulate very-long-chain fatty acid biosynthesis and the humidity-sensitive genic male sterility in rice (*Oryza sativa*). **New Phytol.** 2020; Mar;225(5):2077-2093. **IF=8.512**
78. Tao Liu, Liqiu Wang, Puding Liang, et al. USP19 suppresses inflammation and promotes M2-like macrophage polarization by manipulating NLRP3 function via autophagy. **CELL MOL IMMUNOL.** 2020;. **IF=8.484**
79. Mu Haiyuan, Zhang Ting, Yang Ying, et al. METTL3-mediated mRNA N6-methyladenosine is required for oocyte and follicle development in mice. **Cell Death Dis.** 2021 Oct;12(11):1-13. **IF=8.469**
80. Yu Jiahong, Qu Liuqing, Xia Yan, et al. TMEM189 negatively regulates the stability of ULK1 protein and cell autophagy. **Cell Death & Disease Cell Death Dis.** 2022 Apr;13(4):1-10. **IF=8.469**
81. Jia Liu, Bo Zhao, Yazheng Lan, et al. Enhanced degradation of different crude oils by defined engineered consortia of *Acinetobacter venetianus* RAG-1 mutants based on their alkane metabolism. **Bioresour Technol.** 2021;327(20):124787. **IF=8.33**
82. Cui Yu, Zhang Zhaolong, Zhou Xin, et al. Microglia and macrophage exhibit attenuated inflammatory response and ferroptosis resistance after RSL3 stimulation via increasing Nrf2 expression. **J Neuroinflamm.** 2021 Dec;18(1):1-15. **IF=8.322**

#### 核酸提取 & 纯化系列

1. ChunJie Guo, XuKai Ma, YuHang Xing, et al. Distinct Processing of lncRNAs Contributes to Nonconserved Functions in Stem Cells. **Cell.**2020. **IF=36.216**
2. ChuXiao Liu, Xiang Li, Fang Nan, et al. Structure and Degradation of Circular RNAs Regulate PKR Activation in Innate Immunity. **Cell.**2020. **IF=30.4**
3. Ke-Wu Zeng, Jing-Kang Wang, Li-Chao Wang, et al. Small molecule induces mitochondrial fusion for neuroprotection via targeting CK2 without affecting its conventional kinase activity. **Signal Transduct Tar.** 2021 Feb;6(1):1-13. **IF=18.187**
4. ChuXiao Liu, SiKun Guo, Fang Nan, et al. RNA circles with minimized immunogenicity as potent PKR inhibitors. **Mol Cell.** 2021 Dec. **IF=17.97**
5. Bo Liu, Jiancheng Huang, Amina Ashraf, et al. The RNase MCPiP3 promotes skin inflammation by orchestrating myeloid cytokine response. **Nat Commun.** 2021 Jul;12(1):1-18. **IF=12.121**
6. Jianfang Li, Huapeng Zhou, Yan Zhang, et al. The GSK3-like Kinase BIN2 Is a Molecular Switch between the Salt Stress Response and Growth Recovery in *Arabidopsis thaliana*. **Dev Cell.** 2020 Nov;55:367. **IF=10.092**

7. Jun Li, Yuhang Zhang, Ruirui Ma, et al. Identification of ST1 reveals a selection involving hitchhiking of seed morphology and oil content during soybean domestication. **Plant Biotechnol J.** 2022 Mar 05. **IF=9.803**

8. Qinghai Zeng, Jianye Liu, Peiguo Cao, et al. Inhibition of REDD1 Sensitizes Bladder Urothelial Carcinoma to Paclitaxel by Zhiwang Zhang, Zupeng Luo, Lin Yu, et al. Ru360 and Mitoxantrone inhibit MCU channel to relieve liver steatosis induced by high-fat diet. **Brit J Pharmacol.** 2021 Dec 03. **IF=8.739**

#### 核酸电泳系列

1. Qiqi Liu, Jingwei Tian, Jinjian Liu, et al. Modular Assembly of Tumor-Penetrating and Oligomeric Nanozyme Based on Intrinsically Self-Assembling Protein Nanocages. **Adv Mater.** 2021 Oct;33(39):2103128. **IF=30.849**
2. Wang Xiaoshen, Li Xuzichao, Ma Yongjian, et al. Inhibition mechanisms of CRISPR-Cas9 by AcrIIA17 and AcrIIA18. **Nucleic Acids Res.** 2022 Jan;50(1):512-521. **IF=16.971**
3. Wang D, Li S, Zhao Z, et al. Engineering a Second-Order DNA Logic-Gated Nanorobot to Sense-then-Release on Live Cell Membranes for Multiplexed Diagnosis and Synergistic Therapy. **Angew Chem Int Ed Engl.** 2021, 60(29): 15816-15820. **IF=12.96**
4. Linyu Zuo, Guanwei Zhang, Matthew Massett, et al. Loci-specIFIC phase separation of FET fusion oncoproteins promotes gene transcription. **NAT COMMUN.** 12,1491 (2021). **IF=12.298**
5. Zhongqi Chen, JianHua Zhao, Qian Chen, et al. DNA Geminivirus Infection Induces an Imprinted E3 Ligase Gene to Epigenetically Activate Viral Gene Transcription. **PLANT CELL.** 2020;32,10:3256-3272. **IF=9.618**
6. Huiqiong Chen, Zhiguo Zhang, Erdong Ni, et al. HMS1 interacts with HMS1I to regulate very-long-chain fatty acid biosynthesis and the humidity-sensitive genic male sterility in rice (*Oryza sativa*). **New Phytol.** 2020 Mar;225(5):2077-2093. **IF=8.512**
7. Yongjiu Chen, Liting Ren, Lingxiao Sun, et al. Amphiphilic silver nanoclusters show active nano-bio interaction with compelling antibacterial activity against multidrug-resistant bacteria. **NPG ASIA MATER.** 12,56 (2020). **IF=8.131**

#### 蛋白电泳 & 蛋白分析 & 蛋白纯化系列

1. Zhou Y, Xu X, Wei Y, et al. A widespread pathway for substitution of adenine by diaminopurine in phage genomes. **Science.** 2021, 372(6541): 512-516. **IF=41.845**
2. Yunjing Wang, Qian Gong, Yuyao Wu, et al. A calmodulin-binding transcription factor links calcium signaling to antiviral RNAi defense in plants. **Cell Host Microbe.** 2021 Sep;29:1393. **IF=21.023**
3. Zhaoliang Yu, Peng Deng, Yufeng Chen, et al. Inhibition of the PLK1-Coupled Cell Cycle Machinery Overcomes Resistance to Oxaliplatin in Colorectal Cancer. **Advanced Science.** 2021 Oct28. **IF=16.806**
4. Yu Z, Deng P, Chen Y, et al. Inhibition of the PLK1-Coupled Cell Cycle Machinery Overcomes Resistance to Oxaliplatin in Colorectal Cancer. **Advanced Science.** 2021, 8(23): 2100759. **IF=15.84**
5. Guangjun Xu, Chong Liu, Sheng Zhou, et al. Viral tegument proteins restrict cGAS-DNA phase separation to mediate immune evasion. **Mol Cell.** 2021 Jul;81:2823. **IF=15.584**



6. Chen Jiani, Fang Gangqi, Pang Lan, et al. Neofunctionalization of an ancient domain allows parasites to avoid intraspecific competition by manipulating host behaviour. **Nat Commun.** 2021 Sep;12(1):1-15. **IF=14.919**
7. KeWu Zeng, JingKang Wang, LiChao Wang, et al. Small molecule induces mitochondrial fusion for neuroprotection via targeting CK2 without affecting its conventional kinase activity. **Sig Transduct Target Ther.** 6,71 (2021). **IF=12.818**
8. Dong F, Qin X, Wang B, et al. ALKBH5 Facilitates Hypoxia-Induced Paraspeckle Assembly and IL8 Secretion to Generate an Immunosuppressive Tumor Microenvironment. **Cancer Research.** 2021, 81(23): 5876-5888. **IF=12.701**
9. Lingyan Jiang, Peisheng Wang, Xiaorui Song, et al. Salmonella Typhimurium reprograms macrophage metabolism via T3SS effector SopE2 to promote intracellular replication and virulence. **Nat Commun.** 2021 Feb;12(1):1-18. **IF=12.121**
10. Bo Liu, Jiancheng Huang, Amina Ashraf, et al. The RNase MCPiP3 promotes skin inflammation by orchestrating myeloid cytokine response. **Nat Commun.** 2021 Jul;12(1):1-18. **IF=12.121**
11. Ming Zhao, Yu Yu, Li-Ming Sun, et al. GCG inhibits SARS-CoV-2 replication by disrupting the liquid phase condensation of its nucleocapsid protein. **Nat Commun.** 2021 Apr;12(1):1-14. **IF=12.121**
12. Zimiao Luo, Sunyi Wu, Jianfen Zhou, et al. All-stage targeted therapy for the brain metastasis from triple-negative breast cancer. **Acta Pharmaceutica Sinica B Acta Pharm Sin B.** 2022 Apr; **IF=11.614**
13. Geni Ye, Maohua Huang, Yong Li, et al. The FAP $\alpha$ -activated prodrug Z-GP-DAVLBH inhibits the growth and pulmonary metastasis of osteosarcoma cells by suppressing the AXL pathway. **Acta Pharm Sin B.** 2021 Aug. **IF=11.413**
14. Hou Xiu-Li, Chen Wen-Qiang, Hou Y IFeng, et al. DEAD-BOX RNA HELICASE 27 regulates microRNA biogenesis, zygote division, and stem cell homeostasis. **Plant Cell.** 2021 Mar;33(1):66-84. **IF=11.277**
15. Cuicui Ji, Hongyu Zhao, Dongfang Li, et al. Role of Wdr45b in maintaining neural autophagy and cognitive function. **Autophagy.** 2020;16(4):615-625. **IF=11.059**
16. Wang Ping, Hu Guodong, Zhao Wen, et al. Continuous ZnO nanoparticle exposure induces melanoma-like skin lesions in epidermal barrier dysfunction model mice through anti-apoptotic effects mediated by the oxidative stress-activated NF- $\kappa$ B pathway. **J Nanobiotechnol.** 2022 Dec;20(1):1-23. **IF=10.435**
17. Jian Yuan, Xiaolong Jiang, Huijing Zhang, et al. Construction and optimization of a microbial platform for sustainable biosynthesis of poly-N-acetyllactosamine glycoprotein in the cytoplasm for detecting tumor biomarker galectin-3. **GREEN CHEM.** 2021. **IF=9.812**
18. Suresh Veeraperuma, HuaMai Qiu, ShanShan Zeng, et al. Polysaccharides from Gracilaria lemaneiformis promote the HaCaT keratinocytes wound healing by polarised and directional cell migration. **Carbohydr Polym.** 2020 Aug;241:116310. **IF=9.381**
19. Xuan Lai, Menglei Wang, Yixia Zhu, et al. ZnO NPs delay the recovery of psoriasis-like skin lesions through promoting nuclear translocation of p-NF $\kappa$ B p65 and cysteine deficiency in keratinocytes. **J Hazard Mater.** 2021 May;410:124566. **IF=9.038**
20. Ming Zhao, Tian Xia, Jia-Qing Xing, et al. The stress granule protein G3BP1 promotes pre-condensation of cGAS to allow rapid responses to DNA. **Embo Rep.** 2022 Jan;23(1):e53166. **IF=8.807**
21. Chunmei Liang, Ting Zou, Miaoping Zhang, et al. MicroRNA-146a switches microglial phenotypes to resist the pathological processes and cognitive degradation of Alzheimer's disease. **THERANOSTICS.** 2021;11(9):4103-4121. **IF=8.698**

## 其他系列

1. Yu Qi, Shuting Wei, Yucai Chen, et al. Intrusion of inhaled exotic ultrafine particles into the knee joint in humans and animals: A risk to the joint and surrounding tissues. **Nano Today.** 2022 Apr;43:101426. **IF=20.722**
2. Meixin Chen, Zhiyao Zhao, Qingcai Meng, et al. TRIM14 Promotes Noncanonical NF- $\kappa$ B Activation by Modulating p100/p52 Stability via Selective Autophagy. **Adv Sci.** 2020 Jan;7(1):1901261. **IF=15.84**
3. Bo Yan, Youwei Ai, Qi Sun, et al. Membrane Damage during Ferroptosis Is Caused by Oxidation of Phospholipids Catalyzed by the Oxidoreductases POR and CYB5R1. **Mol Cell.** 2021 Jan;81:355. **IF=15.584**
4. Guangjun Xu, Chong Liu, Sheng Zhou, et al. Viral tegument proteins restrict cGAS-DNA phase separation to mediate immune evasion. **Mol Cell.** 2021 Jul;81:2823. **IF=15.584**
5. Xu G, Liu C, Zhou S, et al. Viral tegument proteins restrict cGAS-DNA phase separation to mediate immune evasion. **Mol Cell.** 2021, 81(13): 2823-2837. e9. **IF=15.584**
6. Cheng Y, Shen Z, Gao Y, et al. Phase transition and remodeling complex assembly are important for SS18-SSX oncogenic activity in synovial sarcomas **Nature communications.** 2022, 13(1): 1-13. **IF=14.919**
7. Bo Liu, Jiancheng Huang, Amina Ashraf, et al. The RNase MCPiP3 promotes skin inflammation by orchestrating myeloid cytokine response. **Nat Commun.** 2021 Jul;12(1):1-18. **IF=12.121**
8. Weinan Qiu, Qingyang Zhang, Rui Zhang, et al. N6-methyladenosine RNA modification suppresses antiviral innate sensing pathways via reshaping double-stranded RNA. **Nat Commun.** 2021 Mar;12(1):1-16. **IF=12.121**
9. Ming Zhao, Yu Yu, Li-Ming Sun, et al. GCG inhibits SARS-CoV-2 replication by disrupting the liquid phase condensation of its nucleocapsid protein. **Nat Commun.** 2021 Apr;12(1):1-14. **IF=12.121**
10. Ruonan Ma, Ling Fang, Lei Chen, et al. Ferroptotic stress promotes macrophages against intracellular bacteria. **Theranostics.** 2022; 12(5):2266-2289. **IF=11.556**
11. Hao Wu, Hongyong Wang, Jun Wu, et al. A novel fluorescent aptasensor based on exonuclease-assisted triple recycling amplification for sensitive and label-free detection of aflatoxin B1. **J Hazard Mater.** 2021 Aug;415:125584. **IF=10.588**
12. Shuo Tian, Shouheng Jin, Yaoxing Wu, et al. High-throughput screening of functional deubiquitinating enzymes in autophagy. **Autophagy.** 2021;17(6):1367-1378. **IF=9.77**
13. Di Liu, Zhiyao Zhao, Yuanchu She, et al. TRIM14 inhibits OPTN-mediated autophagic degradation of KDM4D to epigenetically regulate inflammation. **P Natl Acad Sci Usa.** 2022 Feb;119(7). **IF=9.58**
14. Ming Zhao, Tian Xia, Jia-Qing Xing, et al. The stress granule protein G3BP1 promotes pre-condensation of cGAS to allow rapid responses to DNA. **Embo Rep.** 2022 Jan;23(1):e53166. **IF=8.807**
15. XiuLi Hou, WenQiang Chen, Y IFeng Hou, et al. DEAD-



BOX RNA HELICASE 27 regulates microRNA biogenesis, zygote division, and stem cell homeostasis. **PLANT CELL**. 2021,33(1):66-84. **IF=8.69**

16. Hao Wu, Hongyong Wang, Jun Wu, et al. A novel fluorescent aptasensor based on exonuclease-assisted triple recycling amplification for sensitive and label-free detection of aflatoxin B1. **J HAZARD MATER**.4152021125584. **IF=8.538**



北京康润诚业生物科技有限公司

Add: 北京市昌平区中关村生命科学园生命园路8号院一区9号楼A座5层

Tel: 400-666-3332

E-mail: [tech.service@gene-star.com](mailto:tech.service@gene-star.com)

Web: [www.gene-star.com](http://www.gene-star.com)